



جمهورية العراق
وزارة التعليم العالي والبحث العلمي
جامعة ديالى
كلية العلوم
قسم الفيزياء

**دراسة بعض الخصائص الفيزيائية لمتراتكب جسيمات
الذهب والنحاس النانوية المحضرة بطريقة الليزر
النبضي في السائل**

رسالة مقدمة الى

مجلس كلية العلوم _ جامعة ديالى

هي جزء من متطلبات نيل درجة الماجستير في علوم الفيزياء

من قبل

يسرى علي حسين

بكالوريوس علوم فيزياء 2006

باشراف

أ.م.د جاسم محمد منصور

Republic of Iraq
Ministry of Higher Education
and Scientific Research
University of Diyala
College of Science
Department of Physics



**Study of some physical properties of a composite
of gold and copper nanoparticles prepared by
the pulsed laser method in liquid**

A Thesis

*Submitted to the Council of the College of Science- University
of Diyala in Partial Fulfillment of the Requirements for the
Degree of Master of Science in Physics*

By

Yusra Ali Hussein

B. Ed. in Physics (2006)

Supervised By

Assist. Prof. Dr.

Jassim M. Mansour

2022 AD

1444AH

بِسْمِ اللَّهِ الرَّحْمَنِ الرَّحِيمِ
((هُوَ اللَّهُ الْخَالِقُ الْبَارِئُ الْمُصَوِّرُ لَهُ الْأَسْمَاءُ
الْحُسْنَى يُسَبِّحُ لَهُ مَا فِي السَّمَاوَاتِ وَالْأَرْضِ
وَهُوَ الْعَزِيزُ الْحَكِيمُ))

صدق الله العظيم

سورة الحشر

الآية (٢٤)

الاداء

الى معلم الانسانيه وملهمها ورسولها الكريم محمد ﷺ .

الى من شاركني افراحني ،احزاني، امالى واحلامي زوجي
الغالى .

الى من كان لي فخرا وعزا ورفعة ابى العزيز.

الى من بدعائها انفتحت لي ابواب المعرفة والعلم، الى اكبر
قلب في الكون امي الحنونه.

الى كل دمعة ذرفتها عيون طفلتى الصغيرة مريم في غيابي
الى نور عيني زهراء وايات

الى كل من ساندنى ووقف بجانبى اخوتى واخواتى

يسرى على حسين

شكر وامتنان

الحمد لله رب العالمين الذي هدانا بنوره وغمرني بنعمته، والصلوة والسلام على أفضـل خلقـه سيدنا محمد (صَلَّى اللَّهُ عَلَيْهِ وَسَلَّمَ) وعلى آله الطيبين الطاهرين وصحبه الأـخـيـار ، وبعد:

الحمد لله الذي أهـدىـتـيـ إلىـ جـادـةـ الـعـلـمـ وـالـبـحـثـ، وـوـفـقـيـ لـإـنـجـازـ هـذـاـ الـبـحـثـ فـيـ ظـرـوفـ لـاـ تـخـفـ قـسـاوـتـهـ عـلـىـ أـحـدـ، وـلـاـ يـسـعـنـيـ فـيـ خـتـامـ جـهـدـيـ المـتوـاضـعـ هـذـاـ، إـلـاـ أـنـ وـأـوـجـهـ جـزـيلـ الشـكـرـ إـلـىـ كـلـيـةـ الـعـلـومـ جـامـعـةـ دـيـالـيـ وـلـرـئـاسـةـ قـسـمـ (ـالـفـيـزـيـاءـ)ـ لـمـاـ قـدـمـوـهـ لـيـ مـنـ تـسـهـيلـاتـ

وـأـقـدـمـ بـالـغـ شـكـرـيـ وـعـظـيمـ إـمـتـنـانـيـ إـلـىـ أـسـتـاذـيـ الفـاضـلـ الدـكـتـورـ جـاسـمـ مـحـمـدـ مـنـصـورـ لـتـقـضـلـهـ مـشـكـورـاـ عـلـىـ اـعـبـاءـ الـإـشـرافـ، وـدـعـمـهـ الـعـلـمـيـ وـالـمـعـنـوـيـ لـيـ طـوـالـ إـعـدـادـ هـذـاـ الـبـحـثـ، دـاعـيـةـ اللـهـ تـعـالـىـ أـنـ يـحـفـظـهـ بـوـيـدـ فـيـ عـمـرـهـ وـأـقـدـمـ جـزـيلـ شـكـرـيـ وـإـمـتـنـانـيـ تـقـدـيرـيـ إـلـىـ الـأـخـ وـالـزـمـلـيـ الـاستـاذـ نـبـيلـ خـلـيلـ لـمـدـهـ يـدـ

العنـونـ طـيـلةـ فـتـرةـ الـبـحـثـ

وـمـسـكـ الـخـتـامـ أـتـوـجـهـ بـخـالـصـ شـكـرـيـ إـلـىـ وـالـدـيـ وـوـالـدـيـ وـزـوـجـيـ الـغـالـيـ وـالـاسـتـاذـ الـحـقـوقـيـ عـلـىـ رـحـيمـ وـاخـوتـيـ مـحـمـدـ وـاحـمـدـ وـعـبـاسـ وـحـبـيرـ وـاخـواتـيـ الـغـالـيـاتـ رـغـدـةـ وـسـوـسـنـ وـمنـيرـةـ وـنـدـاءـ وـضـحـىـ وـلـمـيـاءـ وـمـهـاـ وـالـعـزـيزـةـ اـمـ دـانـيـاـ.

وـعـذرـاـ الـمـنـ فـاتـنـيـ ذـكـرـ أـسـمـائـهـمـ إنـ كـانـ مـعـرـوـفـاـ لـلـجـمـيـعـ فـلـنـ يـنـسـىـ ماـ حـيـيـتـ. معـ دـعـائـيـ لـلـجـمـيـعـ بـالتـوـفـيقـ وـالـنـجـاحـ

المحتويات

الصفحة	المواضيع	الفقرة
I	المحتويات	
VI	قائمة الأشكال	
XIII	قائمة الجداول	
XI	قائمة الرموز	
XIV	قائمة المختصرات	
XV	الخلاصة	
الفصل الاول المقدمة والدراسات السابقة		
1	المقدمة	(1-1)
1	تقنية النانو	(2-1)
1	علم النانو	(3-1)
2	مواد النانوية	(4-1)
2	جسيمات النانوية	(1-4-1)
3	المتراكبات النانوية	(2-4-1)
3	تصنيف الجسيمات النانوية	(5-1)
4	خصائص المعدن النانوي	(6-1)
7	سبائك الذهب-النحاس	(7-1)
7	طور تصنيع سبائك(Au-Cu) النانوية	(a-7-1)
8	الدراسات السابقة	(8-1)
14	الهدف من الدراسة	(9-1)
الفصل الثاني الجزء النظري		
15	المقدمة	(1-2)
16	تحضير الجسيمات النانوية	(2-2)
17	تقنية من الأعلى إلى الأسفل	(1-2-2)
17	تقنية من الأسفل إلى الأعلى	(2-2-2)
17	طرق تحضير السبائك	(3-2)
18	طريقة الأختزال المشترك	(a-3-2)
18	طريقة الاستبدال الكلفاني	(b-3-2)

19	طريقة النمو بالبذور	(c-3-2)
19	طريقة الاستئصال بالليزر النبضي	(d-3-2)
21	آلية الاستئصال بالليزر	(4-2)
21	الحرارة الناجمة عن الليزر	(1-4-2)
22	الغليان الانفجاري	(2-4-2)
22	المادة المتاخرة وتكوين البلازما	(3-4-2)
23	طور التقشير الصلب	(4-4-2)
24	طور الرش الهيدرو ديناميكي	(5-4-2)
24	التشظية(طرد) الجسيمات	(6-4-2)
24	التنوي والتكافث	(7-4-2)
25	التكتل (النمو) التخثر	(8-4-2)
25	معلومات طريقة التشظي بنبضات الليزر في السائل	(5-2)
25	معلومات الليزر	(1-5-2)
27	الدقائق النانوية في المحاليل	(6-2)
27	الغرويات	(1-6-2)
27	المحاليل النانوية	(2-6-2)
27	رنين البلازمون السطحي	(7-2)
29	الخصائص التركيبية	(8-2)
29	المجهر الإلكتروني النافذ	(1-8-2)
30	المجهر الإلكتروني الماسح	(2-8-2)
32	مطيافية تشتت الطاقة	(3-8-2)
32	تقنية حيود الأشعة السينية	(4-8-2)
33	الخصائص البصرية	(9-2)
34	التحليل الطيفي للأشعة فوق البنفسجية – المرئية	(1-9-2)
35	مطيافية الامتصاص الذري	(2-9-2)
35	تشتت الضوء الديناميكي وجهد زيتا	(3-9-2)
الفصل الثالث الجزء العملي		
38	المقدمة	(1-3)
40	ليزر الندى ميوم ياك	(2-3)
41	الهدف	(1-2-3)
43	تحضير المحاليل الغروية النانوية	(2-2-3)

45	تهيئة القواعد الزجاجية	(3-2-3)
45	اجهزه القياس التركيبية والبصرية	(3-3)
45	قياس فلوره الاشعة السينية للاهداف المحضره	(1-3-3)
46	قياس حيود الاشعة السينية	(2-3-3)
46	قياس المجهر الالكتروني الباعث للمجال	(3-3-3)
47	مطياف الاشعة المرئية – فوق البنفسجية	(4-3-3)
48	قياس مطيافية الامتصاص الذري	(5-3-3)
49	تشتت الضوء الديناميكي وجهد زيتا	(6-3-3)
49	تحضير المترافق النانوي للذهب وأوكسيد النحاس	(4-3)
الفصل الرابع النتائج والمناقشة		
51	المقدمة	(1-4)
51	الخصائص التركيبية	(2-4)
51	نتائج فحص (XRF) لاهداف الذهب والنحاس قبل الاستئصال	(1-2-4)
52	نتائج حيود الاشعة السينية لجسيمات الذهب ذات التراكيب النانوية (Au)	(2-2-4)
54	حيود الاشعة السينية لمترافق الذهب – أكسيد النحاس النانوية	(3-2-4)
56	فحص المجهر الالكتروني الماسح (FE-SEM)	(3-4)
56	نتائج فحص المجهر الالكتروني الماسح لجسيمات مترافقات الذهب النانوية	(1-3-4)

56	نتائج فحص المجهر الإلكتروني الماسح لجسيمات مترافق(الذهب - أوكسيد النحاس)	(2-3-4)
65	نتائج فحص المجهر الإلكتروني النافذ	(4-4)
70	نتائج مطيافية تشتت الطاقة بالأشعة لمترافق الذهب وأوكسيد النحاس النانوي	(5-4)
78	الخواص البصرية	(6-4)
78	نتائج طيف الامتصاص الذري	(1-6-4)
79	نتائج طيف الامتصاصية	(2-6-4)
85	نتائج قياس جهد زيتا	(7-4)
94	نتائج قياس تشتت الضوء الديناميكي للجسيمات النانوية طبقاً للحجم	(8-4)
95	الاستنتاجات	(9-4)
96	النوصيات	(10-4)
	المصادر	

قائمة الاشكال

رقم الشكل	العنوان	الصفحة
(1.1)	تقسيم المادة النانوية من حيث الابعاد	3
(2-1)	التركيب البلوري للذهب	5
(3-1)	التركيب البلوري للنحاس	6
(4-1)	مخطط طور المرحلة للاسيكة النانوية	8
(1-2)	يوضح منظومة الاستنسال بالليزر	16
(2-2)	I تفاعل الليزر مع السائل (II) استنسال نبضات الليزر من الهدف (III) تفاعل السائل الساخن مع الهدف (IV) توليد منتجات من الهدف (V) تفاعل منتجات من الهدف (VI) التفاعل بين النواتج السائلة	20
(3-2)	مراحل تكوين البلازما المتولدة من نبضات الليزر	23
(4-2)	(a) تفاعل الجسيمات النانوية المعدنية مع الضوء (b) شدة جسيم ثبائي القطب (c) الأشعاع رباعي لجسيمات النانوية	29
(5-2)	المجهر الإلكتروني النافذ	30
(6-2)	رسم تخطيطي لجهاز المجال الإلكتروني الماسح	31
(7-2)	حيود الأشعة السينية	32
(8-2)	اطياف الامتصاص لجسيمات الذهب النانوية	34
(9-2)	مخطط توضيحي لتشتت الضوء الديناميكي (DLS) حيث يبين العناصر الرئيسية للنظام هي (1) الليزر ، (2) خلية القياس ، (3) الكاشف ، (4) المخفف ، (5) المرابط ، وحاسوب معالجة البيانات ويمكن وضع الكاشفات اما بزاوية 90° او بزاوية اوسع.	36
(1-3)	المخطط العملي لتحضير وفحص جسيمات الذهب والنحاس النانوية المحضرة في الماء المقطر باستخدام الليزر النبضي.	38

39	مخطط العملي لتحضير وفحص محلول الغرواني للمتراتكبات المحضرة بطريقة الاستئصال بالليzer النبضي	(2-3)
40	منضومة الاستئصال بالليزر	(3-3)
41	يوضح هدف الذهب (Au pure) قبل وبعد الاستئصال	(4-3)
42	قبل وبعد (87.5% Au-12.5% Cu) اهداف سبائك الذهب الاستئصال	(5-3)
42	قبل وبعد الاستئصال (75% Au-25% Cu) اهداف سبائك الذهب	(6-3)
42	قبل وبعد الاستئصال (65% Au-35% Cu) سبائك الذهب	(7-3)
43	قبل وبعد الاستئصال (50% Au-50% Cu) سبائك الذهب	(8-3)
44	اشكال محاليل الذهب المختلفة عند الطول الموجي (532nm) (b) اشكال محاليل النحاس والذهب عند الطول الموجي (1064nm) (c) اشكال محاليل الذهب والنحاس عند الطاقات المختلفة وللطول الموجي (1064nm).	(9-3)
45	جهاز (Goldscope. So pro) لفحص عينات الذهب والنحاس	(10-3)
46	جهاز حيود الاشعة السينية	(11-3)
47	جهاز المجهر الالكتروني الماسح الباعث للمجال	(12-3)
47	المخطط التوضيحي لآلية عمل جهاز (UV-Vis).	(13-3)
48	جهاز مطيافية الامتصاص الناري .AAS	(14-3)
49	محلول المتراتكبات النانوي المحضر اثناء عملية الاستئصال بالليزر (بعد الخلط).	(15-3)
53	انماط حيود الاشعة السينية (XRD) لجزيئات النحاس والذهب ذات التركيب النانوي عند طول موجي (nm 532) لعينات (A1, A2, A3, A4 ، A5and B,)	(1-4)
53	انماط حيود الاشعة السينية (XRD) لجزيئات الذهب النانوي ذات التركيب النانوي عند طول الموجي (1064nm) (للعينات	(2-4)

	. (A1 ، A2 ، A3 ، A4 ، A5, and B)	
56	انماط حيود الاشعة السينية (XRD) مترافق ذهب- اوكسيد النحاس النانوية (K1, K2, K3, K4,) المحضرة بتقنية الاستنساخ بالليزر.	(3-4)
57	يوضح صور المجهر الماسح الالكتروني لجسيمات الذهب (A1) النانوية عند طول موجي 1064nm	(a-4-4)
57	يوضح صور المجهر الماسح الالكتروني لجسيمات مترافق الذهب (A2) النانوية عند طول 1064nm	(b-4-4)
58	يوضح صور المجهر الماسح الالكتروني لجسيمات مترافق الذهب (A3) النانوية عند طول موجي 1064nm	(c-4-4)
58	يوضح صور المجهر الماسح الالكتروني لجسيمات مترافق الذهب (A4) النانوية عند طول موجي 1064nm	(d-4-4)
59	نتائج فحص FE-SEM لجسيمات الذهب النانوية عند الطول الموجي 1064nm	(e-4-4)
59	نتائج فحص FE-SEM لجسيمات اوكسيد النحاس النانوية عند الطول الموجي 1064nm	(F-4-4)
60	يوضح صور المجهر الماسح الالكتروني لجسيمات الذهب (A1) النانوية عند طول موجي 532nm	(a-5-4)
60	يوضح صور المجهر الماسح الالكتروني لجسيمات مترافق الذهب (A2) النانوية عند طول موجي 532nm	(b-5-4)
61	يوضح صور المجهر الماسح الالكتروني لجسيمات مترافق الذهب (A3) النانوية عند طول موجي 532nm	(c-5-4)
61	يوضح صور المجهر الماسح الالكتروني لجسيمات مترافق الذهب (A4) النانوية عند طول موجي 532nm	(d-5-4)
62	يوضح صور المجهر الالكتروني لجسيمات مترافق الذهب (A5) النانوية عند طول موجي 532nm	(e-5-4)
62	قياس (FE-SEM) لجسيمات اوكسيد النحاس النانوية للطول .532nm الموجي	(f-5-4)

63	فحص (FE-SEM) لجسيمات متراکب الذهب – النحاس النانوية 1064nm (K1) عند الطول الموجي	(a-6-4)
63	فحص (FE-SEM) لجسيمات متراکب الذهب – النحاس للعينة (K2)	(b-6-4)
64	فحص (FE-SEM) لجسيمات متراکب الذهب - النحاس (K3)	(c-6-4)
64	فحص (FE-SEM) لجسيمات متراکب الذهب – النحاس (K4)	(d-6-4)
65	صورة (TEM) لجسيمات الذهب (A1)	(a-7-4)
66	صورة (TEM) لجسيمات متراکب الذهب (A2).	(b-7-4)
66	صورة (TEM) لجسيمات متراکب الذهب (A3)	(c-7-4)
67	صورة (TEM) لجسيمات متراکب الذهب (A4)	(d-7-4)
67	صورة (TEM) لجسيمات متراکب الذهب (A5)	(e-7-4)
68	نتائج فحص (TEM) لجسيمات أكسيد النحاس النانوي	(f-7-4)
68	نتائج قياس (TEM) للمحلول الغروي لجسيمات النانوية للمتراکب K1	(a-8-4)
69	نتائج قياس (TEM) للمحلول الغروي لجسيمات النانوية للمتراکب K2	(b-8-4)
69	نتائج قياس (TEM) للمحلول الغروي لجسيمات النانوية للمتراکب K3	(c-8-4)
70	نتائج قياس (TEM) للمحلول الغروي لجسيمات النانوية للمتراکب K4	(d-8-4)
70	يوضح مطيافية تشتت الطاقة جسيمات الذهب (A1) عند الطول الموجي 1064nm وبطاقة 660mJ	(a-9-4)
71	يوضح مطيافية تشتت الطاقة متراکب الذهب (A2) عند الطول الموجي 1064nm وبطاقة 660mJ	(b-9-4)
71	يوضح مطيافية تشتت الطاقة لمتراکب الذهب (A3) عند الطول الموجي 1064nm وبطاقة 660mJ	(c-9-4)
71	يوضح مطيافية تشتت الطاقة متراکب الذهب (A4) عند الطول الموجي 1064nm وبطاقة 660mJ	(d-9-4)

72	يوضح مطيافية تشتت الطاقة لمتراکب الذهب (A5) عند الطول الموجي 1064nm وبطاقة 660mJ	(e-9-4)
72	يوضح مطيافية تشتت الطاقة بالأشعة السينية لجسيمات اوکسیدالنحاس النانوي عند الطول الموجي 1064nm	(f-9-4)
72	يوضح مطيافية تشتت الطاقة لجسيمات الذهب (A1) عند الطول الموجي 532nm	(a-10-4)
73	يوضح مطيافية تشتت الطاقة لمتراکب الذهب (A2) عند الطول الموجي 532nm	(b-10-4)
73	يوضح مطيافية تشتت الطاقة متراکب الذهب (A3) عند الطول الموجي 532nm	(c-10-4)
73	يوضح مطيافية تشتت الطاقة متراکب الذهب (A4) عند الطول الموجي 532nm	(d-10-4)
74	يوضح مطيافية تشتت الطاقة متراکب الذهب (A5) عند الطول الموجي 532nm	(e-10-4)
74	يوضح مطيافية تشتت الطاقة بالأشعة السينية لجسيمات اوکسیدالنحاس النانوي عند الطول الموجي 532nm	(f-10-4)
76	يوضح مطيافية تشتت الطاقة بالأشعة السينية للمحلول الغروي لمتراکب K1 للطول الموجي 1064nm وبطاقة(660mJ)	(a-11-4)
77	يوضح مطيافية تشتت الطاقة بالأشعة السينية لمتراکب K2 للطول الموجي 1064nm وبطاقة(660mJ)	(b-11-4)
77	يوضح مطيافية تشتت الطاقة بالأشعة السينية للمحلول الغروي لمتراکب النانوي K3 للطول الموجي (1064nm) وبطاقة (660m J)	(c-11-4)
77	يوضح مطيافية تشتت الطاقة بالأشعة السينية للمحلول الغروي لمتراکب K4 للطول الموجي 1064nm وبطاقة J 660m	(d-11-4)
80	طيف الامتصاصية کدالة للطول الموجي لجسيمات الذهب النانوية للعينات (A1, A2, A3, A4,A5 and B) على التوالي بطاقات مختلفة وعند الطول الموجي 1064nm	(12-4) (a,b,c,d,e,f)
81	طيف الامتصاصية کدالة للطول الموجي لجسيمات الذهب ومتراکبات الذهب نحاس النانوية للعينات (A1, A2, A3, A4, A5and B) على التوالي بطاقات مختلفة وعند الطول الموجي 1000pulse وعدد نبضات 532nm	(13-4)

83	الامتصاصية لجسيمات الذهب والنحاس النانوية عند الطاقة J 660m pulse 1000 و الطول الموجي 1064nm	(14-4)
85	يوضح طيف الامتصاصية كدالة للطول الموجي لمتراکب الذهب النحاس المحضرة بطريقة الليزر النبضي للطول الموجي 1064nm و الطاقة J 660m pulse 3000 نبضة	(15-4)
86	يوضح جهد زيتا لمحاليل متراکب الذهب (A1, A2, A3, A4, A5, and B) المحضرة بطريقة الاستئصال بالليزر النبضي عند الطول الموجي 1064nm وبطاقة (660mJ)	(16-4)
87	يوضح جهد زيتا لمحاليل متراکب الذهب ، النحاس المحضرة بطريقة الاستئصال بالليزر النبضي في الماء المقطر عند الطول الموجي (532nm)	(17-4)
88	جهد زيتا لمحاليل متراکب الذهب – النحاس المحضرة عند (3000pulse) بطريقة الاستئصال بالليزر النبضي في الماء المقطر عند الطول الموجي (1064nm) .	(18-4)
91	يوضح تحليل توزيع الحجم عن طريق تشتت الضوء الديناميكي (DLS) لجسيمات متراکب الذهب واکسید النحاس (A1, A2, A3, A4, A5, and B) عند الطول الموجي (1064nmn)	(19-4)
92	يوضح تحليل توزيع الحجم عن طريق تشتت الضوء الديناميكي (DLS) لجسيمات متراکب الذهب واکسید النحاس (A1, A2, A3, A4, A5, and B) المحضرة عند الطول الموجي (532nm)	(20-4)
94	يوضح تحليل توزيع الحجم عن طريق (DLS) لجسيمات متراکب الذهب- النحاس عند (1064nm)	(21-4)

قائمة الجداول

الصفحة	العنوان	رقم الجدول
6	يوضح الخواص الفيزيائية للعناصر النبيلة	(1.1)
40	مواصفات الاهداف المستخدمة في البحث	(1.3)
41	يبين معلومات الليزر المستخدم	(2.3)
49	النسب الحجمية والتراكيز لمترافق الذهب - النحاس المحضر	(3.3)
51	نتائج فحص (XRF) لاهداف الذهب والنحاس قبل الاستئصال	(1.4)
54	ملخص نتائج حيود الاشعة السينية لجسيمات الذهب النانوية والنحاس النانوية عند الطول الموجي 532nm	(2.4)
54	ملخص نتائج حيود الاشعة السينية لجسيمات الذهب النانوية والنحاس النانوي عند الطول الموجي 1064nm	(3.4)
56	نتائج حيود الاشعة السينية لمترافق الذهب - النحاس	(4.4)
74	النسبة المئوية لمتراكبات الذهب - النحاس عند الطول الموجي (1064nm)	(5.4)
75	النسبة المئوية لمترافق الذهب - النحاس للطفل الموجي (532nm)	(6.4)
75	النسبة المئوية للعناصر الموجودة في اغشية النحاس النانوي عند الطول الموجي (1064nm)	(7.4)
76	النسبة المئوية للعناصر الموجودة في اغشية النحاس النانوي عند الطول الموجي (532nm)	(8.4)
78	النسبة المئوية لمترافق الذهب والنحاس النانوية للطفل الموجي (1064nm)	(9.4)
78	نتائج تراكيز الجسيمات النانوية للذهب والنحاس	(10.4)

82	نتائج فحص طيف الامتصاصية لجسيمات النحاس و الذهب النانوية عند طول موجي (1064nm)	(11.4)
83	نتائج فحص طيف الامتصاصية لجسيمات النحاس و الذهب النانوية عند طول موجي (532nm)	(12.4)
84	نتائج الامتصاصية ورنين البلازمون (SPR) عند (660mJ) وعدد نبضات 1000Pulse لجسيمات الذهب والنحاس	(13.4)
85	النتائج التجريبية للامتصاصية ورنين البلازمون (SPR) مترافق الذهب - نحاس	(14.4)
87	نتائج قيم زيتا لمحاليل الغروية لمترافق الذهب والنحاس المحضرة في الماء المقطر عند الطول الموجي (1064nm , 532nm)	(15.4)
88	نتائج قيم زيتا لمحاليل الغروية لمترافق الذهب - النحاس النانوية عند الطول الموجي (1064nm)	(16-4)
93	نتائج التوزيع الحجمي للجسيمات النانوية طبقاً للحجم عند الطول الموجي (1064nm)	(17-4)
93	نتائج التوزيع الحجمي للجسيمات النانوية طبقاً للحجم للطول عند الطول الموجي (532nm)	(18-4)
94	نتائج التوزيع الحجمي لجسيمات مترافق (Au-Cu) النانوية طبقاً للحجم المحضرة بطريقة الاستئصال بالليزر النبضي في الماء المقطر وبعد نبضات 3000pulse	(19-4)

قائمة الرموز

وحدة القياس	Description	الرمز
nm	المسافة بين المستويات البلورية	d_{hkl}
Radins	عرض منتصف القمة	β
nm	الحجم البلوري	D
Degree	زاوية حيود براك	Θ
nm	الطول الموجي	λ
J/Kg.c°	السعة الحرارية النوعية	C
	القطر الهيدروديناميكي	D_h
J/k	ثابت بولتزمان 1.38×10^{-23}	K_B
k	درجة الحرارة المطلقة	T
N.s.m²	لزوجة المذيب	η
m²/s	معامل الانتشار	D

قائمة الاختصارات

الاختصار	Definition	المعنى
NPs	Nanoparticles	الجسيمات النانوية
NCs	Nano composites	المترافقات النанوية
Au-Nps	Gold Nanoparticales	جسيمات الذهب النانوية
Cu-Nps	Copper Nanoparticales	جسيمات النحاس النانوية
PLAL	Pulsed Laser Ablation in Liquids	الاستئصال باليزر النبضي في السائل
DW	Distilled Water	الماء المقطر
XRF	X-ray fluorescence	فلورة الاشعة السينية
XRD	X-ray diffraction	حيود الاشعة السينية
TEM	Transmission electron microscopy	المجهر الالكتروني النافذ
FE-SEM	Field emission-scanning electron microscopy	المجهر الالكتروني الباعث لل المجال
SPR	Surface plasmon Resonance	رنين البلازمون السطحي
FWHM	Full width at half-maximum	عرض منتصف القمة
Fcc	Face-centered Cubic	مكعب مركزي الوجه
AAS	Atomic Absorption Spectroscopy	طيف الامتصاص الذري

الخلاصة

تناولت الدراسة تأثير تغيير معلمات الليزر (الطول الموجي وعدد نبضات الليزر) على الخصائص التركيبية والمورفلوجية والبصرية لجسيمات النحاس و الذهب النانوية وجسيمات متراكم الذهب-النحاس النانوية التي تم تحضيرها باستخدام طريقة الليزر النبضي نوع نادميوم ياك ذو الطول الموجي (1064nm, 532nm) لاهداف من العناصر النبيلة (الذهب ، النحاس النقي و متراكم الذهب -النحاس) المغمورة في الماء المقطر اذ تم استخدام عدد نبضات ليزر ثابتة (600pulse) وطاقات استئصال مختلفة (340, 420, 500, 580, and 660 mJ) لتحضير المحاليل الغروية لمتراكم الذهب -النحاس والنحاس وللطول الموجي (1064 nm) حيث وجد ان افضل طاقة هي طاقة (660 mJ) بعدها تم تغيير عدد النبضات الى (1000 pulse) وتم استخدام الطاقة (660 mJ) لتحضير المحاليل الغروية لمتراكم الذهب - النحاس ولكل الطولين الموجيين .

أظهرت فحوصات حيود الاشعة السينية للجسيمات النانوية المحضرة عند طاقة استئصال (660mJ) وعدد نبضات (1000 pulse) ان جسيمات المتراكم النانوية المحضرة بالنسب الوزنية باطوال موجية (532nm,1064nm) لكل (87% Au- 13% Cu), (75%Au-25% Cu), (65% Au-35% Cu), and (50% Au-50%Cu) تحتوي على هيكل بلوري مكعب. اما الجسيمات المتراكم (Au-Cu) عند (3000Pulse) والمحضر (85%Au-15%Cu), (75%Au-25%Cu), (65%Au-35%Cu) بالنسبة الحجمية (50%Au-50%Cu) تحتوي على طور بلوري مكعب والاتجاه السائد هو (111).

كما اظهرت فحوصات (FE-SEM) للجسيمات النانوية المحضرة عند الطول الموجي (1064 nm,532nm) أن جميع الجسيمات النانوية المحضرة بالنسبة الوزنية والمحضر بالنسبة الحجمية ايضا كانت ذات أشكال كروية أو شبه كروية حيث بينت ان نتائج الطول الموجي (1064nm) هي الافضل.

كان واضحاً أيضاً من صور (TEM) أن اشكال الجسيمات النانوية للعينات المحضرة بالنسبة الوزنية والمحضر بالنسبة الحجمية كانت كروية الشكل أو شبه كروية كما بينت نتائج (TEM) ان الجسيمات كانت تحتوي على قشرة الب.

أكّدت نتائج (EDS) لعينات المحضرة من متراكم الذهب والنحاس والمحضر بالنسبة الوزنية عند (1000 pulse) عند الطول الموجي (1064nm,532nm) وجود مادة الذهب والنحاس في المتراكم المحضر . وكذلك المتراكم المحضر بالنسبة الحجمية .

تم دراسة سلوك أطياق امتصاص الاشعة فوق البنفسجية والمرئية لجسيمات متراكم الذهب والنحاس عند الطول الموجي (1064nm) و(600pulse) وعند الطاقات (660, 580, 519 nm) و (500, 420, 340mJ) لهما رنين بلازمون سطحي خاص بهما للذهب النقي عند (519 nm) وللنسبة الوزنية (523 nm) (75% Au-25% Cu), (535 nm), (549 nm), (65% Au-35% Cu), (588 nm), and (586 nm) (50% Au-50% Cu) اما عند (1000 pulse) و الطول الموجي (532 nm) فأن جسيمات الذهب النقي كانت لها قمة رنين البلازمون عند (519nm) ،والنسبة الوزنية لها قمة عند (525,555, 518, and 562) على التوالي اما عند الطول الموجي (1064nm) كانت اعلى قمة لرنين البلازمون عند (518nm) وهذا يدل على توليد جسيمات الذهب النانوية وان الطول الموجي (1064nm) أكثر كفاءة في عملية الاستئصال من الطول الموجي (532nm). كما بيّنت نتائج طيف الامتصاص البصري اتساع في قمة رنين البلازمون للمتراكمات المحضرة بالنسبة الحجمية ويدل ذلك على تغيير في حجم الجسيمات النانوية .في دراستنا هذه كان التحول نحو الاطوال الموجية الطويلة تبيّن ذلك من خلال ازاحة القمم لرنين البلازمون .

أظهرت نتائج (DLS) ان جسيمات متراكم الذهب – النحاس المحضرة بالنسبة الوزنية وكذلك المحضرة بالنسبة الحجمية غير متجانسة نتيجة لحدوث بعض التكتلات في المحلول الغروي بسبب التخزين وتاخر وصولها الى مركز الفحص. كما بيّنت نتائج جهد زيتنا ان المحلول الغروي لجسيمات الذهب النقي مستقرة بينما المحلول الغروي لجسيمات متراكم الذهب – النحاس المحضر بالنسبة الوزنية والمحضر بالنسبة الحجمية غير مستقرة .

الفصل الأول

المقدمة والدراسات السابقة

Introduction

(1-1) المقدمة

عندما خطأ نيل أرمسترونغ على سطح القمر، وصفت بالخطوة الصغيرة للأنسان والقفزة العملاقة للبشرية . فقد تمثل النانو بقفزة عملاقة أخرى للعالم البشري ،ولكن بخطوة صغيرة جداً تجعل نيل أرمسرونغ يبدو بحجم النظام الشمسي ومع ذلك فان علم النانو تكنولوجيا يقود العالم الى مجالات جديدة من الأدوات الفعالة والمصغرة [1] وأصبحت تقنية النانو موضوع العلم الحديث وغدت في طليعة المجالات الأكثر أهمية في علوم الحياة والفيزياء والكيمياء وال المجالات العلمية الأخرى [2] لتوضيح وحدة قياس النانو المستعملة لقياس أبعاد أطوال الأشياء الصغيرة جداً معرفة مدى صغر الأحجام ومقاييس الأجسام لذلك يمكن التعبير عنها باستعمال وحدة النانومتر.

Nano technology

(2-1) تقنية النانو

جاءت أهمية تقنية النانو من قدرتها على انتاج مواد جديدة وب أحجام صغيرة وانتاج هذه المواد يعد من أكفاء وأصغر المواد التي انشأها الانسان في التاريخ. تدخل تقنية النانو في الكثير من المجالات منها الطبية والهندسية والعلمية . وتعرف تقنية النانو على انها تلك التقنية المتقدمة القادرة على دراسة واستيعاب علم النانو والعلوم الاساسية الاخرى بمفهوم جديد مع توفر المقدرة التكنولوجية على انتاج مواد نانوية والسيطرة على بنيتها الداخلية وذلك بتحديد هيكلة وترتيب الذرات والجزيئات التي تتكون منها والحصول على مواد فريدة ومميزة يمكن توظيفها في مختلف المجالات[2].

Nano Science

(3-1) علم النانو

علم النانو هو العلم الذي يعتني بدراسة وتوسيف مواد النانو وتعيين خواصها الكيميائية ، الفيزيائية ، والميكانيكية مع دراسة الظواهر المرتبطة الناشئة عن تصغير أحجامها في نطاق مقياس النانو الذي يبلغ قياسها أقل من 100nm [1]. فالنانو هو أدق وحدة قياس مترية معروفة ويبلغ طوله واحد من بليون من المتر أي ما يعادل عشرة اضعاف وحدة المقياس الذري المعروفة بالأنكستروم [2] . عادة تتعامل تقنية النانو مع قياسات بين (1-100 nm) اي تتعامل مع تجمعات ذرية تتراوح بين ذرة واحدة الى الف ذرة التغير الرئيسي هو زيادة مساحة سطحها الى نسبة الحجم وهذا مما يؤدي الى تكوين الجسيمات النانوية التي تظهر خصائص مختلفة بالطبيعة الكتالية [3]. ويقوم علم النانو بمعالجة المواد على المقاييس الذرية والجزيئية وبابتكار وسائل معينة ويتعامل بصورة اساسية مع انتاج وتصنيف المواد التي تكون ضمن مقياس النانومتر [1] .

Nanomaterials

(4-1) المواد النانوية

هي تلك المواد التي تمتلك مكونات تركيبية للمواد النانوية التي على الاقل تمتلك بعد واحد ضمن مقياس النانو وتحدد خواص هذه المواد بتركيبتها في مقياس النانو وبفضل التقدم الذي حصل بين امكانية التحكم في تكوين المواد وتكون ذات مميزات ووظائف جيدة ومن هذه الاشكال [4,5].

Nanoparticles

(1-4-1) الجسيمات النانوية

تعرف الجسيمات النانوية بأنها جسيمات تتكون من عدد معين من الذرات ويكون جميع أبعادها الثلاثة بحجم النانومتر ، و بسبب صغر حجمها فأنها تمتلك خصائص فريدة جعلها عملية جدا في صناعة الألكترونات [6] . وتكون الجسيمات النانوية بثلاثة اشكال.

1- المواد ذات الأبعاد الصفرية (Nanoparticles)

يمكن أن تكون جزيئات بلورية مفردة ومتعددة البلورات وغير متبلورة وتكون جميع أبعادها ضمن مقياس النانو وتم ملاحظة تأثير الحبس الكمي لذلك توصف بالنقاط الكهومية [7.8].

2- المواد احادية الاتجاه

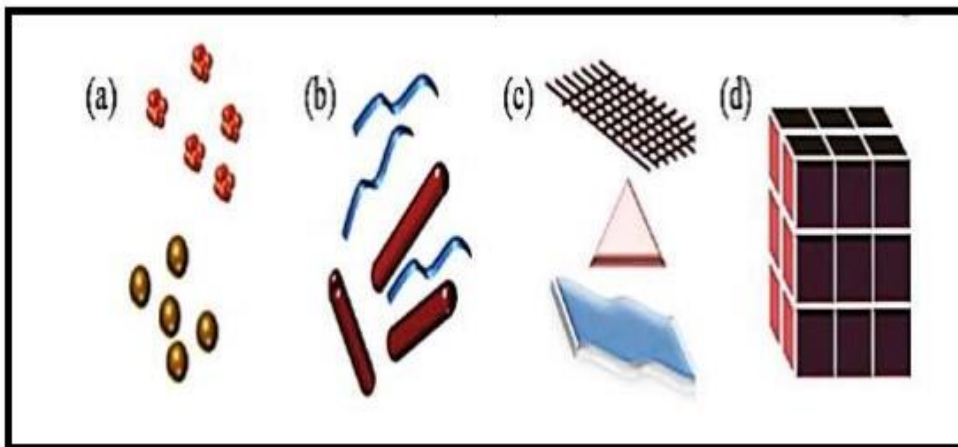
هي المواد التي تحتوي على بعد واحد خارج مقياس النانو من امثلة هذه المواد الأنابيب النانوية ، الخيوط النانوية [9] . والشعيرات والاسلاك النانوية [10].

3- مواد ثنائية الأبعاد

هي المواد التي تحتوي على بعد واحد ضمن حدود النانو وبعدين اكبر من 100nm . من امثلة هذه المواد الطبقات النانوية وتدخل في صناعة المستشعرات (sensors) الاغشية النانوية [6].

4- مواد ثلاثة الأبعاد Bulk

هي المواد التي تكون جميع ابعادها اكبر من 100nm وهذه المواد تمتلك اما تركيب بلوري نانوي (بلورات نانوية) او بعض خصائص نطاق النانو الناتجة عن احتواها على مواد اخرى صفرية او احادية او ثنائية الأبعاد [9].



الشكل (1-1) تقسيم المادة النانوية من حيث الابعاد (a) كرات نانوية (b)الياف و قصبان نانوية ذو بعد واحد (c) الصفائح والأفلام النانوية ذات بعدين (d) المواد النانوية ثلاثة الابعد [2].

Nano composites

2-4-1) المتراكبات النانوية

يعرف المتراكم بأنه مادة تنشأ من اتحاد مادتين أو اكثر لكل منها خواص مختلفة عن الأخرى تجتمعان لتكوين مادة جديدة خواصها تختلف عن خواص كل من المواد المشتركة في تركيبها وذات بنية متماسكة ناتجة من تجانس مادتين مختلفتين من حيث التركيب ويكون المتراكم من عنصرين اساسيين [9].

1-مادة الأساس أو الوسط (matrix) هي الأكثر كمية التي تحيط بالمكونات الأخرى وتعمل على تماسك عناصرها وربط الأجزاء معاً لتكوين نظام مترافق.

2-المواد المضافة (additive) فهي مواد تضاف إلى المواد الأساسية بهدف إكسابها صفات محددة وتحسين بعض الخواص الأخرى وتضاف إلى المواد في صورة حبيبات أو كريات صغيرة وتنمي المتراكب بمتانة أكبر بكثير من متانة المواد التقليدية.

المتراكبات النانوية : هي تلك المواد الهندسية التي يتم انتاجها عن طريق أضافة نسب وزنية أو حجمية معينة من مادة أو اكثر [2].

5-1) تصنیف الجسيمات النانوية

يتم تصنیف الجسيمات النانوية التي يتم الحصول عليها ضمن مقياس النانو (1-100nm) اعتماداً على شكلها وحجمها وتصنف إلى [11]:-

- جسيمات نانوية معدنية Metal nano particales
- جسيمات نانوية اشباه موصلات Semiconductors Nanoparticales
- جسيمات نانوية بولمرية Polymeric Nano particales
- جسيمات نانوية عضوية Organic Nanoparticlaes

(6-1) خواص المعادن النانوية النبيلة

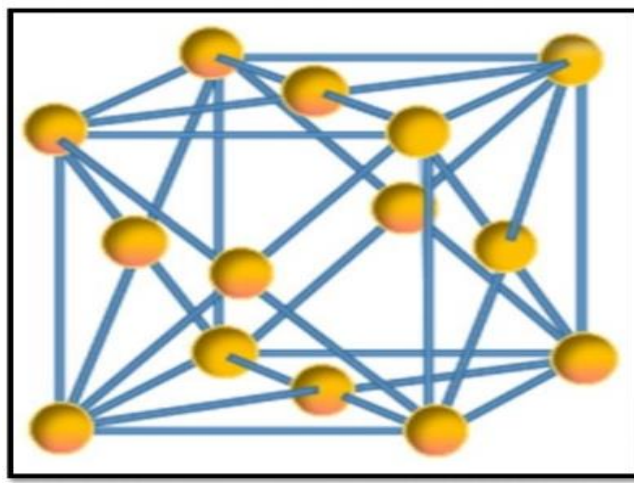
Properties of Noble metal NanoPaticales

تشتهر المعادن النبيلة السائبة بقابليتها الحرارية والكهربائية العالية وخصائصها الميكانيكية المحددة وانعكاسها العالي للأشعة الساقطة . وهذه الخواص ناتجة عن هيكلها البلوري وجود الكترونات غير متمركزة ويمكن ملاحظة تحول كبير في مظهر مادة من نفس التركيب ولكن ببنية نانوية مختلفة [13] .

(a-6-1) الذهب

من المعادن النبيلة ويصنف من الفلزات الانتقالية وله أهمية كبيرة بسبب خواصه البصرية والمغناطيسية وخصائصه البصرية تعتمد بشكل كبير على حجم حبيباته النانوية [12] . ومن مميزاته انه قابل للطرق والسحب وهو لا يتأثر بأغلب الأحماض الشائعة الا في الماء الملكي (وهو مزيج من حمض التترريك وحمض الهيدرو كلوريك) . و يتمتع بخواص اخرى منها الناقلية الكهربائية ومقاومة التآكل [14] . وبسبب طراوة الذهب الحالص فانه غالبا ما يسبك مع فلزات أخرى للاستخدام في صناعة الحلي مما يغير من الخواص بشكل عام مثل القساوة ونقطة الانصهار واللون [15] . غالبا ما يسبك الذهب مع النحاس أو الفضة أو البالاديوم وذلك بنسب مختلفة من درجة النقاوة أما (10 , 12 , 14 , 18 , 21 قيراط) [16] . وتمثل جسيمات الذهب النانوية (AuNp) في السوائل مادة واعدة للكثير من التطبيقات الفيزيائية و الحيوية والكميائية والتكنولوجيا الحيوية بالنظر لخصائصها الفيزيائية غير العادية ولوجود الذروة رنين البلازمون الحادة في المنطقة المرئية وتعتمد ترددات الرنين بشدة على شكل وحجم الجسيمات وكذلك على الخصائص البصرية داخل المجال القريب للجسيم [17] . الجسيمات النانوية المعدنية مثل الذهب يظهر خصائص فيزيائية وكيميائية فريدة بما في ذلك رنين البلازمون السطحي (SPR) وهو الرنين الذي يمكن في التردد المرئي للمعادن النبيلة مثل الذهب والنحاس وهذه الخاصية هي المسؤولة عن تغيير الوان هذه العناصر عند وصولها الى حجم النانو اذ تتسبب هذه الخاصية في رفع درجة حرارة الوسط المحيط بالجسيم عند سقوط الضوء عليه [18] . حظيت الجسيمات النانوية للذهب بالاهتمام الكبير في السنوات الأخيرة للتطبيقات المحتملة في طب النانو بالنظر لخواصها الكيميائية والالكترونية والبصرية التي تعتمد على حجمها البالغ في الصغر وتظهر جسيمات الذهب النانوية فعالية واعدة في تعزيز مختلف علاجات السرطان المستهدفة مثل العلاج الاشعاعي والعلاج الضوئي [19] . البناء البلوري للذهب من فصيلة المكعب المتمركز الوجه FCC و الشكل الغالب على البلورات هو ثماني الوجه والشكل (1-2) يبين التركيب البلوري للذهب عده الذري 79 ودرجة انصهار $^{\circ}\text{C}$ 1063 [20] . وتخالف خصائص جسيمات الذهب النانوية عن الذهب الطبيعي يكون

اصفر صلبا وهو خامل بطبيعته بينما جسيمات الذهب النانوية عبارة عن محلول احمر نبيذ وانه مضاد للاكسدة تلعب التفاعلات بين الجسيمات وتجمع شبكات الجسيمات النانوية الذهبية دورا رئيسيا لغرض توصيف خصائصها ،وتعرض جزيئات الذهب النانوية تكون ذات توزيع للحجم من 1nm-8μm وأنها تظهر باشكال مختلفة مثل كروية وشبه ثمانية السطوح وعشاري السطوح وعشريني الوجه وذات اشكال متعددة وغير منتظمة رباعية السطوح. [20].

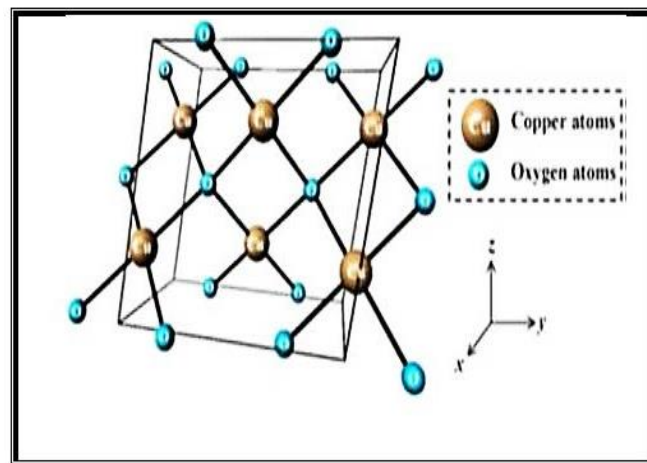


الشكل (1-2) التركيب البلوري للذهب [18].

(b-6-1) النحاس

يدخل النحاس في تركيب العديد من السبائك وخاصة الذهب اذا يضاف بكميات قليله لاعطاء الذهب الصلاة الكافية في تصنيع المصاغ . بسبب كونه موصلًا جيدًا للكهرباء ويستخدم في صناعة الأسلاك والكابلات الكهربائية والاجهزه الالكترونية . و يدخل في صناعة المجوهرات لأنّه يتميز بالمرونة وسهولة العمل النحاس في الطبيعة لونه أحمر وعندما يتآكسد في الهواء لتوليد أكسيد النحاس يتحول لونه الى أخضر فاتح وهو شكل من اشكال الصدأ. و يتفاعل النحاس ببطء مع الأحماض المخففة.[21] والنحاس عدده الذري (29) وتكافؤ (1,2) والتركيب البلوري لأوكسيد النحاس كما موضح في الشكل (1-3) مكعب الشكل [22.21]. والجدول (1-1) يبين الخواص الفيزيائية للمعادن الذهب والنحاس ، حظيت الجسيمات النانوية المصنوعة من معادن نبيلة مثل الذهب والنحاس باهتمام كبير من قبل المجتمع العلمي بسبب ميزاته المفيدة ومجموعة واسعة من التطبيقات [24.23]. نظرًا لخاصية الرنين السطحي للبلازمون والتي يمكن إرجاعها إلى التذبذب الجماعي لإلكترونات التوصيل الناتجة عن المجال المغناطيسي فإن هذه الجسيمات النانوية تظهر

لها اللوان عالية الشدة عندما تتشتت في وسط سائل عن الخصائص العازلة للوسط والمحيط .[25,24]



الشكل (3-1) : التركيب البلوري لوكسيد النحاس [26].

الجدول (1-1) : يوضح الخواص الفيزيائية للعناصر النبيلة.

النحاس	الذهب	الخصائص الفيزيائية
Cu ,29	Au , 79	الرمز الكيميائي والعدد الذري
1357.77K 1084.62 °C	1337.33K 1064.18 °C	نقطة الانصهار
2835K 2562 °C	3129K 2856 °C	نقطة الغليان
13.26KJ/mol	12.55 KJ/mol	حرارة الانصهار
300.4 KJ /mol	324 KJ/mol	حرارة التبخر
25 °C عند 24.440J/mol.k	25 °C عند 25.418J/mol.k	السعنة الحرارية
احمر برقاقي	اصفر ذهبي	اللون
63.546	196.96	الوزن الذري
معدن ناعم قابل للطرق	معدن ناعم قابل للطرق	المضهر
8.02gm/cm ³	19.39mg/cm ³	الكثافة
11	11	خاصة العنصر المعدني الانتقالي

Gold-Copper alloys

(7-1) سبيكة الذهب - النحاس

يخلط الذهب مع كميات صغيرة من عناصر الفلزات الندية مثل النحاس أو النيكل ليجعلها أكثر صلادة وأكثر مقاومة للتآكل عادة ماتظل كمية فلز الأشابة قليلة و يمكن خلط الذهب مع النحاس لتكوين سبيكة متينة بشكل ميكانيكي و مقاومة لمعظم أشكال التآكل ويعطيها القابلية لتحمل السحب ويزيد من كثافتها النوعية . والسبائك واسعة الانتشار والأكثر شهرة تكون نسبة الذهب

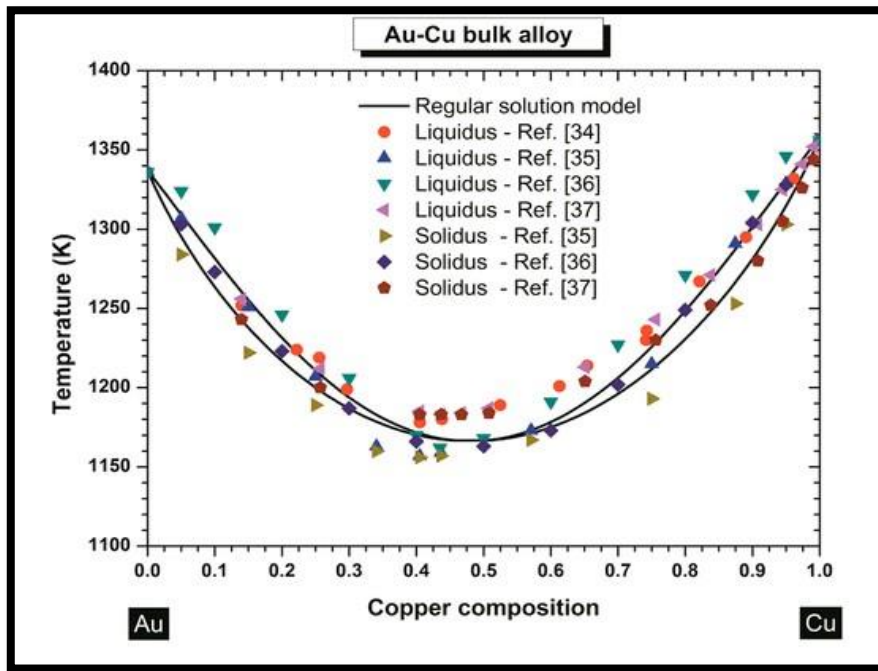
الخالص فيها (34%) من النحاس و(7.5%) من الفضة ودرجة انصهار السبيكة هي أقل من درجة انصهار الذهب النقي ومع ذلك فإن خصائص السبائك هي افضل بكثير من المعدن النقي [27].

(a-7-1) طور تصنيع سبائك Au-Cu النانوية

Fabrication of Au-Cu Alloy Nanoparticles

هذه المرحلة هي قسم من النظام يكون متجانساً ومحدداً ومتميزة ميكانيكياً عن باقي الانظمة. وتكون السبائك من أثنتين أو ثلاثة معادن مختلفة وعادة ما يتم تصنيفها حسب عدد العناصر التي تحتوي عليها (ثنائي). بالنسبة للسبائك المكونة من عنصرين فهي ممارسة تجارية أكثر استخداماً. ويمكن تحديد درجة الحرارة التي يحدث فيها انتقال الطور بشكل تجريبي باستخدام إحدى الطرق المستخدمة لإنشاء مخططات الطور. في كلا الاتجاهين من سائل إلى صلب. بقدر ما تذهب هذه التقنيات فإن التحليل الحراري هو الأكثر استخداماً وأهمية. أثناء التبريد البطيء للسبائك المنصهرة ذات التركيبات المختلفة حتى التصلب الكامل يتم إجراء التحليل الحراري لقياس درجة الحرارة في فترات زمنية محددة ومن خلال تمثيل درجة الحرارة بيانيًّا كدالة زمنية يلاحظ أنه يمكن الحصول على منحنيات التبريد مفترضة عندما تأخذ التحولات مكان. بسبب انتشار الحرارة . يمكن حساب درجات حرارة البداية بمنحنيات التبريد. بالنسبة لنسبة وزن معينة لأحد المكونين يظهر رسم بياني التصلب (اتفاق الانكسار الأول لمنحنى التبريد) ودرجات الحرارة التي ينتهي عنها التصلب مخطط مرحي [28-29]. يعد فهم انتقال الطور لسبائك الذهب والنحاس بالغ الأهمية على المقياس النانوي ولكن من الصعب الحصول على مخطط الطور تجريبياً. ولكن تم التنبؤ بمخططات الطور للجسيمات النانوية ذات اشكال واحجام مختلفة وفق أدوات نظرية قوية في السنوات الأخيرة فإن امكانية تكوين Hume-Rothery وفقاً لقواعد السبيكة من معدنين يعتمد على تشابه أربعة عوامل نصف قطر الذري للذهب . التكافؤ الترتيب البلوري. السلبية الكهربائية [30] . تتطابق ثلاثة شروط من هذه مع النحاس حيث يشتريkan في البنية البلورية FCC والتكافؤ ونصف قطر ذري مماثل الفرق أقل من 15% هذا التطبيق يعد أحد السلوكيات المهمة للسبائك ويعني أن نقطة انصهار السبيكة أقل من تلك الخاصة بالعناصر المكونة لها وتنصهر السبيكة عند درجة حرارة معينة يشير مخطط الطور في الشكل(4-1) أن نقطة الانصهار المتطابقة تبلغ (910°C) مع تكوين 44% من النحاس[25]. ومن الجدير باللحظة عند النظر إلى مخطط الطور فإن عوامل الشكل والحجم لها تأثير كبير على سبيكة Au-Cu النانوية على نقطة الانصهار المتطابقة [30] ، ولكن لايفوتنا أن ننوه لما تنبأ

به الباحثون انه تتم مقارنة الجسيمات النانوية باحجام (10nm-4nm) مع الحجم الأكبر للأشكال المختلفة فوق منحني السائل. يكون المحلول سائل بحث وتحت منحني المواد الصلبة يكون المحلول صلب تماماً فيما بينهما يكون في حالة توازن صلب - سائل ومن محاكاة مخططات الطور يمكن استخلاص انه نحو درجة حرارة Solidus-Liquidus تتحرك منحنيات منخفضة مما يعني انخفاض في استقرار الجسيمات النانوية الشكل (4-1) يوضح مخطط الطور لمراحل السبيكة حيث يتناقص حجم السبيكة من الحجم الأكبر الى 4nm.



الشكل (4-1): مخطط طور المرحلة للسبيكة النانوية [28].

Previous studies

8-1(الدراسات السابقة)

تمكن الباحث (عبد الرحمن وجماعته) عام (2010) من تحضير الجسيمات النانوية Ag,Au عن طريق الاستئصال بالليزر النبضي و باستخدام ليزر Nd:YAG النبضي ذو الطول الموجي (1064nm, 532nm) لقطعة معدنية عالية النقاوة من الذهب والفضة المغمورة في الماء منزوع الأيونات ثلائي التقطر يعرف DDDW أو محليل سائلة آخر مثل (sodiumdodecylsulfateds, Nacl, Ethanol ,Polyriny lpyrrotidones PVP) دراسة الخواص البصرية والتركيبية والمورفولوجية للجسيمات المحضرة حيث اظهرت قم الامتصاص حادة ومنفردة حول القيمة (529nm, 400nm) والتي تدل على توليد جسيمات نانوية كروية الشكل من الذهب والفضة على التوالي كما اظهرت نتائج (TEM) ان معدل قطر

الجسيمات (13nm) كما تم تحضير سبيكة نانوية ثنائية المعدن من الذهب في اللب محاطة بطبقة من الفضة السبيكة النانوية تبدوا بشكل كروي وبقطر (19nm) [31] .

وحضرت الباحثة (هبة) عام (2013) جسيمات الذهب النانوية بـاستخدام طريقة الليزر النبضي في السائل وتمت دراسة تأثير الطول الموجي على حجم الجسيمات النانوية بـاستخدام الأطوال الموجية (1064nm, 532nm, 355nm) وكانت نتائج (AFM) بـان حجم الجسيمات النانوية المحضرة بـطول (1064nm) (78.59nm) اصغر من حجم الجسيمات المحضرة بـطول (532nm) (132.25nm) وللطول (355nm) بـحجم (90.28nm) وأظهرت اطيف الامتصاص قمة حادة ومنفردة حول قيمة (520nm) ويدل على توليد جسيمات الذهب النانوية كروية الشكل [32] .

واستطاعت الباحثة (عبير) عام (2014) تحضير جسيمات اوكسيد النحاس النانوية (Cu₂O) الغروية بـطريقة الاستئصال بالليزر النبضي في محليل مختلفة (ماء مقطر ، ماء منزوع الايونات ، ماء منزوع الايونات (3ml) مخلوط مع (2ml) من جلايكول الاثلين (C₂H₆O5EG) كانت معلمات الليزر الطول الموجي (1064nm) وطاقة الليزر (400, 300, 200mJ), كما لوحظ زيادة حجم الجسيمات نتيجة زيادة طاقة الليزر وبيّنت نتائج SEM تتفق مع (AFM) ان جسيمات Cu₂O ذات اشكال كروية وان احجام الجسيمات في محلول الماء المقطر (19.84nm) وللماء منزوع الايونات (21.25nm) وفي محلول ماء نوع نوع الايونات مخلوط مع (EG) (19.2nm) .[33]

قام الباحثون (الاوسى وجماعته) في سنة (2016) الاستئصال بالليزر النبضي وهو تقنية يمكن استخدامها لاستكشاف تأثير طاقة الليزر وعدد النبضات على حجم وتركيز جسيمات الذهب النانوية في الماء المقطر. والأشعة المرئية وتبين أنها تقع ضمن نطاق أطوال موجية (509nm-524nm) واستخدموا حسابات تعتمد على قمم امتصاص رنين البلازمون وصور المجهر الالكتروني النافذ (TEM) وطريقة تشتت الضوء الحركي (DLS) لتحديد الحجم. جسيمات الذهب النانوية والتي تراوحت بين (27nm,5.3nm) وكانت قيم تركيز الجزيئات جسيمات نانوية بين (37.142) جـء في المليون (AAS) . [34]

صنع الباحث (Srava وجماعته) عام (2016) سبيكة من Au-Cu ودراسة الخصائص البصرية للجسيمات النانوية المصنوعة من سبيكة Au-Cu و تصنيع الهياكل النانوية للسبائك الغروية والتي تختلف عن تلك الخاصة بالجسيمات النانوية المكونة من الذهب و النحاس وبسبب الترابط بين تحضير محلول يحتوي على جسيمات نانوية لكل من الذهب والنحاس بطريقة

المقدمة والدراسات السابقة

الاستئصال بالليزر النبضي في الماء المقطر ودراسة الخصائص البصرية والفيزيائية للجسيمات النانوية المحضرة ومعرفة مدى تأثير معلمات الليزر على تكوين الجسيمات النانوية الناتجة في محلول الغروي للجسيمات النانوية لسبائك الذهب والنحاس، Au-Cu (Nps)، Au، Cu، كما أظهرت أن النشاط التحفيزي جيد وأثبتت أنها فعالة في قتل الخلايا السرطانية باستخدام العلاج الضوئي [35].

وقام الباحث (أبراهيم) عام (2017) باستخدام طريقة الليزر النبضي للصفائح المعدنية المغمورة في (5ml) من الماء المقطر لإنتاج جزيئات نانوية من الذهب والفضة والنحاس وكذلك المعادن الثانوية (Ag / Au / Cu). وبينت تحليلات المجهر الإلكتروني النافذ عالي الدقة (HRTEM) حجم الجسيمات والتحليل الطيفي لحيود الأشعة السينية لتحديد التركيب البلوري (اللبل / الغلاف) وتحديد موقع ذروة رنين البلازمون السطحي، وكان هناك ذروتان من رنين البلازمون السطحي عند (406-516nm) للجسيمات النانوية ثانية المعدن (Ag / Au) وذروة واحدة عند (565nm) للمعدن الثاني (Cu / Au) نظراً لأن ذروة النحاس والذهب قريبة بعض منهم. وأوضح الباحث أن المجهر الإلكتروني عالي الدقة قادر على تأكيد شكل وحجم الجسيمات النانوية وأوضح أن متوسط حجم جزيئات الفضة كان (12nm) و (14nm) لجزيئات النحاس و كان حجم الحبوب للمعدن الثاني (Ag / Au) ما يقرب (11nm) وأن (13nm) بالنسبة للمعادن ثنائية المعدن (Au / Cu) كان متماثلاً تقريباً [36].

وقام الباحث (ايناس) عام (2018) بدراسة توليف ترابط الخصائص البصرية المولفولوجية للجسيمات النانوية المعدنية النبيلة المحضرة بطريقة الاستئصال بالليزر البيكوثانية النبضي. البلازم ما المولدة في الماء او لا تم تحسين كفاءة الاستئصال بالبحث عن ظروف التركيز. وكان الطول الموجي لليزر الاكثر كفاءة 785nm ويعتمد حجم الجسيمات النانوية المقاسة بالمجهر الإلكتروني النافذ TEM على فلقة الليزر مع الحفاظ على معلمات الترسيب الاخرى ثابتة مثل مسافة الهدف التكرار للنبضة . تشير صور SEM الى تدرجات ضيقة لاحجام الجسيمات النانوية . و ساعد التحليل الطيفي المرئي فوق البنفسجي على تحديد الطول الموجي المناسب لليزر لتنفيذ تشتت رaman (SERS) تم اختيار ركائز Ag, Au التي تم الحصول عليها من خلال رش الغرويات المركبة في الماء ويعزى اداء (SERS) الجيد تم ملاحظته عند الطول الموجي الاكبر 785nm الى ظاهرة تجميع الجسيمات النانوية[37].

وحضر(شاكر) عام (2018) المحاليل الغروية للذهب والفضة بشكل منفصل بواسطة (1064nm) بطريقة الاستئصال بالليزر في السوائل للهدف المعدني (الذهب والفضة) المغمور في الماء منزوع الايونات وتم تحضير الجسيمات النانوية المصنوعة من سبيكة (Au-Ag) عن

طريق تشيع خليط Au,Ag المحاليل الغروية للطول الموجي 532nm بنسب حجمية (1:3, 1:1, 1:1) حيث بينت اطيف الامتصاص لرنين البلازمون ازاحة خطية لجسيمات-Au (Ag) نحو الطول الموجي الاقل (499.6nm) و(481.25nm) لنسب (1:1) (1:3) مقارنة مع اطيف الامتصاص للذهب Au النقي (520nm) و (400nm) Ag كما لوحظ تغير الوان المحاليل من الاخضر والاصفر للفضة الى البرتقالي والبني واللون الاخضر بسبب تشكيلات سبائك (Au-Ag) على التوالي كما بينت صور TEM غلاف Ag حول اللب الداخلي للمعدن Au الكروي الشكل وبينت نتائج EDX وجود عناصر Au, Ag من سبيكة Au-Ag بشكل واضح [38].

وتمكن(قيوم) عام (2019) من تحضير المعلقات الغروية النقية كيميائيا من الذهب والفضة الجسيمات النانوية عن طريق الاستئصال بالليزر النبضي في النانوثانية لللواح المعدنية توضع في الماء المقطر طول موجة الليزر (1064nm) و(6ns) وبمعدل تكرار (10Hz) تم تحليل الجسيمات النانوية بواسطة التحليل الطيفي للاشعة المرئية وال فوق البنفسجية والمجهر الالكتروني يعرض طيف الامتصاص السمات المميزة للفضة ذروة مكثفة عند (405nm) ويمتد ذيل واسع باتجاه المنطقة المرئية الى منطقة الاشعة تحت الحمراء القريبة اما الذهب فان الذروة الشديدة عند (524nm) . [39]

واستطاع الباحث (C.M.satriyani) وآخرون عام (2019) استخدام ليزر ال Nd:Yag بطريقة الاستئصال بالليزر النبضي وكان الطول الموجي المستخدم 1064nm وبطاقة (50mJ) وكان معدل تكرار النبضات الليزر (10Hz, 15Hz, 20Hz) تم وضع معدن النحاس النقي في اكواب و تم تصنيع جسيمات النحاس النانوية الغروية بنجاح وتم فحص وتصنيف الجسيمات النانوية الغروية باستخدام مطياف الاشعة المرئية وفوق البنفسجية UV والمسح المجهري الالكتروني SEM وتظهر النتائج ان الجسيمات النانوية النحاسية قد تم انتاجها بشكل ناجح على شكل كرة وبمتوسط قطر يبلغ (12nm) [40].

و درست الباحثة (اسراء) عام 2020 تأثير تغيير معاملات الليزر (عدد النبضات وطاقة الليزر) على الخصائص التركيبية والبصرية لجسيمات ال(Au,Ag,Tio2) النانوية التي تم تحضيرها بطريقة الليزر النبضي ليزر Nd:YAG و كان الطول الموجي للليزر 1064nm وبطاقة 500mJ وبمعدل 100نبضة في الثانية لاهداف Au, Ag وعناصر غير نبيلة مثل اوكسيد التيتانيوم العالية النقاوة في الماء المقطر وكانت عدد النبضات بمقدار (100, 200, 300) نبضة عند طاقة استئصال ثابتة وكانت عدد النبضات ثابتة مقدارها 100 نبضة لتحضير الجسيمات النانوية اعلاه . و تم دراسة توصيف الجسيمات النانوية للمعادن في مجال التطبيق

الحيوي لتنشيط الخلايا السرطانية واستخدم لفحص الخواص التركيبية للنمادج حيود الاشعة السينية XRD والمجهر الالكتروني النافذ ، TEM و FE_SEM للجسيمات النانوية الناتجة يكون بشكل كروي [7].

وتمكن الباحثة (ميادة) عام (2020) من تحضير الجسيمات النانوية لل (Au/Ag) عن طريق الليزر النبضي ذو الطول الموجي (532nm, 1064nm) تسليطه على صفيحة الذهب مغمورة في عوالق الفضة النانوية التي تم تحضيرها مسبقاً من نفس الطاقات (200, 400, 600, 800, and 1000 mJ) كانت التقنية الثانية هي طريقة نمو البذور التي تتضمن خطوتين تفاعل كيميائي بين $\text{Na}_3\text{C}_6\text{H}_5\text{O}_7$, AgNO_3 و NaBH_4 لانتاج بذور Ag ثم احتزال كيميائي آخر لـ HAuCl_4 , $\text{C}_6\text{H}_8\text{O}_6$ في محلول CTAB يليها اضافة بذور الى محلول بكميات مختلفة (0.2, 0.4, 0.6, 0.8, and 1) مل. أظهر جهاز تحليل الطيف- UV-VIS أن ذرة الامتصاص للعينة المحضرة بطاقة (1000mJ) أعلى من تلك العينة المحضرة عند (200mJ) ويرجع ذلك الى زيادة تركيز الجسيمات النانوية . اما بالنسبة للقلم المتبقية ثابتة تقريباً عند (410 nm) وعند تغيير الطول الموجي هناك زيادة في قيمة الامتصاصية مع تناقص الطول الموجي اي زيادة طاقة الليزر. تمتلك بذور Au ذرة امتصاص عند (445nm) وذرة Ag/Au nanostar تتراوح (670-720nm) من الطول الموجي . تمت دراسة الخصائص التركيبية للنانو عن طريق حيود الاشعة السينية (XRD) وقد اثبتت النتائج وجود أربعة أنماط من جزيئات الذهب النانوية و(111),(200),(311),(220) وتمت دراسة الخصائص التشكيلية لجسيمات Ag/AuNPs الجسيمات النانوية المحضرة بواسطة TEM, SEM, اظهرت القياسات ان الجسيمات النانوية المحضرة بطريقة التنشيط بالليزر لها شكل كروي وأقطارها (25-30nm) اما بالنسبة لطريقة نمو البذور فان البذور الفضية لها شكل كروي بمتوسط حجم 30nm Au/Ag والجسيمات النانوية Au/Ag لها شكل نجمي مع متوسط حجم (100-200nm) كما أن نتائج EDS أظهرت ان العينة تحتوي على الذهب على أعلى مستوى وهذا يؤكد ان جميع جزيئات الفضة مطلية بطبقة الذهب [41].

تمكن الباحث (نصر الله وآخرون) عام (2020) من استئصال لوحة معدنية للذهب مغمورة بالماء واستخدامها في تطبيق الاختزال التحفيزي باستخدام بوروهيدريد الصوديوم (NaBH_4) في الوسط المائي في درجة حرارة الغرفة . بين التحليل الطيفي للأشعة السينية المشتت للطاقة (EDX) بينت ان العينة تحتوي على نسبة عالية من الذهب وباستخدام -UV-Vis بينت ذرة الامتصاصية عند (550nm) كما بينت نتائج (FE-SEM) ان الجسيمات ذات معدل احجام (30-5nm) وبينت نتائج (TEM) ان الجسيمات كانت كروية الشكل . [42]

وتمكن الباحث (طه وآخرون) عام (2021) من تشكيل مركب نانوي الغلاف من Au/ZnO باستخدام طريقة الليزر النبضي حيث تم بهذه التقنية تحضير الذهب في شكلين (Au) واوكسيد الخارصين (ZnO) كلاهما اساسي الجسيمات النانوية والمترافق النانوي (CsNps) تم فحص سلوك الامتصاص لـ Au:Zno Cs Nps و Au/Zno NCs (NC) المرئي للأشعة فوق البنفسجية من ذروة الامتصاص عند (525nm) بينما ذروة AuNps عند 375nm تم فحص سلوك الامتصاص لـ ZnONps (ZnONps) كما تظهر صور TEM متوسط حجم Au Nps هو (30-45) وبمتوسط حجم ZnONps هو 60 بينما تظهر Au/ZnO حجم ZnONps (60-55nm)

حيث تعمل Au كنواة ZnO كغلاف يلتسع بجسيمات الذهب النانوية الكروية الشكل يبلغ متوسط سمك غلاف اوكسيد الخارصين (15-10nm) عند تصنيعها وتتمتع بنشاط تحفيزي ضوئي عال Cs Nps حتى بعد دورات متعددة من التفاعلات التحفيزية الضوئية عند مقارنتها . [43] Au/ZnO NCs

تمكن الباحثة (الهام) عام (2022) من استخدام طريقة الليزر النبضي (بالطريقة الخضراء) في تحضير جسيمات الذهب النانوية في محلول الصبغ العربي (GA) حيث أكدت الدراسة استقرار جسيمات الذهب المحضرة في المحلول وقد بينت نتائج الفحص البصري (AuNps) ارتفاع في ذروة الامتصاص اقل في النطاق المرئي عند (521nm) في حين ان (GA-AuNps) له ارتفاع قمة رنين البلازمون (514nm) اما بالنسبة للطاقة الاكبر من (GA) فهناك تحول نحو الأزرق نحو الطول الموجي الأقصر مع زيادة تركيز - (200mJ) AuNps وبينت الدراسة ان هناك تأثير ايجابي لـ (GA) كعامل مختلف لجسيمات الذهب النانوية وممكن ان يستخدم في التطبيقات الطبية المستقبلية [44].

قام الباحث (Elsayed) عام (2022) بتصنيع أسلاك (TiO₂) النانوية (Nws) المطعم بجسيمات الذهب النانوية باستخدام طريقة الاستئصال بالليزر النبضي في السائل لاستخدامها في تطبيق مضاد للسرطان حيث أستخدم تقنيات تحليلية مختلفة لتوصيف العينات المحضرة بما في ذلك (FE-SEM),(EDS),(PL) ومطيافية رaman حيث أكدت صور (FE-SEM) وجود (AuNps) على اسطح (TiO₂ Nws) تم تقييم النشاط المضاد للسرطان لمركب (TiO₂Nws) و(AuNps) و (TiO₂-Au) النانوي على خطوط خلايا سرطان عنق الرحم (HELA) والثدي (MCF7) أظهرت النتائج ان TiO₂ المطعم بـ AuNps عززت بشكل كبير لأنشطة المضادة للسرطان ضد HELA MCF7 السرطانية مع بنسبة 41%,43% على التوالي ، وبالتالي يمكن استخدام المركب (TiO₂-Au) النانوي المحضر لتشثيط نمو الخلايا السرطانية [45] .

Aim of The work

(9-1) هدف البحث

تحضير محاليل جسيمات نانوية متراكبة بطريقة الاستئصال بالليزر النبضي في الماء المقطر من معدن النحاس والذهب عالية النقاوة و بالنسب الوزنية (50% Au - 50% Cu) (65% Au - 35% Cu),(75% Au - 25% Cu) , (87.5% Au - 12.5% Cu) .

ودراسة الخصائص البصرية والهيكلية والمورفولوجية للعينات المحضره .

الفصل الثاني

الجزء النظري

Introduction

(1-2) المقدمة

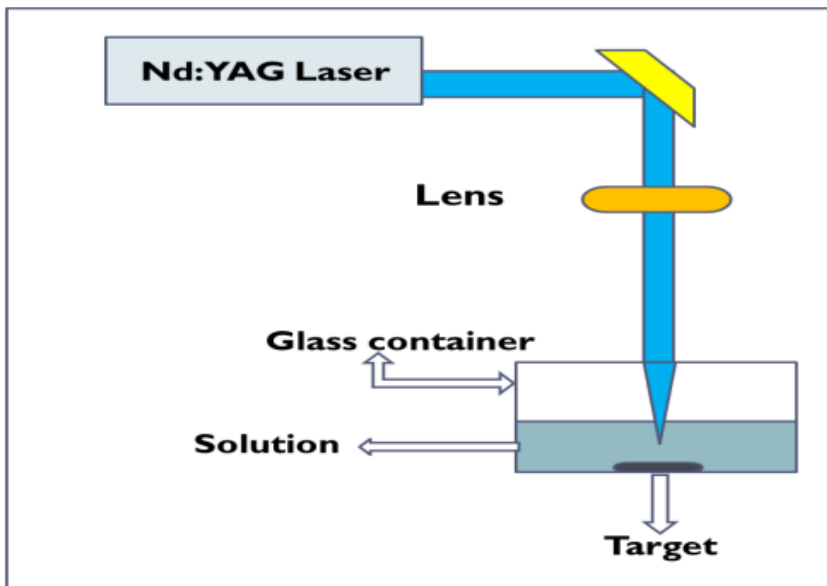
ثمة جهود تبذل خلال السنوات الأخيرة وهناك مجموعة متنوعة من الطرق لتنقیل المواد إلى المقاييس النانوي بعضها باهظ الثمن ويستغرق وقتاً طويلاً مثل ترسيب البخار الكيميائي والبعض الآخر مثل الاستئصال بالليزر النبضي (PLAL) وهو غير مكلف وسريع. ثُرِفَ هذه العملية باسم (تحضير الجسيمات النانوية) وهي إحدى الطرق الأساسية لتكوين جسيمات ذات حجم غير مسبوق. (Nano particales) والأغشية الرقيقة (Thin Film) حيث كان استخدام الفراغ أو الغاز كوسط نمو للمواد النانوية في بداية الاكتشاف لهذه التقنية وأول من استخدم هذه التقنية هو باتيل وزملائه في عام 1987 الذين استخدمو الليزر النبضي لاستئصال هدف من الحديد النقي في الماء لتكوين اكاسيد الحديد بمراحل مستقرة وتم غمر هدف صلب في وسط سائل ويتم تركيز شعاع الليزر عبر السائل على سطح الهدف وأصبحت هذه التقنية تصنع الكثير من المواد ناجحة مما يسمح بتصميم متعدد الأستخدامات من خلال اختيار أهداف صلبة مناسبة وحصر السوائل بالمقارنة مع الطرق الفيزيائية التقليدية والطرق الكيميائية. فإن تقنية LP-PLA تطورت سريعاً وأستخدمت السائل مثل الماء المقطر أو المذيبات العضوية كوسط سائل لنمو المواد المستئصلة [47.46]. عوامل عديدة يجب معرفتها بتقنية الاستئصال بالليزر من أهمها .

1-المادة الغازية ، سائلة ، الصلبة

2-نوع المادة العوازل ، اشباه موصلات ، والموصلات

3-عيوب التركيب البلوري والشوائب الأخرى في المواد الصلبة.

يمكن تحضير الجسيمات النانوية باستخدام تقنيات مختلفة منها طريقة الأختزال الكيميائي (chemical redaction) والاختزال الألكتروكيميائي (Electro chemical) [8]. والاستئصال بالليzer (photo Radaction) والأختزال الضوئي (Laser ablation) والترسيب بالليزر النبضي (Pulsed laser Deposition) [49]. ومن بين تلك الطرق المختلفة تعد طريقة الأستئصال بالليزر النبضي في السوائل (PLAL) تقنية مهمة لتصنيع المواد النانوية وهي تقنية متعددة الجوانب لاعداد انواع مختلفة من الجسيمات النانوية مثل المعادن [11.48]. واسبهاء الموصلات والسبائك والاكاسيد والمعادن النبيلة [51.50.49] كما موضح في الشكل (1-2) وقد حظيت هذه الطريقة باهتمام كبير باعتبارها تنتج جسيمات نانوية عالية النقاوة .



الشكل (1-2): يوضح منظومة الاستنسال بالليزر

تعرف الخواص الكهربائية والبصرية للهيكل النانوية الصغيرة التي يتم الحصول عليها من ظاهرة ميكانيكية كمومية بالحبس الكمومي ان تقليل الحجم في نطاق ال nm أصغر من 10nm له تأثيركمي بسبب حصر حركة الالكترونات مما يؤدي الى مستوى طاقة منفصل اعتمادا على حجم الهيكل المحدد سبب التحكم في الابعاد [52]. الحصر الكممي في اشباه الموصلات ينتج عن الحصر الهندسي للالكترونات الفجوات او الاكسیتونات (زوج مرتبط بفجوة الالكترون) تظهر خصائص الاكسیتونات المتعددة نتيجة التحولات بين الالكترون ومستويات الفتحة الالكترونية المنفصلة او الكممية ويمكن تقسيم تأثير الحبس الكمومي الى ثلاثة انظمة :

أنظمة الحبس الضعيفة والمتوسطة والقوية تظهر تأثيرات الحبس الكمومي (مستويات طاقة الالكترون المنفصلة الناتجة عن البئر عند حدود الحبيبات النانوية لبعض المواد). ويؤدي هذا الى اعتبار طريقة الاستنسال بالليزر طريقة جيدة لتوليد النقطة الكمومية [54,53]. ويستعرض هذا الفصل طريقة تحضير السبائك النانوية والتعرف على هذه الأساليب والاستنسال النبضي بالليزر بالسوائل (PLAL) وكيفية إنشاء وتوليد الجسيمات النانوية باستخدام (PLAL) وما يحدث بعد استنسال محلول الغرويات العوالق النانوية (Nano-Suspension) وتأثير معلمات الليزر وصولاً الى خصائصها الفيزائية والضوئية والهيكلية.

Synthesis of Nanoparticles

(2) تحضير الجسيمات النانوية

هناك العديد من الطرق الكيميائية والفيزيائية يتم من خلالها انتاج الجسيمات النانوية على الرغم من ان الطرق الصديقة للبيئة متاحة اكثر فهناك طريقتان رئيستان هما اسلوب من اعلى الى الاسفل (Top-Down) واسلوب من اسفل الى الاعلى (Bottom up) وهما تقنيتان لتحضير

الجسيمات النانوية حيث تتضمن تقنية من اعلى الى الاسفل تقليل حجم المواد للمقياس النانوي باستخدام تقنيات القص والتلميع بينما تقنية من الاسفل الى الاعلى يتم تصنيع المواد النانوية بواسطة تفاعل الذرات من خلال مجموعة من التفاعلات الكيميائية التي توفرها التقنية [55].

Top -Down approach

(2-1) تقنية من الاعلى الى الاسفل

تستخدم هذه التقنية أسلوبًا مدمراً حيث تقوم بتقسيم جزيء كبير إلى جزيئات أصغر قبل إعادة تجميع الأجزاء إلى جسيمات نانوية وظيفية. الطحن هو أحد الأمثلة على هذه التقنية الاستئصال بالليزر (PLAL) هي طريقة صديقة للبيئة في نهج من الاعلى الى الاسفل حيث تبدا خطوة خطوة لازالة قطع بحجم النانو من القطعة الاكبر (الهدف) عن طريق كسر الاواصر بين الجزيئات عند تسلیط طاقة الليزر لكي ينتج نظام نانومترى ينتج عنه تلوث قليل . [57,56]

Bottom up approach

(2-2) تقنية من الاسفل الى الاعلى

من بين الطرق الاكثر شيوعا لانتاج البنى النانوية هي الاستراتيجيات القائمة على ترتيب وتجميع الذرات والجزيئات لبناء التراكيب البلورية في هذا السياق نحن مهتمون بتنظيم مجموعة من التفاعلات بين الذرية أو الجزيئية بما في ذلك Van der Waals والقوى الجذابة قصيرة المدى الأخرى. سيتم إطلاق أيونات المواد الضرورية من الجسيمات النانوية أثناء التلامس ولكن من الصعب تحقيق الظروف اللازمة لانتاج المواد وعادة ما تكون الملوثات الكيميائية المنتجة منخفضة ومن بين هذه الطرق الانحلال الحراري بالليزر (Laser pyrolysis).

(3-2) طرق تحضير سبائك (Au-Cu) النانوية

Methods for preparing (Au-Cu) nano-alloys

تعد أنظمة السبائك المعدنية ذات أهمية كبيرة في التطبيقات لما لها من وظائف محسنة مقارنة بالمكون الأصلي بسبب التأثير الناتج من خلط العناصر وتكون السبائك ثنائية المعدن ذات اشكال وتكوينات مختلفة تتالف من Au-Cu[58,59]. في الآونة الأخيرة ظهر نظام السبائك Au-Cu كنظام آخر الذي أظهر تطبيقات ممتازة في التحفيز والضوئيات هي مواد تحفيزية ممتازة وان Au, Cu تظهر خصائص بصيرية قابلة للضبط بالحجم والشكل وهي حساسة لبيئتها العازلة علاوة على ذلك فان الجسيمات النانوية مستقرة ومتواقة حيويا ومن السهل تشغيل اسطحها بتطبيقاتها في الاستشعار البيولوجي والتصوير والعلاج الضوئي ومكافحة التلوث [60, 61]. كما تظهر

جسيمات النحاس النانوية ايضا امتصاصا قويا مع جسيمات الذهب النانوية في المناطق المرئية والقريبة من الاشعة تحت الحمراء NIR. احد الحلول لتحسين استقرار جسيمات النحاس النانوية هو خلط مع معادن مستقرة بالفعل مثل الذهب لتكوين السبيكة وبسبب الترابط القوي بين المكونين - Au-Cu فان الجسيمات النانوية الناتجة تكون اكثر استقرارا مما يوفر نشاطا تحفيزيا عاليا [50, 63, 62]. وهناك عوامل عديدة و مهمة تتحكم في شكل الجسيمات النانوية مثل عوامل (الاختزال والروابط وحركية التفاعل ثم استقرار في رنين البلازمون السطحي والموضعي) و تستخد طرق تركيبية من الأسفل الى الأعلى مثل الاختزال المشترك والتحلل الحراري والنمو بواسطة البنور والاستبدال الكلفاني بناءا على المعرفة التي يتم الحصول عليها من تركيب الجسيمات النانوية أحادية الفلزات

تم تطوير العديد من الطرق لتصنيع الجسيمات النانوية ثنائية المعدن على غرار الجسيمات النانوية أحادية الفلزات يتم تحديد التشكيل والتركيبيات البلورية للجسيمات النانوية ثنائية المعدن بواسطة مسارات التفاعل والتي يمكن التحكم فيها بالطريقة التركيبية وظروف التفاعل .

Co-reduction method

(a-3-2) طريقة الاختزال المشترك

ان طريقة الاختزال المشترك هي طريقة تركيبية مباشرة من خطوة واحدة بشكل عام يتطلب توليد هياكت نانوية لسبكة Au-Cu النانوية الاختزال المشترك ايونين معدنين لهما امكانات اختزال متشابهة او يجب ظبط امكانات الاختزال عن طريق تغيير النسب المولية او انواع السلائف بحيث يمكن تقليلها بمعدل مماثل بواسطة عامل اختزال مشترك . تحدد قوة عامل الاختزال عدد الذرات المتاحة للتتوي في المراحل الاولية مما يؤثر على شكل البلورات النانوية الناتجة [64,65] يمكن ان يؤدي خلط السلائف المعدنية والروابط السطحية ونسبة القياس التكافيء للمواد المتفاعلة الى تغيير معدلات الاختزال واتجاه نمو البلورات ايضا . مما يسمح تصنيع جسيمات نانوية مصنوعة من سبائك Au-Cu ذات احجام وتركيبات وتشكيلات مختلفة في خطوة واحدة [66].

Galvanic Replacement

(b-3-2) طريقة الاستبدال الكلفاني

في السنوات الاخيرة تطور تفاعل الاستبدال الكلفاني (GRR) كاستراتيجية فعالة لانتاج الجسيمات النانوية ثنائية المعدن بدلاة التصنيع المباشر لتكوين وتشكيل الجسيمات احادية المعدن واستخدامها كقوالب ويتم ذلك باضافة قاعدة معدنية اخرى ذات امكانية اختزال أعلى الى القوالب لتحل جزئيا محل ذرات المعدن الأصلية في القوالب مما ينتج عنه جزيئات ثنائية المعدن من خلال تغير مورفولوجيا القوالب وتركيب السلائف المعدنية وما الى ذلك فأن الجسيمات النانوية ثنائية

المعدن ذات الأشكال المعقدة التي يمكن أن تنتج مثل الانابيب النانوية الموجفة والاغلفة النانوية وبالتالي يمكن ان يخفف من الصعوبات الكامنة المرتبطة ب GRR باستخدام التصنيع المباشر للجسيمات ثنائية المعدن كسبائك الذهب والنحاس [68,67].

Seed-Mediated Growth

(c-3-2) طريقة النمو بواسطة البذور

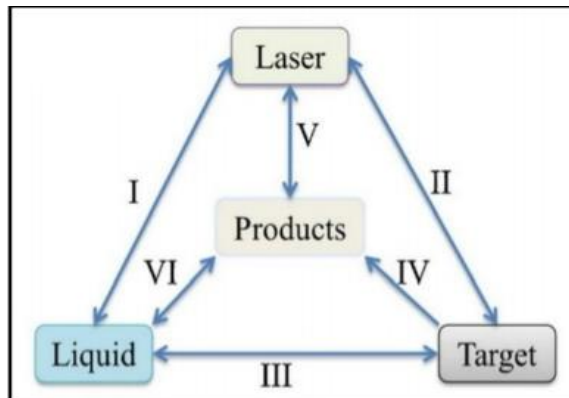
على الرغم من أن الاختزال المشترك يمكن أن يولد هياكل سبائك Au-Cu كمجموعة متنوعة من الاشكال فإنه لايزال من الصعب العثور على ظروف مشتركة للتحكم في تقليل سلائف كل من Au,Cu في وقت واحد لاختلافات في الخصائص الفيزيائية والكيميائية للسلائف مثل احتمال الاكسدة والبنية البلورية ونقطة الانصهار تسبب صعوبات متصلة اثناء تصنيع السبائك لذا تم تطوير نمو البذور واصبحت طريقة اكثر شيوعا لتوليد هياكل ذات اشكال معقدة يتم اولا تصنيع بلورة محددة جيدا مصنوعة من ذرات ال Cu , Au كموقع غير متجانسة لذرات Cu كبذرة ثم تعمل البذور الواردة لتلتئم بها [69]. يوفر هذا الترتيب التسلسلي امكانية تصنيع جسيمات نانوية من اشكال خاصة مثل تصنيع سبائك كروية معدنية مرتبة من Au-Cu [70] ، من بين الطرق التركيبية المذكورة أعلاه يعد الاختزال المشترك هو الاستراتيجية الاكثر مباشرة وتطورا لما ينتج عنها مجموعة كبيرة ومتنوعة من الجسيمات النانوية .

(d-3-2) طريقة الاستئصال بالليزر النبضي بالسائل

Pulse Laser Ablation in Liquid Tachnique (PLAL).

يعرف الاستئصال بالليزر بأنه طرد مواد من السطح تحت نبضات ليزر منخفضة وعالية الشدة (PLAL)، و توصف كفاءة العملية من خلال معدل الاستئصال والذي يعطي اكبر سمك للعينة يتم استئصالها اثناء التشيع بنبضة الليزر[71] . بالرغم من تكريس العديد من الدراسات النظرية و التجريبية لتقسيم الطواهر الفيزيائية التي تحدث اثناء تفاعل ليزر قصير النبضة الا ان بعض العمليات مثل تبريد الطاقة الممتصة في الشبكة لازال قيد البحث و في السنوات الاخيرة القليلة تم استخدام تقنية النبضة المزدوجة التي تتكون من تطبيق نبضتين ليزر متتاليتين متأخرتين بمرور الوقت ، لكي يتم الحصول على رؤية افضل وادق للخصائص الزمنية لاليات الاستئصال بالليزر [72, 73] . وباستخدام تقنية الاستئصال بالليزر يمكن استخدام مصادر ليزر مختلفة لتصنيع جسيمات نانوية NPS من الاشعة تحت الحمراء الى الاشعة فوق البنفسجية بينما تمتد امد النبضة من 10ns-10fs اثناء الاستئصال بالليزر في السوائل . تمر نبضة الليزر عبر الطبقة السائلة التي تكون شفافة بطول موجة الليزر وتذيب سطح الهدف وبهذا سوف تسخن الطبقة السائلة الراقية القريبة للسطح المصهور الى درجة حرارة عالية وتمدد فوق المصهور مما يؤدي الى طردها في

السائل المحيط . وكذلك تبقى المادة المذابة المتشتتة في المذيب مكونة غروانية من معلقات NPS عند استئصال الاجسام المعدنية ثم بعدها يمتص اشعاع الليزر بوساطة الالكترونات الحرقة التي تقوم بعد ذلك بنشر الطاقة في المادة كما قد تسبب النبضات العالية لطاقة الليزر الى تفاعلات ضوئية كيميائية تزيل الذرات من السطح [75,74]. وكما موضح في مخطط (2-2) لتحضير الجسيمات النانوية والعمليات التي تحدث بين معلمات الليزر واليات تكوين الجسيمات النانوية بتقنية الاستئصال بالليزر.



مخطط (2-2): I تفاعل الليزر مع السائل (III) استئصال نبضات الليزر من الهدف (III) تفاعل السائل الساخن مع الهدف (IV) توليد منتجات من الهدف (V) تفاعل منتجات من الهدف (VI) التفاعل بين النواتج السائلة [57].

يمكن أن يصل السطح المسخن إلى درجة حرارة قريبة من درجة الحرارة الحرجة وبسبب عملية التبخر السريعة ينتج عن التبخر البلازما التي تتكون من ذرات متباينة متاخرة من الممكن ان تمتلك سحابة البلازما ببعضها من طاقة الليزر الساقطة وبالتالي ستسمح لجزء بسيط من طاقة الليزر بالوصول الى السطح (التدريج بالبلازما) تتوسع البلازما ويتم تسخينها عن طريق امتصاص الفوتون في وقت لاحق يبرد البخار وتبدا جزيئات الهباء الجوي في التكوين وتنتشر بقية الطاقة في المادة عن طريق الحرارة اعتمادا على طاقة الليزر المطبقة [77,76].

ويحدث ذوبان السطح اللاحق بعد الاشارة الحرارية للاكترونات داخل الشبيكة في حالة استئصال المعدن بنبضات الليزر يكون وقت استرخاء الالكترون – فوتون في حدود مدة النبضة نفسها وبالتالي ذوبان وتمدد الذوبان في السائل المحيط عندما تكون نبضة الليزر قد انتهت بالفعل [49]، ومن أهم المميزات لاستخدام طريقة الاستئصال بالليزر النبضي في السوائل :

١. رخص الاجهزه وامكانية السيطرة على عملية الاستئصال .
٢. لاتحتاج الى غرفة مفرغة من الهواء (Vacuum Chamber).
٣. تسخين المادة الهدف باقل مايمكن وسهولة الحصول على الجسيمات النانوية من خطوة واحدة من دون معالجات حرارية .
٤. يمكن السيطرة على حجم وتجمع الجسيمات النانوية عن طريق اضافة مواد كيميائية.

٥. يمكن الحصول على محلول غروي عن طريق الجسيمات النانوية العالقة في الوسط السائل وهي طريقة خالية من عوامل الاختزال والتلوث .

وتتمثل تقنية الاستئصال بالليزر ببساطة الاجراء وعدم استخدام الكواشف الكيميائية في المحلول ويمكن معالجة جميع انواع المواد بالاستئصال لانه يمكن التحكم في حجم الجسيمات النانوية المنتجة من خلال تحسين معلمات العملية مثل وقت تشيعي الليزر ومرة النبضة وكثافة الطاقة وطول موجة الليزر[78].

Laser Ablation Mechanism

(4-2) آلية الاستئصال بالليزر

أن الاستئصال الليزري النبضي بالنano ثانية يتميز باليات حرارية ويمكن توضيح آلية الاستئصال كالتالي:

Heating and Fusion phase

(4-1) الحرارة الناجمة عن الليزر

عند تصويب شعاع الليزر نحو الهدف فان الجسيمات تمتص ضوء الليزر مما يرفع ويعمل على تحسين عمليات انتقال الطاقة المترافقه وان هذا التعاقب بانتقال الطاقة يؤدي الى تهيج الالكترونات وتفاعلها مع الشبكة البلورية مثل استرخاء الالكترون _ فوتون والتفاعل الحراري الحاصل بين فوتون _ فوتون بعد ذلك تحصل عدة عمليات ثرموديناميكية في الوسط مثل الانصهار والتباخر . يمكن لعدة عمليات حرارية أن تكون فعالة مثل الانصهار والتباخر في ضوء الليزر النبضي النانو ثانية تنتشر الحرارة بين جسيمات المعدن خلال فترات زمنية اقصر من امد النبضة[79] ، ويمكن معالجة ارتفاع الحرارة الذي سببها الليزر بواسطة الديناميكية الحرارية لذلك فان طاقة الليزر قد تكون غير كافية للتباخر المواد وانما تعمل على رفع درجة حرارة المادة من خلال عملية التوصيل الحراري التي تحصل داخل المادة[80] . ويختضع لتوزيع درجة الحرارة الى معادلة التوصيل الحراري الآتية [79] :

$$pC_p \frac{\partial T}{\partial t} = \nabla \cdot (K \nabla T) + (1 - R)I \propto e^{-\alpha z} \quad (1-2)$$

حيث ان :

(p) تمثل الكثافة (Kg/m^3)

(Cp) تمثل الحرارة النوعية (J/Kg.c^0)

(T) تمثل درجة الحرارة (c^0)

(K) معامل التوصيل الحراري ($\text{W/m}^2 \text{K}$)

(R): تمثل انعكاسية السطح

(I): تمثل شدة الليزر

α : تمثل معامل الامتصاص

.Z: تمثل عمق (الارتفاع) (m)

ويمثل الحد الثاني من الطرف اليمين من المعادلة (1-2) مصدر الليزر اي طاقة الليزر الممتص من قبل المواد.

Explosion Boiling

2-4-2) الغليان الانفجاري

عند تسلیط نبضة الليزر ذات كثافة طاقة عالية على سطح الهدف يحصل تغير جذري في الحجم وشكل الحفرة التي تكونت على سطح الهدف حيث تقايس نسبة الاستئصال من عمق الحفرة وهذا يحدث نتيجة تغير فجائي عند استخدام كثافة طاقة اكبر من القيمة الحرجة [81].

3-4-2) المادة المتاخرة وتكوين البلازما

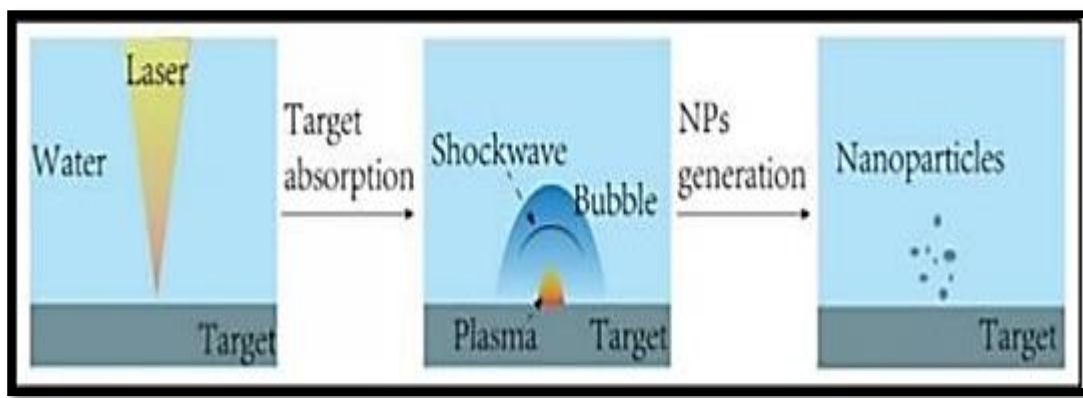
Evaporation and Plasma Formation

عند سقوط ضوء الليزر النبضي على المادة الهدف الموضوعة في الوسط السائل سوف يحصل تبخر حراري ويتم توليد البلازما والبخار عند تسلیط اشعاع الليزر على المنطقة البينية ما بين سطح المادة الهدف والسائل المغمور بواسطة حزمة الليزر وان مقدار الكتلة المتاخرة من سطح الهدف تتشكل سحابة بخار تتحرك باتجاه الاعلى من سطح المادة المستهدفة مع ارتفاع درجة الحرارة والضغط [32]. ويحدث ذلك بثلاث مناطق رئيسية : -

1-منطقة اللب الساخن (Hot core Region) هي منطقة قريبة من سطح المادة الهدف وتكون البلازما فيها اكتر كفاءة وحرارة وبسبب درجة الحرارة العالية تكون المادة غالبا في حالة تأين .

2- منطقة المنتصف (Mid Region) هي منطقة تعتبر الجار الأقرب لسطح الهدف وتحتوي على الأيونات والذرات المحايدة (المتعادلة).

3- المنطقة الخارجية الباردة (القشرة) (Cold Outer Region) هنا تكون البلازما بعيدة عن سطح الهدف وتكون باردة نسبياً وتحتوي على ذرات متعادلة وممكن ان تمتص الأشعة الصادرة من المنطقتين السابقتين وبعد ذلك يمكن ان تنتج موجة صدمة بسبب اتساع انفجار البلازما وتنقل من رأس سحابة البلازما وتنقل موجة الصدمة سريعاً اسرع من سرعة الصوت لأن غاز البلازما في حالة عدم الاتزان مع كثافة الأيونات [84, 46]. والشكل (2-3) يبين مراحل تكون البلازما وعملية طرد الجسيمات .



الشكل (2-3): مراحل تكوني البلازما المتولدة من نبضات الليزر [85].

Phase Solid Exfoliation

طور التقشير الصلب (4-4-2)

أن عملية التقشير هي احدى العمليات غير الحرارية التي تقوم بها آلية الاستئصال بالليزر النبضي في السائل كغيرها من العمليات الحرارية كالتبخير والغليان وتكوين البلازما اذا تكون هي التفاعلات السائدة والأكثر تأثيراً والتفاعلات الناتجة عن الفوتونات والتي تكون قوية بما يكفي لكسر الروابط بين الجزيئات والأيونات والأنكرونيات وهذا التأثير ينتج عنه أزالة المواد المتكسرة من حالتها الصلبة الناتجة عن تأثير الضوء الميكانيكي للتمدد الحراري العالي الناتج عن اجهاد الليزر هذا النوع من الأزالة كونه مهم بشكل خاص للمواد المقاومة للصهر والقابلة للكسر مثل الكرافيت والسلكون والمواد الزجاجية . عندما تكون مدة نبضة الليزر اقصر من الوقت المطلوب للتوازن الميكانيكي لحجم الامتصاص فان قيمة الليزر تصبح كبيرة تحت ظروف حبس الأجهاد [83] (Confinement Stress) .

Hydrodynamic sputtering Phase

5-4-2) طور الرش الهيدروديناميكي

هي احدى عمليات نزوح الجسيمات بصورة مباشرة من سطح الهدف [86]. يشير الرش الى قطرات يتم استخراجها من الهدف اما بسبب الانصهار وحركة السائل الناتج عن درجة الحرارة القصوى والضغط الناتج من الليزر أو بسبب عدم الاستقرار الهيدروديناميكي وتشمل تكوين الأعمدة ايضا واحد المسبيبات التي يسببها الرش الهيدروديناميكي هو التسخين الدورى وتبريد سطح الهدف وبشكل متكرر عندما يكون تدفق الليزر كافى لازابة سطح الهدف وبسبب التبريد والتسخين الدورى للسطح يؤدي الى نمو أضطرابات وبذلك ينتج هياكل سطحية تشبه الأصابع (Fingers).

Particles Spallation

6-4-2) تشظية (طرد) الجسيمات

تتميز تقنية الاستئصال بالليزر النبضي بأنها عملية حرارية تتطوّي على تبخير المواد وتكون البلازما ولهذا فإن التشظية عملية ميكانيكية وليس حرارية في طبيعتها [87]. تتكون جسيمات كبيرة بين السائل والهدف المعمور في السائل أن الأجهادات التي يتسبّب بها الليزر بتجاوز شدة الليزر للمادة الهدف فذلك يؤدي إلى حدوث تشظية للجسيمات يمكن حدوث تشظية للمادة الهدف عن طريق تبخير المادة من خلالها تحدث سحابة بخار للمادة الهدف والتي تمتد إلى المساحة المحيطة لمنطقة الاستئصال وتكون درجة الحرارة والضغط لسحابة البخار كبيرة في البداية ولذا فإن الضغط العالي يقوم بدفع الجسيمات إلى خارج محيط المنطقة المسخنة بواسطة الليزر [88].

Nucleation and Condensation

7-4-2) التنوّي والتكافّف

تنطّفيء المادة المتبقّرة عن طريق الليزر سريعاً وتنحصر ما بين درجات حرارة مرتفعة للغاية (5000K) إلى درجة حرارة الغرفة فالأمتداد المتعاقب للموجات فوق الصوتية والبصرية في البلازما تمتلك درجات حرارة مرتفعة وضغط مرتفع والذي يؤدي لتبريد منطقة عمود البلازما وبذلك تكون العناقيد نتيجة التبريد الحاصل في السائل وبזמן (10-9ns) والذي يسمح بتكون النباء الجوي وهي المدة الأقصى بكثير من تكوين السحابة ان من العوامل المؤثرة لعملية التكثيف في هذه الآلية هي (الضغط المحيط وخصائص الغاز ودرجة الحرارة) [89]. وهناك عدة أنواع من الايونات والاكترونات لعملية التنوّي الناتج من الايونات لعملية الاستئصال لذلك فإن الجسيمات الناشئة من الاستئصال بالليزر تكون حاملة شحنة كهربائية من الصعب حتى الان التنبؤ بأحجام توزيع الجسيمات النانوية الناشئة بسبب نمو وتنوّي المواد المتبقّرة بالليزر [90].

Clumping (growth) coagulation

8-4-2) التكتل (النمو) التخثر

هناك عدة اليات لتكوين الجسيمات النانوية ولكنها قد تغير توزيع حجم الجسيمات او اجمالي تركيزات الجسيمات ويمكن ان تحدث هذه العمليات مثل التكتل من عدة نانو ثانية الى اجزاء من الثانية بعد نبضة الليزر وان من اهم هذه العمليات هي التكتل والتخثر والتي عادة ما تزيد من حجم الجسيمات النهائي تتصادم الجسيمات بعد تشكيلها من الاستئصال بالليزر مع بعضها البعض في السائل واذا كان الزخم كبير بدرجة كافية اوان الطور السائل كافي فتجمع الجسيمات لتشكل جسيمات كبيرة (حببيات) وتسمى هذه العملية التخثر وتحدث في مرحلة لاحقة كما تشكل التكتلات بمجرد التكتيف عندما يتشكل الهباء الجوي بحجم النانو من البخار ويتم شحنها بقوة الالكترونات الموجودة في البلازما ثم تلتقط الجسيمات المشحونة مع بعضها البعض بواسطة الرابطة الالكترونية ويمكن التعرف على التكتلات من خلال تكتلها الشبيكي [92,91] .

5-2) معلمات طريقة التشتت بنبضات الليزر في السائل

Parameters of pulse laser ablation in solution technique (PLAL).

من بين العوامل التي يمكن ان تؤثر بشكل عام على حجم وتركيب الجسيمات النانوية التي تنتجها تقنية الاستئصال بالليزر النبضي وهي معلمات الليزر [97] :-

Laser parameters

5-2) معلمات الليزر

من بين معلمات الليزر التي يمكن التحكم فيها لزيادة كفاءة الاستئصال هي عرض النبضة والطول الموجي ومعدل التكرار ومدة النبضة وطاقة الليزر تؤثر على اليات التنقية والنمو والتكتل وبالتالي تؤثر هذه المعلمات على خصائص الجسيمات النانوية [94], كل هذه المعلمات تحدد درجة الحرارة والتوزيع الزاوي للذرات والجسيمات المقدوفة والكثافة [95] .

Pulse Width

1-عرض النبضة

تؤثر على النقل الحراري في المادة . الاستئصال بالليزر ذو النبضة القصيرة له منطقة متأثرة حراريا اصغر عندما يتم تقليل المناطق المتأثرة بالحرارة ويعزى ذلك الى قمع الانبعاث الحراري الناتج عن قصر مدة النبضة [46].

Laser Wave Length

2-الطول الموجي للليزر

أن اختيار الطول الموجي للليزر له أثر مهم في عملية الاستئصال أذ يضمن اختيار الطول الموجي مع الحد الأدنى لعمق الامتصاص ترسيباً عالياً للطاقة في الحجم الصغير من أجل

الاستئصال السريع أذ يؤثر على كفاءة الاستئصال، لأنه مرتبط بكافأة امتصاص شعاع الليزر بواسطة سطح الاهداف المعدنية وبطاقة الفوتون الخاصة به.

Repetition Rate

3- معدل تكرار النبضة

اذا كان المعدل منخفض جدا فان كل الطاقة التي لم يتم استخدامها للاستئصال ستترك منطقة الاستئصال مما يسمح بالتبديد اذا كان بالامكان الاحتفاظ بالحرارة المتبقية باستخدام معدل التكرار العالي وبالتالي الحد من وقت التوصيل ويكون الاستئصال اكثر جودة وكفاءة وبذلك يذهب المزيد من الطاقة نحو الاستئصال وسيخسر القليل في مواد العمل والبيئة المحيطة يشير هنا الى ان حجم الجسيمات النانوية يتناقص مع زيادة عدد النبضات قد يكون ذلك مرتبط بالامتصاص الذاتي لضوء الليزر الذي توفره الجسيمات النانوية [96].

Ablation Energy

4- طاقة الاستئصال

هناك عدة طرق مختلفة يمكن من خلالها تكوين الجسيمات النانوية بفضل طاقة الليزر المنبعثة من شعاع الليزر النبضي. نظراً لأن الجسيمات النانوية الموجودة تمتص طاقة أقل وأن الجزيئات السائلة تعمل كوسيل تفاعلي لتشكيل الجسيمات النانوية فإن الظروف الديناميكية الحرارية لنموها تتحسن [96]. عندما تزداد طاقة الليزر يتمتص السائل المزيد من الطاقة في طريقه إلى الهدف مما يؤدي إلى تحويل عملية الإزالة من الاستئصال المباشر بالليزر إلى الرش التفاعلي. تنتقل مستويات عالية من الطاقة إلى الهدف حيث يتمدد ثم ينها [54]. يستمر متعدد حجم وتركيز الجسيمات النانوية المنتجة في الزيادة ويبداً شكلها في اتخاذ شكل كروي حيث تزداد طاقة الليزر فوق كمية معينة. في النهاية تتجذب الجسيمات النانوية للمحلول إلى الركام الناتج وتتوسع الجسيمات النانوية للمحلول نتيجة لذلك. بالنظر إلى أن الطاقة الداخلية للجسيمات النانوية المشعة ترتفع مع ارتفاع طاقة الليزر يجب أن يرتفع معدل التجزئة أيضاً. على الجانب الآخر تعمل الكثافة العالية للقطع الصغيرة على تسريع عملية التجميع. بمجرد إيقاف تشغيل الليزر يتوقف التجزئة ويمكن أن يستمر التجميع فقط حتى يتم استخدام جميع المواد الخام والأجزاء المكونة لها. يتفكك كل جسيم نانوي بوتيرة أسرع مع زيادة قطرها لأن معامل الامتصاص لكل ذرة ينخفض مع زيادة الحجم [97].

Number of pulses

5- عدد النبضات

أن الية الاستئصال بالليزر تزداد كلما تضرب نبضات الليزر المنطقة على سطح الهدف ويحصل للجسيمات توزيع على نطاق واسع لذلك عند تفاعل نبض الليزر مع سطح المادة المستهدفة يتم إعادة ترتيب مورفولوجيا السطح بسبب ازالة المواد وتكوين تغيرات سطحية جديدة وذلك لسبب

تفاعلها مع الجزيئات السائلة وان التغيرات تنتج تعقيداً في امتصاص الطاقة و يجعلها غير متجانسة عند منطقة تفاعل الاشعاع بالكامل ويحدث هذا عند كل نبضة [98].

(6-2) الدقائق النانوية في المحاليل

Liquid-suspended nanoparticles

تكون الجسيمات الناتجة عن السائل باستخدام تقنية (PLAL) والشظايا التي تم طردها من الهدف في شكل محلول غرواني (Nano-Suspension) [99]. يمكن تصنيفها إلى

Colloids

1-6-2) الغرويات

الغروانية مادة مبعثرة في المحاليل المائية أو العضوية. الغرويات لها حجم حبيبات أقل من الميكرو ($1\mu\text{m}-1\text{nm}$) وغير قابلة للذوبان في السوائل العضوية أو غير العضوية يمكن اكتشاف الجسيمات الغروانية عن طريق تشتت الضوء [98,46]. وهذه الجسيمات في حالة حركة عشوائية ناتجة من تصادمها مع جزيئات المذيبات والتي هي نفسها في حالة حركة يتم الاحتفاظ بالجسيمات في حالة تعليق بواسطة قوى كهروستاتيكية متناظرة فيما بينها ويمكن ان يؤدي ذلك بالنهائية الى تشكيل رواسب في قاع المذيب [97].

Nano-solutions

2) المحاليل النانوية

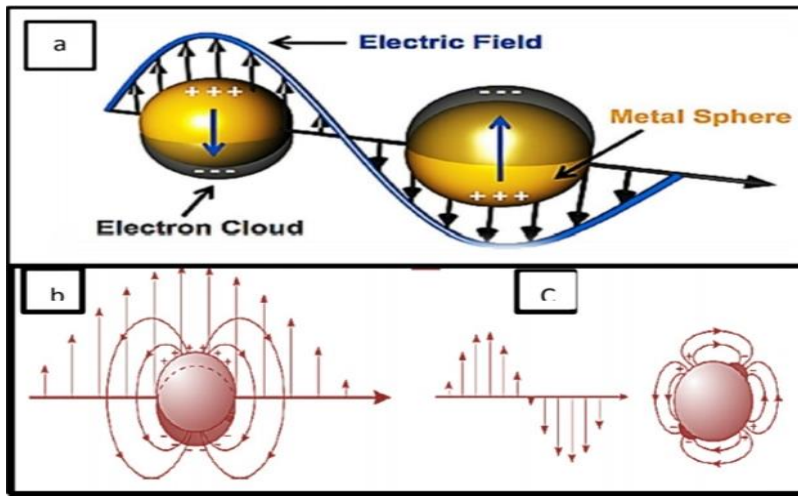
بعد الانتهاء من عملية الاجتثاث بالليزر للهدف الصلب باستخدام تقنية الاجتثاث بالليزر وتكوين الجسيمات النانوية في السائل ثم تتشكل العوالق النانوية في الوسط السائل. العوالق النانوية [93]. تمتلك الجسيمات النانوية قوة سطحية تمنع الجسيمات من التكثل معاً في قاع السائل أو تطفو على سطح السائل [92]، لها خصائص حرارية وصفات بصرية وخواص ميكانيكية وخواص كهربائية وخصائص مغناطيسية يعتمد معظمها على حجم وشكل الجسم [87]. يعتمد التركيب الكيميائي وخصائص النقل والتشكل (الشكل والحجم) للجسيمات النانوية العضوية على الخصائص البصرية للجسيمات النانوية [89].

Surface Plasmon Resonance

7-2) رنين البلازمون السطحي

البلازمون (Plasmon) هو شبه جسيم ناتج عن تكميم التذبذب البلازمي مثل الفوتون الناتج عن تكميم الضوء والاهتزازات الميكانيكية على التوالي اي ان التذبذبات الجماعية لكتافة الغاز الالكتروني الحر يمثل البلازمونات [94,98]. البلازما (Plasma) عرفت لأول مرة في عام 1929 من قبل العالم أرفنک لانجمور (Irving Langmuir) ورسم صورة الصفات الكهربائية التي لوحظت في البلازما ومن بعدها انشئت مايسمي (فيزياء البلازما الغازية) والبلازما هي تعتبر وسط غازي ذو تراكيز متساوية للشحنات السالبة والموجبة. ولاسيما ان هذه الشحنات تكون اقل

حركة في المادة الصلبة وتكون الكترونات التوصيل (الشحنات السالبة) متعادلة مع الايونات (الشحنات الموجبة). تهيج الغاز الالكتروني وتذبذب لهذه الالكترونات يدعى بتذبذب البلازما، ونشوء هذه الصفة يعود لترتيب قوى كولوم على أن الموجات الكهرومغناطيسية لها تردد معين وتقع على جسيمات نانوية كروية بقطر أصغر بكثير من الطول الموجي للضوء المستخدم (R) (λ) <> لأنه يحفز التذبذب المحلي المتماسك للإلكترونات حول الجسيمات النانوية حوالي بضعة نانومتر وأن عمق اختراق الموجات الكهرومغناطيسية في المعدن حوالي (30nm) [97]. الضوء الساقط قادر على الانتشار عبر الجسيمات النانوية لذلك فإن المجال الكهربائي الذي ينتشر داخل الجسيمات النانوية يدفع إلكترونات حزمة التوصيل بشكل جماعي نحو أيونات الموجة في الشبكة الثابتة وتجذبها بالأيونات الشبكية على الجانب الآخر والتي تعمل على ظهور قوة الاستعادة وأن تردد الرنين يتم تحديده أساساً بواسطة قوة الاستعادة وتعتمد هذه القوة على فصل الشحنات عن السطح مثل أبعاد الجسيمات والاستقطاب المتوسط بين الشحنات وحولها وبالتالي التردد والشدة الامتصاص وعرض النطاق الترددي وتشتت (SPR) يعتمد على الموجة الساقطة والحجم والشكل الجسيمات النانوية ونوع المعدن [100]. يتحلل الضوء شعاعياً عن طريق إشعاع طاقته مما يؤدي إلى تشتت الضوء أو يتحلل غير إشعاعي بسبب تحول الضوء الممتص إلى حرارة عندما يقتصر الفوتون على حجم صغير في البنية النانوية مما يؤدي إلى تكوين مجال كهربائي حول الجسيمات النانوية وبالتالي تذبذب رنين البلازمون السطحي. ناتج عن تهيج الالكترونات. ويحدث الرنين عند التردد المرئي للمعادن مثل الذهب، مما يجعل من الممكن تحقيق خصائص بصيرية فريدة من خلال التذبذب الذي يصدر موجات كهرومغناطيسية. تتناثر بعض الفوتونات مما يعني أنها ستتبع على نفس التردد ولكن في اتجاهات مختلفة. ستصبح بعض الفوتونات أيضاً فوتونات أو اهتزازات أخرى في نفس الوقت. من المتوقع أن ذروة SPR للجسيمات النانوية المعدنية ستشمل مكونات الامتصاص والتشتت وهذا ما تشير إليه الشبكة وهذه العملية. تظهر البلازمونات الجسيمية بين مجموعة من إلكترونات التوصيل المتحرك بشكل متزامن في الشكل (4-2-b) والذي يظهر فقط التذبذبات من النوع ثنائي القطب التي يتم إنشاؤها. في هذه الخطوة كما هو موضح في الشكل (4-2-c) ولطيف رنين البلازمون السطحي ذروة واحدة وضيقة نتيجة الارتفاع الناتج في حجم الجسيمات ومجالها. لذلك ، سيظهر مقياس الطيف العديد من القمم [101].



الشكل (4-2): (a) تفاعل الجسيمات النانوية المعدنية مع الضوء (b) شدة جسيم ثانوي القطب (c) الأشعاع الرباعي للجسيمات النانوية. [101]

Structural properties

8-2) الخصائص التركيبية

1-8-2) المجهر الإلكتروني النافذ

Transmission Electron Microscopy (TEM)

هو تقنية مجهرية تستغل التفاعل بين حزمة الكترونية ذات كثافة تيار موحدة (اي طاقات عادة ماتكون في نطاق 150-200kv) وعينة رقيقة عندما تصل شعاع الالكترون الى العينة، ينتقل جزء من الالكترونات، بينما الباقي يكون مبعثر بشكل مرن أو غير مرن. يعتمد حجم التفاعل على عدة عوامل مثل الحجم وكثافة العينة والتوكين الاولى الصورة النهائية يتم بناؤها بالمعلومات التي تم الحصول عليها من الالكترونات المرسلة وهي تقنية شائعة لتحليل حجم وشكل الجسيمات النانوية لأنها لا توفر فقط صور مباشرة للعينة ولكن أيضا التقدير الأكثر دقة لتجانس الجسيمات النانوية وتتميز اجهزة TEM ذات الفولتية العالية High Voltage TEM بميزة الاختراق الكبير للالكترونات Greater Electron Penetration لأن الالكترونات ذات الطاقة العالية تتفاعل بشدة أقل مع المادة مقارنة مع الالكترونات ذات الطاقة المنخفضة لذا يمكن التعامل مع العينات ذات السمك الكبير Thicker Samples. كما يمكن ان

نوضح آلية عمل المجهر كالتالي:-

- المدفع الإلكتروني هو مصدر الالكترونات الذي يكون في أعلى الجهاز أذ يتكون من فتيلة يتم توصيلها بفرق جهد عالي يتراوح بين (100Kv-300Kv) كي يولد تيارا كافيا حتى يعطي انبعاثا الكترونيا اما بطريقة الانبعاث الحراري أو بطريقة الانبعاث بوساطة المجال الكهربائي.

- 2- تقوم عدسات المكثف بتركيز شعاع الالكترونات على العينات.
- 3- يتم تقييد الشعاع عن طريق فتحة المكثف التي تقوم بخروج الالكترونات بزاوية عالية.
- 4 - بالاعتماد على كثافة المادة الموجودة فإن بعض الالكترونات تكون مبعثرة عندما يصطدم شعاع الالكترون بالعينة وتخفي البعض من الالكترونات من الحزمة ويتم ارسال جزء منها ويركز هذا الجزء المنقول بواسطة العدسة الشيئية على الصورة وبذلك يتم تمرير الصورة اسفل العمود من خلال العدسات المتوسطة وعدسات الاسقاط projector lenses [102]. والشكل (2-5) تمثل صورة للمجهر الالكتروني النافذ الالكترونيات غير المبعثرة تضرب على شاشة فسفورية ويتم انتاج الضوء مما يتاح للمستخدم رؤية صورة ظل للعينة .



الشكل (2-5): المجهر الالكتروني النافذ TEM [2]

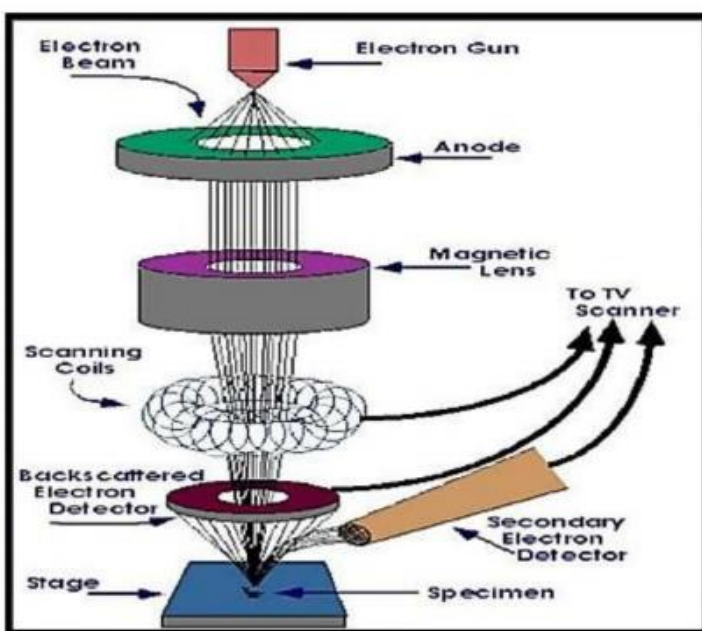
2-8-2) المجهر الالكتروني الماسح للمجال

Field Emission Scanning Electron Microscopy (FESEM)

أحدى أكثر التقنيات شيوعاً المستخدمة في تشخيص التراكيب النانوية Nanostructures والمواد النانوية Nanomaterial والحصول على الخصائص الطبوغرافية (تضاريس او مورفولوجيا السطح) والكشف عن موقع العيوب وكذلك معرفة كثافة وشكل الجسيمات يعمل الجهاز على تحريز الالكترونات من المصدر وتعجل في المجال الكهربائي بشكل متدرج داخل أنبوبة التفريغ العالية وتتراوح بين (10^{-10} - 10^4 Toor) وأن هذه الحزمة من الالكترونات المعجلة تمتلك مجموعة من الطاقات وتسمى هذه بالالكترونات الاولية وترتكز على مساعدة العدسة

الكهربومغناطيسية لانتاج شعاع المسح الضوئي الذي يعمل على قصف الجسم . أذ يتم الكشف عنها بأصدار الاشارة الالكترونية وأن الاشارة التي يتم الحصول عليها تعطي معلومات عن تضاريس سطح العينة معظم الالكترونات يحدث لها استطاره مرنة مع مجال النواة والبعض الآخر يحدث له استطاره غير مرنة مع ذرات الهدف لتعطي الكترونات لولبية (ثانوية) [103,104]. تستخدم الالكترونات الثانوية التي يكتشفها الكاشف كل موضع لحزمة الالكترون الساقط لانشاء صورة ويتم تضخيم الاشارة وتحليلها لتكون صورة متزامنة على انبوبة الكاثود وبالتالي يتم استخدام الكاميرا لالتقط الصورة نحدد حجم البقعة وحزمة التيار بدقة وعمق الصورة على التوالي ويتم التفاعل الالكترونات مع العينة من بضع نانومترات الى بضع مايكرومترات من سطح العينة بالاعتماد على معلمات الاشعة ونوع العينة والشكل (2-6) يوضح رسم تخطيطي لجهاز المجهر الالكتروني الماسح الباعث للمجال ومن مميزات هذا الجهاز:-

- 1- الصور المتكونة اكثر وضوحا وأقل تشوها ودقة عالية مقارنة بجهاز (SEM) ويمتلك قدرة تحليل عالية وكذلك قدرة تكبير تتجاوز قدرة تكبير المجهر الماسح الالكتروني بأكثر من (3-6) مرات .
- 2- يقلل من احتراق الالكترونات ذات الطاقة الحركية المنخفضة وبالتالي يحد من احتراق سطح المواد .
- 3- نحصل على صورة تكون ذات جودة عالية وجهد منخفض للعينات.



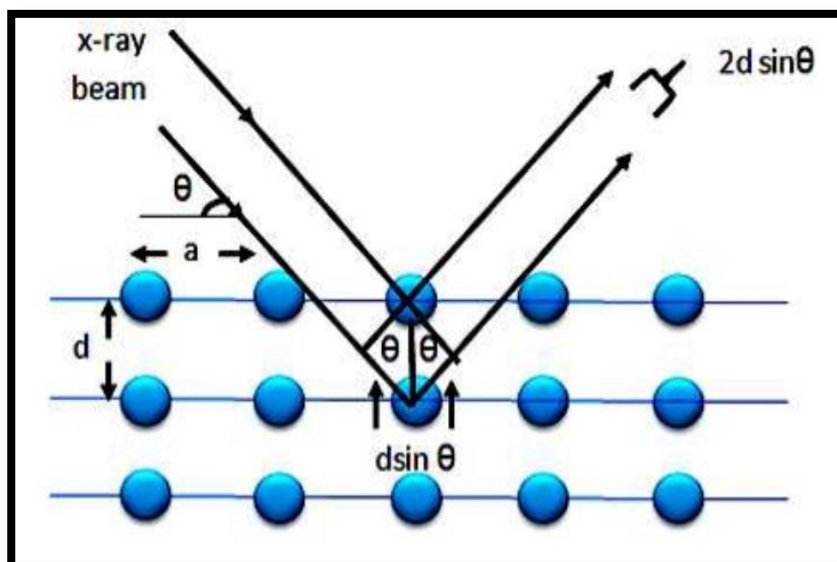
الشكل (2-6): رسم تخطيطي لجهاز المجال الالكتروني الماسح [104].

Energy –dispersive X-ray spectroscopy**(3-8-2) مطيافية تشتت الطاقة**

EDX هي تقنية التحليل الطيفي بالأشعة السينية المستخدمة لفحص العناصر لتحديد الخصائص الكيميائية للعينة. وهذا يكشف التكوين. والتركيب الذري لكل عنصر فريد من نوعه. ولديها قم الأشعة السينية. يجب تحفيز الذرات لإنتاج حزم مميزة للمادة. المدارات الذرية يشغل فراغ إلكتروني أعلى المدارات الذرية مما يسبب تهيجاً وعدم استقرار. عندما تنتقل الإلكترونات من المدارات العلوية إلى المدارات السفلية فإنها تصدر أشعة سينية ذات طاقة تتناسب مع فرق الطاقة بين المدارات. و هذا الاختلاف في الطاقة فريد لكل عنصر المواد الكيميائية [105].

X-ray Diffraction Technique**(4-8-2) تقنية حيود الأشعة السينية**

الأشعة السينية هي نوع من الموجات الكهرومغناطيسية ذات الطول الموجي بين الأشعة فوق البنفسجية وهي من التقنيات التحليلية غير الاتلافية التي تعمل على اعطاء معلومات حول البنية البلورية لتركيب المواد. عند اسقاط الأشعة على سلسلة من الذرات والتي تكون على بعد منتظم في أغلب الأحيان ستتعانى فوتونات هذه الأشعة انحراف عن الاتجاه الاصلي كما في الشكل (8-2) عندما تفقد فوتونات الأشعة السينية جزءاً من طاقتها الحركية ويمكن حساب المسافة البنية (d) بين المستويات في الشبكة من زاوية الحيود عند قمة معينة باستخدام قانون براك (Bragg's Law) كما في المعادلة (2-2) [106]، وقانون براك مبني على اساس الفرق في المسار بين الشعاعين يساوي مضاعفات الطول الموجي ويبيّن الشكل (7-2) الانعكاس الذي يحدث نتيجة سقوط الأشعة السينية على البلورة [107].



الشكل (7-2): حيود الأشعة السينية [107].

$$2d \sin\Theta = n\lambda \quad (2-2)$$

(λ): يمثل الطول الموجي للاشعة السينية الساقطة (nm).
وبوجود شرط براك

$$\lambda \geq 2d \quad (3-2)$$

يتتحقق انعكاس براك ويتم حساب الحجم البلوري (D) Crystallite Size باستخدام معادلة شرر (Scherrer Relation) كما هي موضحة في هذه المعادلة [108].

$$D=0.9\lambda/\beta \cos\Theta \quad (4-2)$$

حيث أن :-

. (D): الحجم البلوري (nm).

. λ: الطول الموجي للاشعة السينية الساقطة (1.54056 Å).

. 0.9 : عامل الشكل وهو يعتمد على شكل المادة وتنترواح قيمته بين (0.9-1).

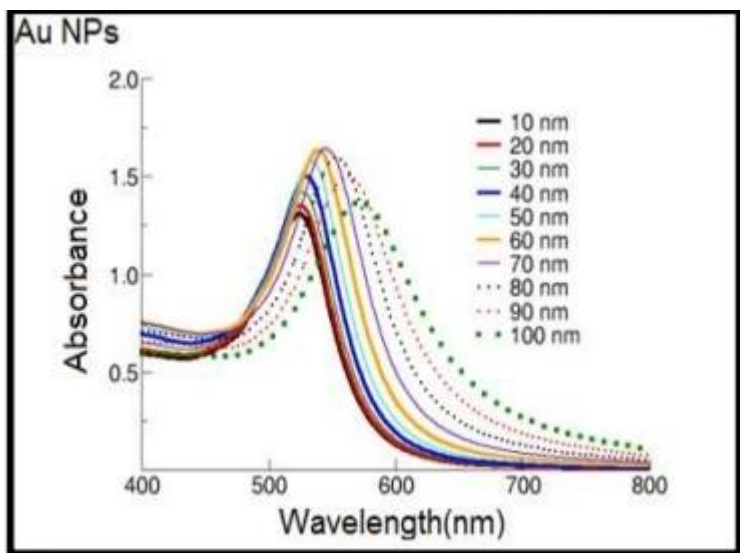
. β: عرض المنحني عند منتصف القمة (FWHM) يقاس بوحدات (rad).

. Θ: زاوية حيود براك.

Optical properties

9-2) الخصائص البصرية

يعتمد التحفيز الضوئي على البصريات. اذ تم استخدام هذا النهج لإثبات العمليات البصرية الأساسية من خلال الكشف عن انعكاس وامتصاص الجسيمات النانوية [109]. و يؤثر حجم وشكل الجسيمات النانوية والامتصاص الكبير لرنين البلازمون في النطاق المرئي و فوق البنفسجي من الطيف الكهرومغناطيسي على الخصائص البصرية للمعادن مثل اللون. يوضح الشكل (8-2) الأطوال الموجية الأطول لـ (Au NPs) الانزياح الأحمر.



الشكل (8-2): اطيف الامتصاص لجسيمات الذهب النانوية [110].

1-9-2) التحليل الطيفي للأشعة فوق البنفسجية – المرئية

Ultra- Visible Spectroscop

تقنية التحلل الطيفي للأشعة فوق البنفسجية المرئية (UV-Vis) شائعة جداً نظراً لتنوع الأغراض والقدرة على الإحساس عن قرب بكل جزيء حيث يمر (UV-Vis) عبر عينة محددة وكذلك يتم تسجيل نفاذية الضوء من خلال العينة عندما يضرب الفوتون الجزيء ثم يمتصه الجزيء بعد ذلك يتهيج الجزيء إلى مرحلة أعلى بسبب الطاقة الممتص ثم يتم وضع محلول في (Cuvette) زجاجي أو الكوارتز وتحليله باستخدام مطياف (UV-Vis) لتحليل الحالة الصلبة حيث يتم وضع بلورات العينة بين شريحتين زجاجيتين ويتم جمع طيف الامتصاص من خلال الانعكاس المنتشر حيث يرسل الكاشف المعلومات إلى جهاز الكمبيوتر يعرض حزم الامتصاص يمتلك الضوء المرئي – فوق البنفسجي طاقة تكفي لاثارة الأלקترونات إلى حالة الكترونية أخرى ذات طاقة أعلى، من حزمة التكافؤ (VB) إلى حزمة التوصيل (Conduction Band C.B) وهذا يسمى فرق الطاقة بين V.B و C.B، فجوة حزمة الطاقة وتتراوح منطقة الأشعة فوق البنفسجية من (400-700nm) بينما تتراوح المنطقة المرئية بين (98-100nm)، ويمكن اشتقاق امتصاص العينة من بيانات النفاذية حسب قانون لامبرت .[111]

$$T = I/I_0 \quad (5-2)$$

$$A = \log(I_0/I) \quad (6-2)$$

أذ أن

T: الغاذية

I_T : شدة الضوء النافذ

I_0 : شدة الضوء الساقط

A: الامتصاصية

2-9-2) مطيافية الامتصاص الذري

Atomic Absorption Spectroscopy (AAS)

لقياس تركيز الجسيمات النانوية يتم عن طريق هذه التقنية من خلال قراءة الطيف المتولد عند أثارة العينة بالأشعاع تمتص الذرات الأشعة فوق البنفسجية أو الضوء المرئي وتنقل إلى مستويات طاقة أعلى حيث يتم ذلك من خلال قياس الطاقة على شكل فوتونات تمتصها العينة يقيس الكاشف الطول الموجي للضوء الذي تنقله العينة ويقارنها مع الطول الموجي الذي مر في الأصل عبر العينة يقوم معالج الاشارة بعدها بدمج كل التغيرات في أطوال موجات الامتصاص والتي تظهر عند ذروة الامتصاص للطاقة في اطوال موجية منفصلة في القراءات أن الطاقة اللازمة لترك الإلكترون من الذرة طاقة التأين وهي خاصة بكل عنصر كيميائي يحسب التركيز على اساس قانون بير لامبرت الامتصاصية تتناسب طرديا مع تركيز المادة التحليلية الممتصة [112].

3-9-2) تشتت الضوء الديناميكي وجهد زيتا

Dynamic Light Scattering (DLS) and Zeta potential

وهي تقنية قياس ثابتة ودقيقة لتوصيف أحجام الجسيمات في المعلقات والمستحلبات ويعتمد على الحركة العشوائية للجسيمات و معروفة بما يسمى تشتت الضوء شبه المرن – (quasi elastic lightscattering (QELS)) [113]، و يمكن من خلال قياس DLS الحصول على بيانات مفصلة وقابلة للاستخدام دون الحاجة إلى خبرة كبيرة وبسبب صغر حجم العينات التي تصل إلى بضعة مايكرومتر فقط جعل هذه التقنية جذابة لباحثات المرحلة المبكرة وكذلك يعد قياس DLS جيدا بشكل اساسي لحجم الجسيمات عبر نطاق ($0.1\text{nm}-10\mu\text{m}$) تقريبا يحدث التشتت المتعدد للضوء عندما يتشتت الضوء من جسيم واحد بوساطة آخر قبل الوصول إلى الكاشف وهذا يضر بالحساب الدقيق لحجم الجسيمات في عينات اكثر تركيزاً أن اختيار المثبت يعد عاملاً مهمـاً

اذا يعد المشتت ذا اللزوجة العالية الاكبر من 0.1 ملي باسكال تمنع القياس المضبوط لأنه يمكن أن يتداخل امتصاص الضوء بواسطة التشتت مع عملية الكشف كما ان لقياس DLS ميزات مهمة في التركيب البصري منها الليزر ودرجة الحرارة اذا كلما كانت درجة الحرارة عالية زادت سرعة الجسيمات وكما ان اللزوجة العالية تؤثر سلبا في القياس اذا تسبب في ابطاء حركة الجسيمات وكذلك الحجم الجسيمات كلما كان كبيرا كانت حركة الجسيمات بطيئة ويمكن من خلاله قياس حجم الجسيمات لمجموعة متنوعة من العينات وكذلك حساب الوزن الجزيئي وجهد زيتا [114]. والشكل (9-2) يوضح آلية حدوث تشتت الضوء الديناميكي (DLS). سبب حركات العينة غير عشوائية تمنع تحليلاً أدق للحجم ويتم تحديد سرعة الحركة البروافية بواسطة معامل الانتشار الانفعالي (D) ويمكن تحويله الى حجم جسيم باستخدام معادلة (7-2) [115] (Stokes –Einstein).

$$D_h = K_B T / 3\eta \pi D_t \quad (7-2)$$

حيث ان :

D_h : القطر المهيمن ديناميكي

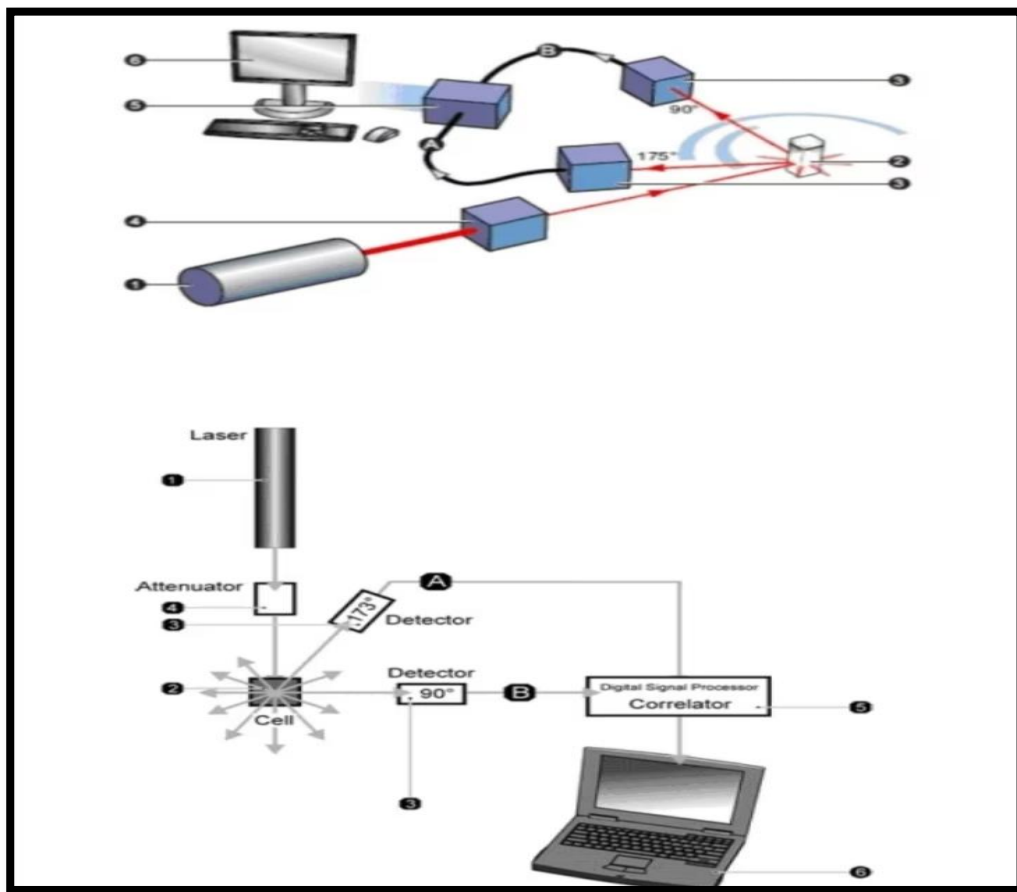
K_B : ثابت بولتزمان (J/K) ($1.38 * 10^{-23}$)

T : درجة الحرارة المطلقة (K) ،

η : لزوجة المذيب ($N \cdot s \cdot m^2$) ،

D : معامل الانتشار (m^2/s) .

جهد زيتا هو الشحنة التي تنشأ عند السطح البيني بين السطح الصلب ووسطه السائل وقد تنشأ هذه الامكانية التي تقادس بال ملي فولت بآليات عديدة من بينها تفكك المجموعات الايونية للجسيمات والامتصاص التقاضي لایونات محلول في منطقة السطح تؤثر الشحنة الصافية على سطح الجسيم على توزيع الايونات في المنطقة المجاورة مما يزيد من تركيز اعداد الجسيمات من السطح وبالتالي يتم تكوين طبقة كهربائية مزدوجة في منطقة واجهة الجسيمات السائلة جهد زيتا هو القيمة الموجدة على سطح القص في المجال الكهربائي حيث يتحرك كل جسيم وايوناته الاكثر ارتباطا عبر محلول لوحده وتعرف الامكانات الموجدة على سطح القص بين هذه الوحدة والوسط المحيط بجهد زيتا عندما يتم امتصاص طبقة من الجسيمات الكبيرة من سطح المادة يعتبر جهد زيتا هو دالة لشحنة السطح واي طبقة ممتصلة في الواجهة وطبيعة تكوين الوسط المعلقة فيه الجسيمات ولانها تعكس الشحنة الفعالة عن الجسيمات وبالتالي فهي مرتبطة بالتناقض الكهروستاتيكي بينها، فقد ثبت أن جهد زيتا وثيق الصلة بالدراسة العملية والتحكم في استقرار الغروية وعمليات التثبيت [116].



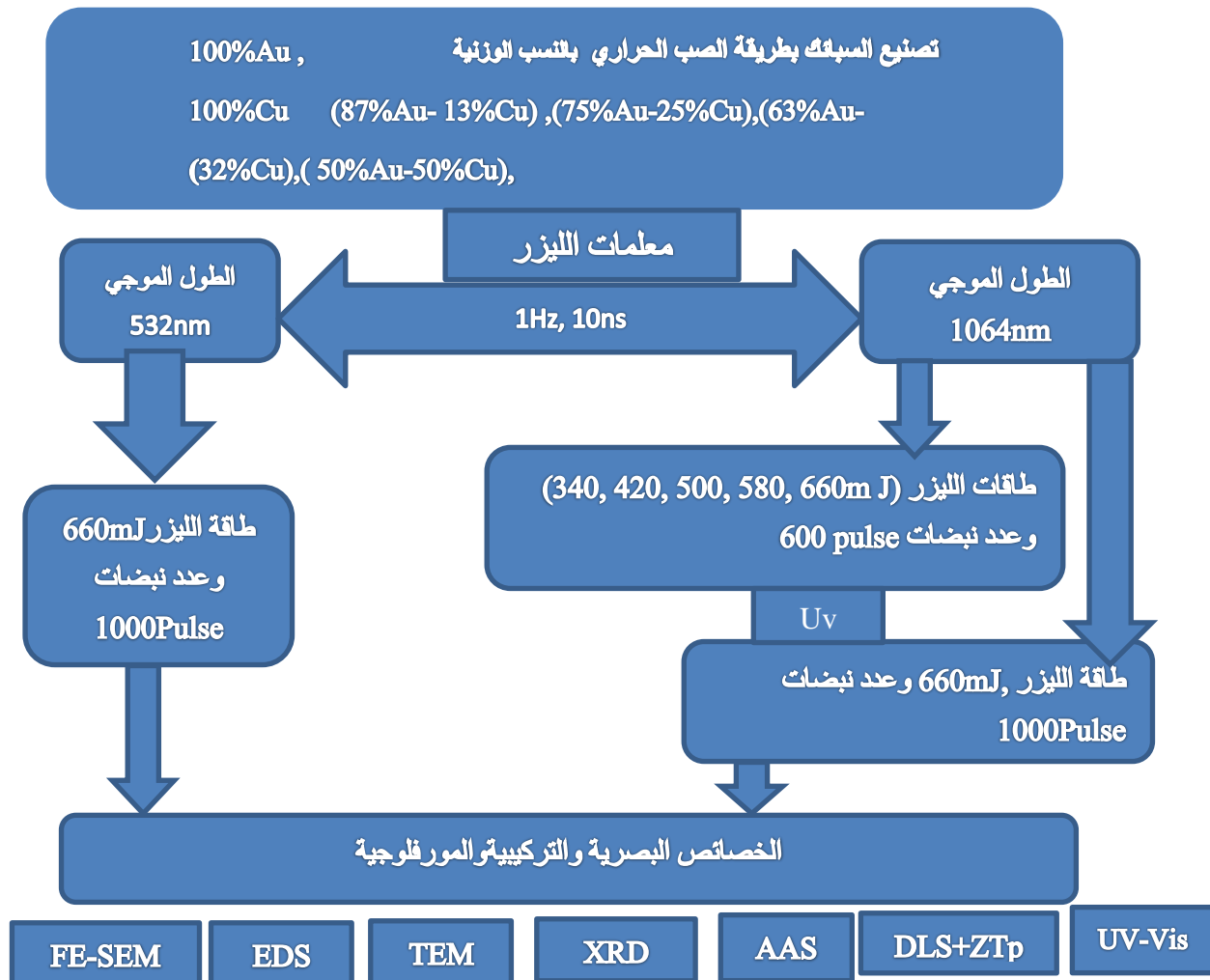
الشكل (9-2): مخطط توضيحي لتشتت الضوء الديناميكي (DLS) حيث يبين العناصر الرئيسية للنظام هي (1) الليز ، (2) خلية القياس ، (3) الكاشف ، (4) المراقب ، (5) الحاسوب معالجة البيانات ، ويمكن وضع الكاشفات اما بزاوية 90° او بزاوية اوسع [117]

الفصل الثالث

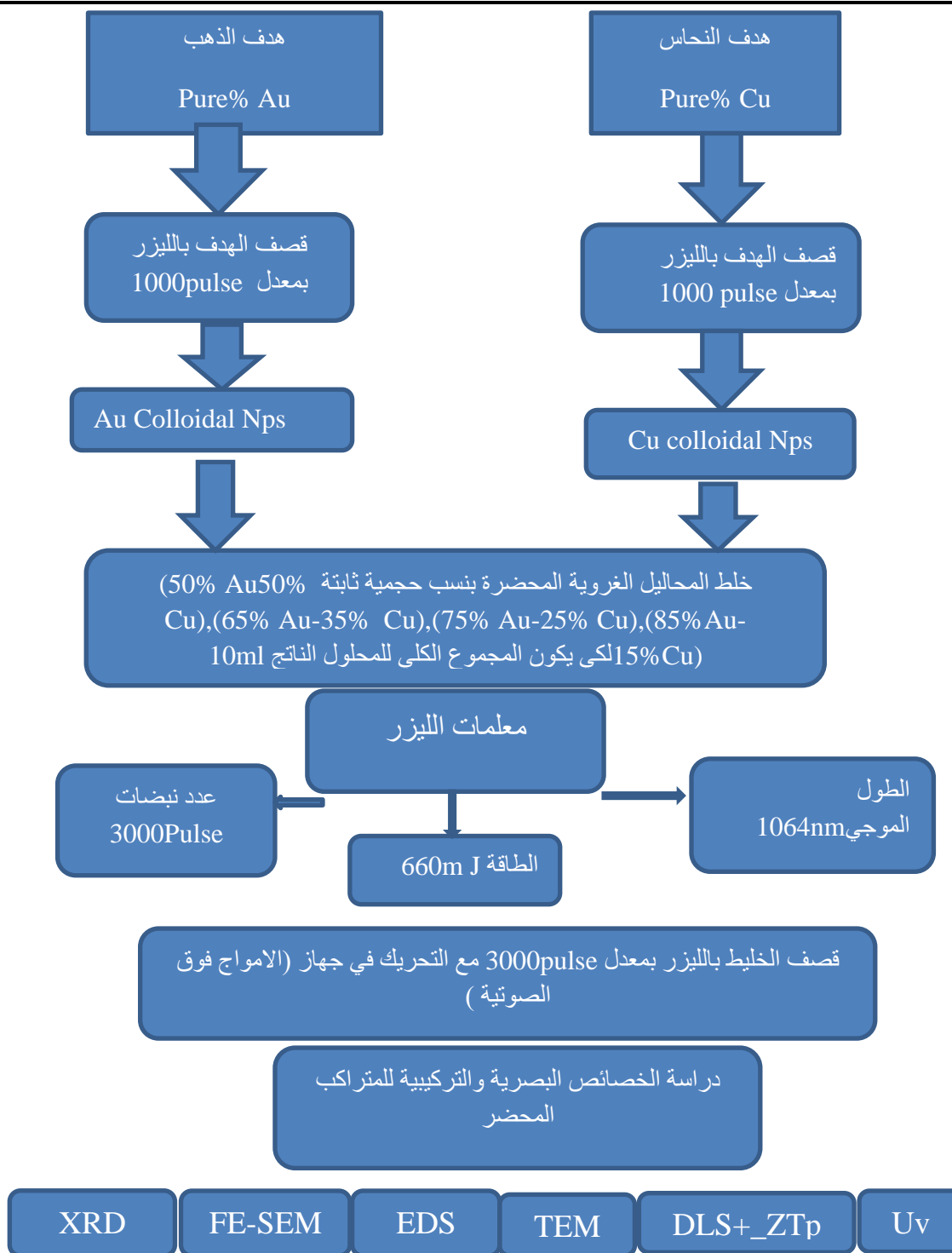
الجزء العملي

Introduction

نستعرض في هذا الفصل طريقة العمل كما موضح في الشكل (1-3) اذ تم فيها تحضير الجسيمات النانوية للذهب بالنسبة الوزنية (Au-3%) ، (Au-13% Cu)، (Au-25% Cu)، (Au-35% Cu)، and (Au-50% Cu) and Cu، Au pure ومعرفة الخصائص البصرية والتركيبية للجسيمات النانوية التي حضرت بطريقة الاستئصال بالليزر النبضي في الماء المقطر وتطبيقاتها في تصنيع السباائك النانوية والشكل (1-3) يوضح المخطط العملي الذي تناولته الدراسة



الشكل (1-3): المخطط العملي لتحضير وفحص جسيمات الذهب والنحاس النانوية المترابطة المحضرة في الماء المقطر باستخدام الليزر النبضي .



الشكل (3-2): مخطط العملي لتحضير وفحص محلول الغرواني للمترافق النانوي المحضر بطريقة الاستصال بالليزر النبضي.

الفصل الثالث

الجزء العلمي

Laser (Nd:YAG)

(2-3) ليزر (النديميوم ياك)

منظومة الاستئصال بالليزر النبضي تتضمن متغيرات عديدة موضحة في الجدول التالي

(1-3) يوضح معلومات عن الاهداف المستخدمة في هذه الدراسة والجدول (2-3) معلومات الليزر

حيث تم استخدام ليزر (Nd:YAG) في منظومة الاستئصال بالليزر النبضي حيث تؤمن الليزر

(Q-Switched Nd:YAG) ذو المنشاء الصيني من شركة (HVAFEI) وأن أقصى طاقة

(1000mJ) وأن العدسة المستخدمة تكون ذات بعد بؤري 15cm للتحقيق تدفق ليزري عالي

والشكل (3-3) يبين منظومة الاستئصال بالليزر المستخدمة في هذا العمل.



الشكل (3-3): منظومة الاستئصال بالليزر.

الجدول (1-3): مواصفات الاهداف المستخدمة في البحث.

رمز العينة	اسم العينة	مواصفات العينة
A1	Au24	100% Au
A2	Au21	87.5% Au-12.5% Cu
A3	Au18	75% Au-25% Cu
A4	Au15	65% Au-35% Cu
A5	Au12	50% Au-50% Cu
B	Cu	100% Cu

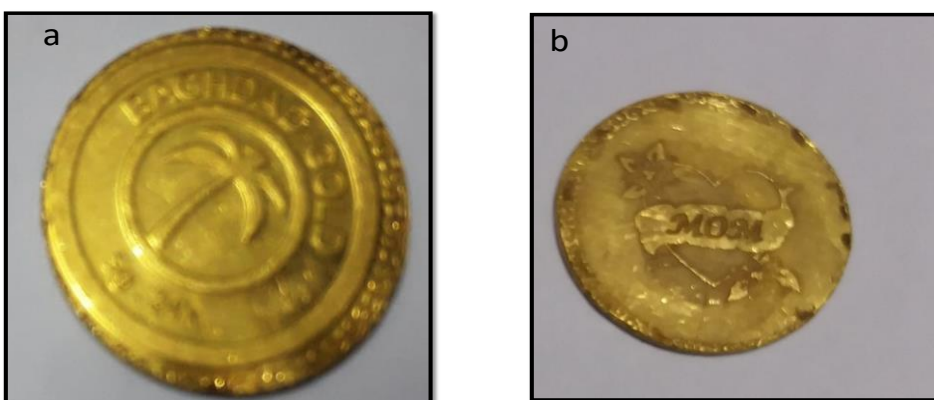
الجدول (3-2) : معلومات الليزر المستخدم.

Nd:YAG	نوع الليزر
(1064nm, 532nm)	الطول الموجي
340, 420, 500, 580, 660.and 1000mJ	طاقة النبضة
1-10Hz	التردد
10ns	امد النبضة
TEM ₀₀	النمط المستعرض
0.3	زاوية الانحراف

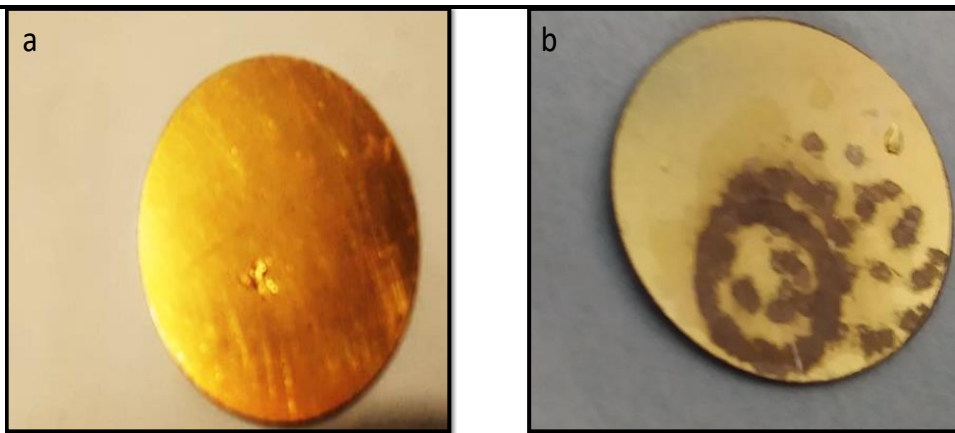
Target**1-2-3) الهدف**

تم استعمال أهداف معدنية (A1, A2, A3, A4, A5, and B) وكما موضح في الأشكال الآتية (8-3) (7-3) (6-3) (5-3) (4-3) على التوالي صور الاهداف قبل و بعد الاستئصال اذ أن النحاس ذو النقاوة العالية ، 99.9% ذهب نقاوة، 99.9% وتم التأكيد منها قبل العمل من خلال فحص XRF و يتم تنظيف العينات كالتالي قبل البدء بالعمل :

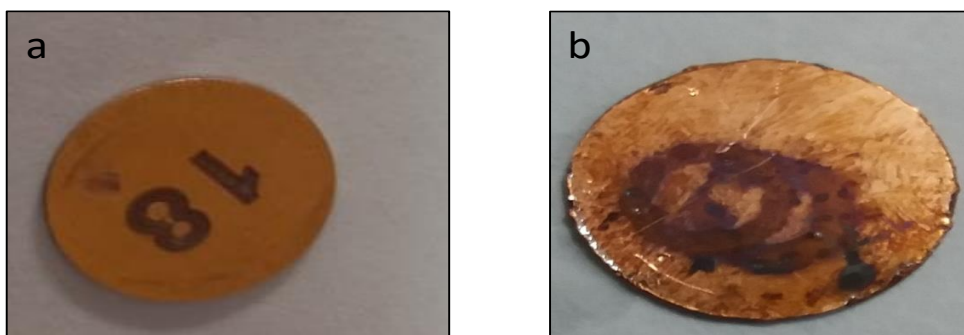
- 1- يتم غسل العينة جيدا بالماء المقطر ثم توضع في جهاز الامواج فوق الصوتية Ultrasonic لمدة 5min
- 2- ثم تعاد للتغسل باليثانول وتوضع في جهاز الامواج فوق الصوتية مرة اخرى لمدة 10min
- 3- ثم تغسل بالماء المقطر وتوضع ايضا في الاسيتون وتوضع ايضا في جهاز الامواج فوق الصوتية لمدة 10min
- 4- ويتم تنظيف دورق زجاجي الاستعمال بنفس الطريقة السابقة لغرض استعماله اذ توضع داخله العينة ويضاف اليها الماء المقطر حجم 3ml و يوضع على قاعدة دواره ويتم قصفه بالليزر .



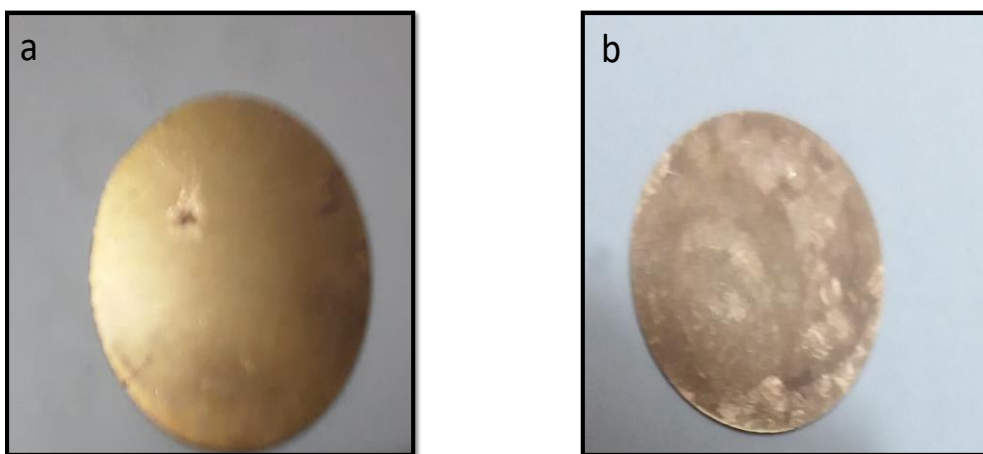
الشكل (4-3): يوضح هدف الذهب النقي (Au pure) (a) قبل الاستئصال (b) بعد الاستئصال.



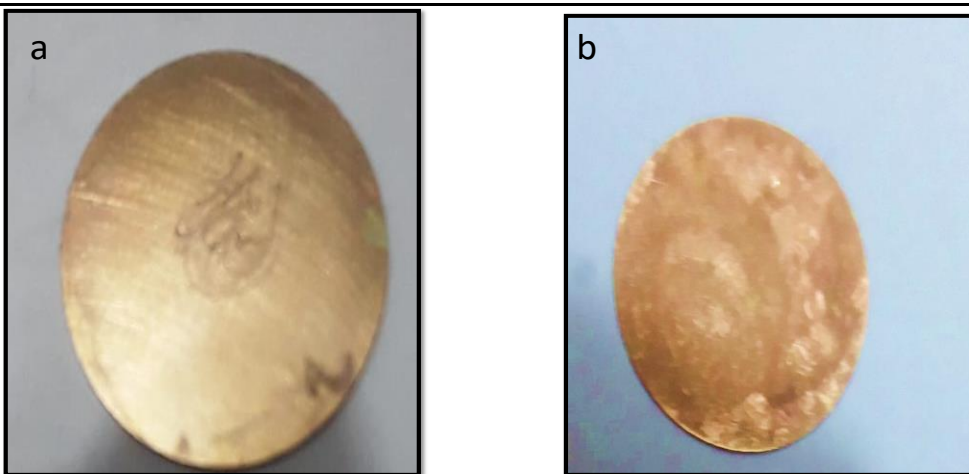
الشكل (5-3): سبيكة (87.5%Au-12.5%Cu)



الشكل (6-3): سبيكة (75%Au-25%Cu) قبل وبعد الاستنصال.



الشكل (7-3): سبيكة (65%Au-35%Cu) قبل وبعد الاستنصال.



الشكل (8-3): سبيكة (50% Au-50% Cu) قبل وبعد الاستئصال.

2-2-3) تحضير المحاليل الغروية النانوية

Preparation Solution Colloidal Nanoparticles

تم تحضير المحاليل الغروية النانوية لجسيمات متراكيبات الذهب والنحاس (A1, A2, A3, A4, A5, and B) عالية النقاوة بطريقة الاستئصال بالليزر النبضي في السائل وبدرجة حرارة الغرفة حيث تم تنظيف الاهداف قبل وبعد عملية الاستئصال ، تضمنت هذه الدراسة تغيير في طاقات الليزر المستخدم (J) (340, 420, 500, 580, 660, and, 1000, 600pulse) وكذلك تغيير لعدد النبضات (1064nm) في (Uv-vis) وبتردد (1HZ) وعند الطول الموجي (1000pulse) للحصول على الفحوصات الاخرى فقد تم تثبيت الطاقة (660mJ) وعدد نبضات (1000pulse) للحصول على محاليل غروية تحتوي على جسيمات نانوية لمادة الهدف الصلب الذي تم استئصاله بالليزر فتغير اللون يدل على نجاح عملية الاستئصال والشكل (3-9) يوضح الوان المحاليل المحضره لجسيمات متراكيب الذهب والنحاس وجسيمات النحاس النقي بطريقة الاستئصال بالليزر .



الشكل (9-3): (a) اشكال محليل الذهب المختلفة عند الطول الموجي (532nm) (b) اشكال محليل النحاس والذهب عند الطول الموجي (1064nm) (c) اشكال محليل الذهب والنحاس عند الطاقات المختلفة وللطول الموجي (1064nm).

Preparation of glass Substrates**3-2-3) تهيئة القواعد الزجاجية**

تم استعمال القطع الزجاجية المصنوعة من الكوارتز بعد تقطيعها على أشكال مربعة صغيرة وتنظيفها بنفس الطريقة التي تم تنظيف العينات بها لغرض التخلص من الشوائب التي قد تؤثر سلباً على خصائص الاغشية ثم يتم ترسيب المحاليل الغروية التي تم الحصول عليها بطريقة التقطير على درجة حرارة (C 45°) اذ تم الترسيب قطرة قطرة الى أن يكتمل تكوين الغشاء من أجل استخدامه في قياسات حيود الاشعة السينية والمجهر الالكتروني الماسح .

(3-3) اجهزة القياس التركيبية والبصرية**Structural and Optical Measuring devices****1-3-3) قياس فلورية الاشعة السينية للاهداف المحضرة****X-Ray Fluorescence (XRF)**

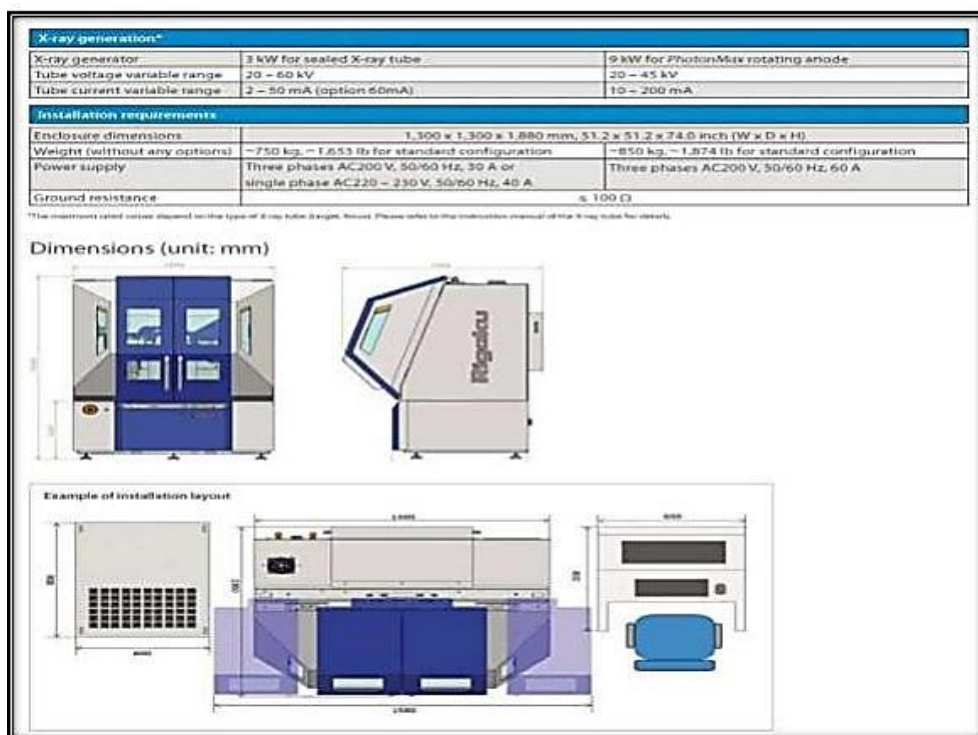
هي تقنية تحليلية غير اتلافية تستخدم لتحديد التركيب الاولى للمواد ويحدد من خلالها الاشعة السينية الثانوية المنبعثة من العينة عندما يتم تحفيزها بمصدر أولي للأشعة السينية، وتم اجراء فحص (XRF) للاهداف المعدنية المحضررة باستخدام الجهاز الموجود في مدينة بعقوبة سوق الصاغة والشكل (3-10) يوضح صورة للجهاز (Gold scope so.pro) المستخدم في الفحص .



الشكل (3-10): الجهاز المستخدم في فحص اهداف الذهب .

2-3-3) قياس حيود الاشعة السينية (XRD)

للحصول على تركيب المادة وتطورها والحجم البلوري للمادة الناتجة تستخدم حيود الاشعة السينية حيث استخدم لهذا الغرض جهاز حيود الاشعة السينية الموجود في الجامعة التكنولوجية مركز النانوتكنولوجي ولله مواصفات كما موضح في الشكل (11-3) جهاز حيود الاشعة السينية . نوع الهدف (Cu) والطول الموجي للاشعة السينية (0.15405nm) ، التيار (30mA) فرق الجهد (40Kv).



الشكل (11-3): جهاز حيود الاشعة السينية.

3-3-3) قياس المجهر الإلكتروني الباعث للمجال

Field Emission Scanning Electron Microscopy

في هذه الدراسة تم استخدام جهاز المجهر الإلكتروني الماسح الباعث للمجال (FE-SEM) ذي المواصفات (MIRA3, Model- TE-SCAN) من أجل الحصول على الحجم الحبيبي للمادة النانوية الناتجة وشكل سطح المادة وتم اجراء هذا القياس في (جامعة طهران - كلية العلوم مختبرات كلية العلوم - ايران) والمبين في الشكل (12-3) .

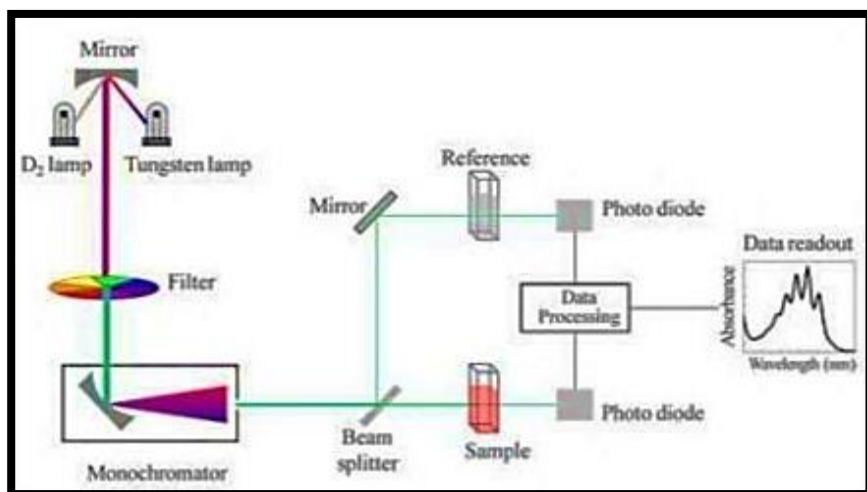


الشكل (12-3): جهاز المجهر الإلكتروني الماسح الباعث للمجال

Uv-Visible Spectroscop

4-3-3) مطيافية الاشعة المرئية - فوق البنفسجية

جهاز (Uv-Vis) من خلاله تمكنا من قياس امتصاصية المادة اذ ان الامتصاصية تؤثر في النطاق المرئي للمادة و تم هذا القياس باستخدام جهاز Uv-Visible 1800double beam ذو منشأ (Japan) والمصنع من قبل شركة (Shimadzu) اذ تم اجراء هذا الفحص في المختبر المركزي لكلية العلوم – جامعة ديالى والشكل (13-3) يوضح صورة تخطيطية لعمل الجهاز .



الشكل (13-3): المخطط التوضيحي لآلية عمل جهاز (UV-Vis).

Atomic Absorption Spectroscopy

تم اجراء فحص مطيافية الامتصاص الذري (AAS) لغرض معرفة تراكيز الجسيمات النانوية في محلول الغرواني للعينات (A1, A2, A3, A4, A5, and B) المحضرة عند (AA-700SHMADZU) في وزارة العلوم والتكنولوجيا - بغداد بجهاز مطيافية (1000Pulse) وكما موضح في الشكل (14-3).



الشكل (14-3): جهاز مطيافية الامتصاص الذري .AAS

(6-3-3) تشتت الضوء الديناميكي وجهد زيتا .

Dynamic Light scattering (DLS) and Zeta Potential

تم قياس حجم الجسيمات واستقرارية المادة باستخدام جهاز تشتت الضوء الديناميكي (DLS) في دولة ايران.

(4-3) تحضير المترابكبات النانوية للذهب والنحاس .

بعد ان تم تحضير المحاليل الغروية لكل من جسيمات النحاس والذهب النقي والمترابكبات الذهب - النحاس النانوية المذكورة اعلاه بطاقة (660mJ) وعدد نبضات (1000 pulse) بعدها تم خلط المحاليل بنسب حجمية (75% Au-25% Cu) (15 % Cu-85% Au) (50% Au-50% Cu) (65% Au-35% Cu) ووضعها في دورق زجاجي بحيث كان حجم محلول الغرواني للخلط بمقدار (10ml) وقصف محلول الغرواني للخلط بالليزر مرة ثانية

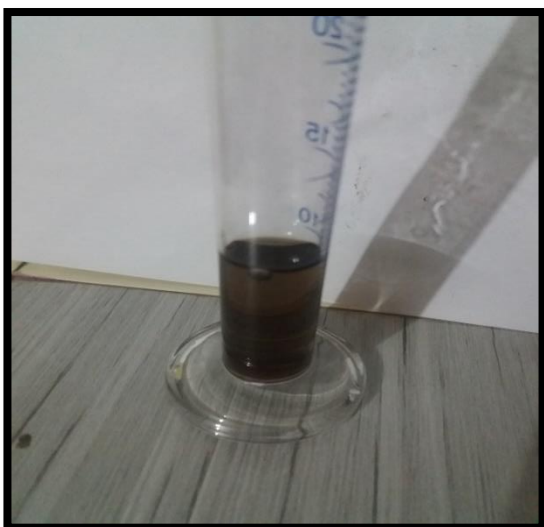
الفصل الثالث

الجزء العلمي

بمعدل (3000 pulse) مع التحريك المستمر(اي وضع المحلول داخل جهاز الامواج فوق الصوتية) (Ultrasound) حيث كان الغرض من قصف الجسيمات المحضرة بالليزر للمرة الثانية هو لتصغير حجم الجسيمات النانوية و لوحظ تغير لون المحلول الغرواني اثناء عملية القصف بالليزر من اللون الاحمر الى اللون الازرق فاتح الى ان استقر المحلول على اللون الازرق الفاتح بعد الانتهاء من عملية الاستئصال بالليزروالشكل (3-15) يوضح شكل المحلول قبل عملية الاستئصال للمرة الثانية وبعدها و تم ترسيب المحاليل على القواعد الزجاجية مربعة الشكل لغرض فحص FE-SEM للمتراکب المحضر XRD ويبيّن الجدول (3-3) النسب الحجمية والتراکيز لكل من الذهب والنحاس قبل الخلط.

الجدول (3-3): النسب الحجمية والتراکيز للمتراکب (Au-Cu) الغروية المحضرة.

رمز العينة	النسبة الحجمية	تركيز المحلول (mg/cm ³) Au/Cu
K1	50% Au-50% Cu	15.53/2.07
K2	65% Au-35% Cu	20.4/1.44
K3	75% Au-25% Cu	42.23/0.621
K4	85% Au-15% Cu	50.36/1.03



الشكل (3-15): محلول الغروي للجسيمات(Au-Cu) النانوية المتراكبة المحضرة اثناء عملية الاستئصال بالليزر (بعد الخلط).

الفصل الرابع

النتائج والمناقشة

Introduction

تم في هذا الفصل دراسة النتائج ومناقشة كل من الفحوصات التركيبية بواسطة فلورة الاشعة السينية (XRF) وحيود الاشعة السينية (XRD) والفحوصات المورفولوجية للمجهر الإلكتروني الماسح للمجال (FE- SEM) والمجهر الإلكتروني النافذ (TEM) وتم دراسة مطيافية تشتت الطاقة (EDS) للعينات المحضرة بطريقة الاستئصال الليزري في الماء المقطر للذهب والنحاس وكذلك دراسة الخصائص البصرية بواسطة مطيافية الاشعة فوق البنفسجية والمرئية (UV-Vis) وجهد زيتا واخيراً تشتت الضوء الديناميكي (DLS).

Structural properties**(2-4) الخصائص التركيبية****(1-2-4) نتائج فحص (XRF) لاهداف الذهب والنحاس قبل الاستئصال**

يوضح الجدول (1-4) نتائج فحص (XRF) لاهداف الذهب والنحاس التي تم اجراء الفحص لها قبل عملية الاستئصال بالليزر للتاكيد من نقاوتها وحصلنا على نتائج مقاربة لما تم الحصول عليه في فحص مطيافية تشتت الطاقة (EDS)

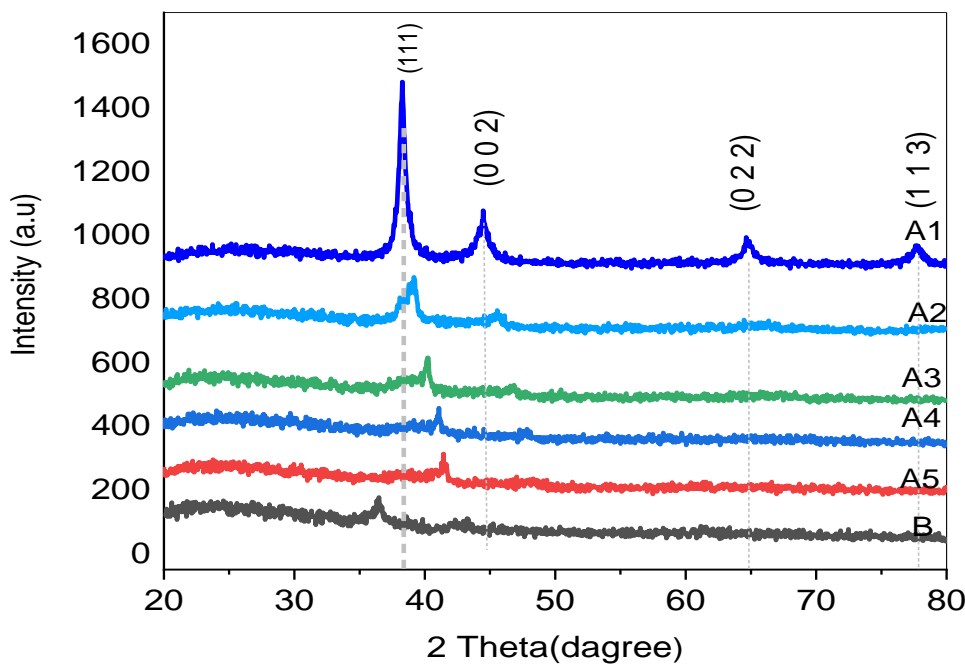
الجدول (1-4) نتائج فحص (XRF) لاهداف الذهب والنحاس قبل الاستئصال

رمز العينة	النسبة الوزنية	نتائج فحص (XRF)	
A1	100% Au	Au%	Cu%
		99.9% Au	0%
A2	87.5% Au-12.5% Cu	Au%	Cu%
		89.6%	10.4%
		88.7%	11.3%
		88.6%	12.5%
المعدل		88.6%	11.4%
A3	75% Au-25% Cu	Au%	Cu%
		75%	25%
		75.8%	24.2%
		75.3%	24.7%
المعدل		75.3%	24.6%
A4	65% Au-35% Cu	Au%	Cu%
		62.5%	37.5%
		60.4%	39.6%
		59.5%	40.05%
المعدل		60.8%	39.05%
A5	50% Au-50% Cu	Au%	Cu%
		52.4%	47.6%
		54.4%	45.6%
		53.7%	46.6%
المعدل		53.5%	46.6%
B	100% Cu	0% Au	99.9% Cu

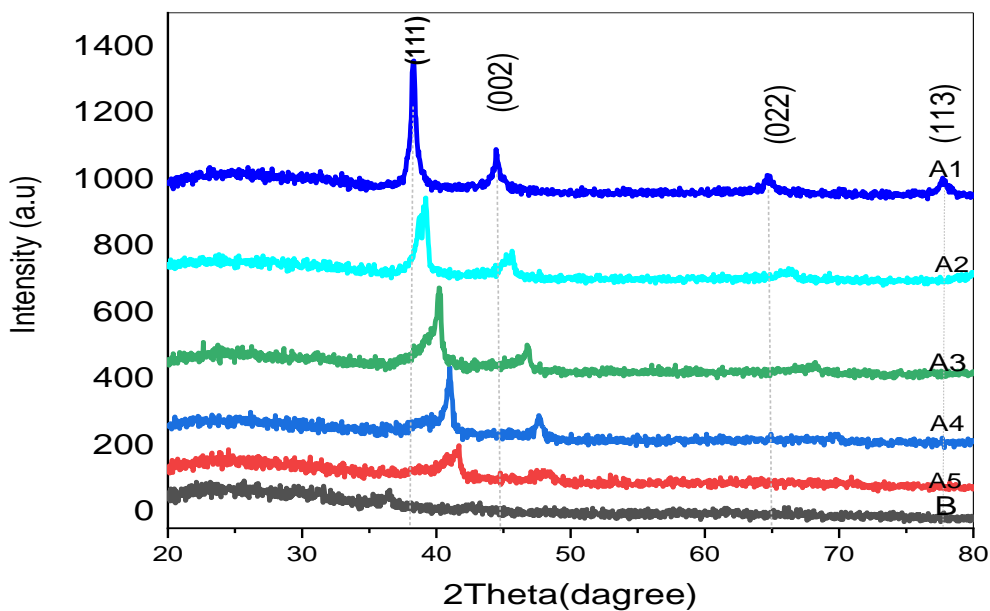
(4-2-2) نتائج حيود الاشعة السينية لجسيمات متراکب الذهب - النحاس النانوية

يوضح الشكل (4-2) و (4-1) حيود الاشعة السينية لأغشية متراکب جسيمات الذهب والنحاس النانوية المحضرة بطريقة الاستصال بالليزر في السوائل عند طول موجي مختلف (532 nm و 1064 nm) و عدد نبضات (1000 pulse) والمرسبة على قواعد زجاجية بطريقة النقطير (drop casting) حيث نلاحظ قمم مختلفة الشدة وعرض منتصف القمة والتي تدل حيود الاشعة السينية أثناء مرورها بمستويات جسيمات الذهب النانوية والتي تم مطابقتها مع المواصفات الدولية لمادة الذهب . لوحظ وجود اربعة قمم للحيود والتي يمكن فهرستها إلى الاتجاهية لمعاملات ميلر وهي (111) ، (200) ، (220) ، (311) ذات التركيب البلوري (FCC) وحسب المواصفة (JCPDS file No. 98-016-3723 [117,118]). الذروة المقابلة لـ (111) المستوى أكثر كثافة من المستويات الأخرى مما يشير إلى أن (111) هو الاتجاه السائد للذهب و نلاحظ ان القمم (Peaks) ازيحت باتجاه زوايا (Θ) اعلى مع زيادة نسبة النحاس مما ادى الى انخفاض في ارتفاع القمم واتساعها نتيجة لانخفاض نسبة الذهب فيها وزيادة نسبة النحاس كما لوحظ وجود قمة تعود للنحاس عند الزاوية (41.68°) (2Θ) والمقابلة للمستوى الاكثر كثافة (111) في العينة (A4) والمطابقة للبطاقة القياسية ذو الرقم (00-035-1357) [120] . كما مبين في الشكل ونلاحظ قمة اخرى عند الزاوية (43.29°) (2Θ) والمقابلة للمستوى السائد (111) في العينة (A5) والمطابق للبطاقة القياسية (00-004-0836) اما بالنسبة لاوكسيد النحاس يلاحظ من الشكل (4-1),(4-2) وجود قمة واحدة عند الزاوية (36.52°) (2Θ) للمستوى (111) بطور بلوري (Cubic Crystal Structure) والمطابق للبطاقة القياسية (62-8621) [120] اذ أن هذه الظاهرة ترجع بصورة رئيسية الى التشوه المرن للشبكة نتيجة استبدال ايونات الذهب (Au ions) بأيونات النحاس (Cu ions) ذات القطر الایوني الأصغر او قد يعزى الى التداخل في المستويات البلورية .

تم حساب متوسط الحجم البلوري (Average crystalline size) باستخدام معادلة شيرر (Debye-Scherrer) لجسيمات متراکب الذهب والنحاس النانوية (A1, A2, A3, A4, A5) عند الطول الموجي (532 nm و 1064 nm) كما في الجدول (4-2) و (4-3).



الشكل (1-4): انماط حيود الاشعة السينية (XRD) لجسيمات متراکب الذهب والنحاس ذات التركيب النانوي عند طول موجي (nm 532) لعينات (A1, A2, A3, A4, A5 and B).



الشكل (4-2): انماط حيود الاشعة السينية (XRD) متراکب الذهب والنحاس ذات التركيب النانوي عند الطول الموجي (1064nm) لعينات (A1, A2, A3, A4, A5 and B).

الجدول (2-4): ملخص نتائج حيود الاشعة السينية لجسيمات متراکب الذهب والنحاس النانوية عند الطول الموجي 532nm

رمز العينة	2Θ (deg)	FWHM (deg)	Crystallite size (nm)
A1	38.27	0.57	13.56
	44.42	0.87	8.74
	64.74	0.76	9.14
	77. 67	0.61	10.59
A2	38.89	1.16	6.71
	45.47	0.96	7.97
A3	40.18	0.16	48.7
A4	41.02	0.46	16.89
A5	41.44	0.50	15.39
B	36.52	1.0856	7.26

الجدول (3-4): ملخص نتائج حيود الاشعة السينية متراکب الذهب والنحاس النانوية عند الطول الموجي 1064nm

رمز العينة	2Θ (deg) (Observed)	FWHM (deg)	Crystallite size (nm)
A1	38.29	0.42	18.66
	44.47	0.43	17.56
	64.68	0.54	12.82
	77.21	0.20	32.42
A2	38.94	0.98	7.95
	45.35	1.04	7.36
	66.46	0.56	12.39
A3	40.14	0.55	14.17
	46.74	0.53	14.31
A4	40.98	0.52	14.93
	47.65	0.54	14.05
A5	41.96	0.50	14.93
	48.96		36.44
B	36.52	0.7634	10.32

3-2-4) حيود الاشعة السينية لمتراکب الذهب – النحاس النانوية

يوضح الشكل (3-4) حيود الاشعة السينية (XRD) لمتراکبات المحضر (Au-Cu) بواسطة الاستئصال بالليزر عند طاقة (660mJ) وطول موجي (1064nm) من محلول ذهب نانوي مع النحاس النانوي (Au-Cu Nanoparticles) بنسب حجمية (85%Au-15%Cu)

الفصل الرابع

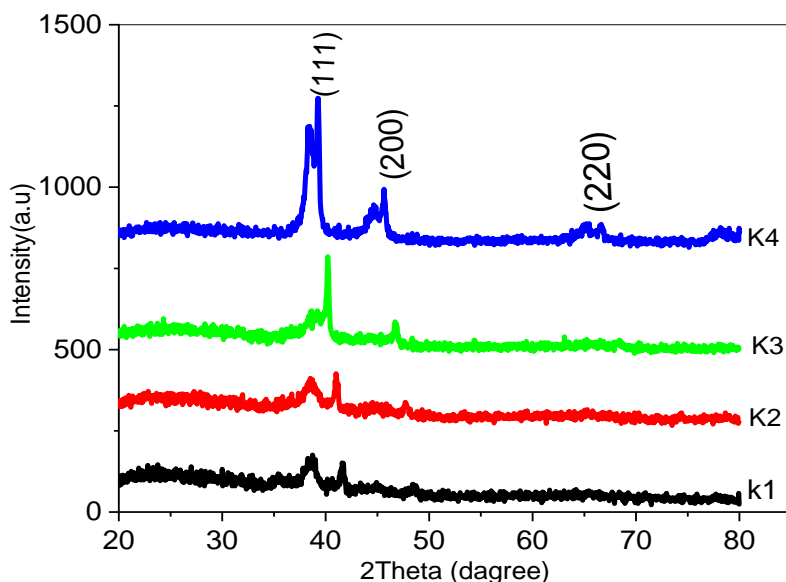
النتائج والمناقشة

تم الكشف عن ثلات قمم لجسيمات متراکب (Au/Cu Nanoparticles Composite) K4 على (75% Au-25Cu), (65% Au-35% Cu), (50% Au-50% Cu)

فواحد زجاجية بطريقة التقاطير .

تم الكشف عن ثلات قمم لجسيمات متراکب (Au/Cu Nanoparticles Composite) K4 عند $2\Theta = 38.77^\circ$, 44.04° , 66.10° , (111), (200), (220) و ذات التركيب البلوري المكعب (Cubic Crystal Structure) للذهب والتي تتطابق مع البطاقة القياسية (1302-00-034) وجود قمة اخرى تعود للنحاس عند $2\Theta=37.88^\circ$ والمقابلة للمستوي البلوري (111) وهذا يتفق مع الباحث [119]

أشارت النتائج التي تم الحصول عليها أن انخفاض نسبة الذهب (Gold Content) أدى إلى انخفاض درجة التبلور (Crystallization Degree) للمحلول الجسيمات النانوية المحضرة وكما موضح في الشكل (4-6) اذ اصبحت القمم اقل شدة واكثر عرض مع انخفاض محتوى الذهب، وهذا يشير الى انخفاض الحجم البلوري (Crystalline Size) لمتراکبات النانوية مع زيادة نسبة النحاس (Copper Content) [97]. كما لوحظ وجود قمة للنحاس للعينات (k1,k2,k3) عند الزاوية (43.47) عند المستوى البلوري (111) والتي تتطابق مع البطاقة القياسية للنحاس (1225-00-002) ان تغير وزن الذهب لم يؤثر على نوع الهيكل البلوري لجسيمات المتراکب المحضرة اذ أن النمو البلوري كان في نفس التركيب البلوري المكعب، بالإضافة الى عدم ظهور قمم اخرى (Other Peaks) وهذا يشير الى الحصول على متراکب ذهب - اوکسید النحاس النانوي العالية النقاوة (High Purity). باستخدام معادلة شيرر (Debye-Scherrer) وتم حساب الحجم البلوري (Crystalline Size) متراکب الذهب - اوکسید النحاس المحضرة. والجدول (4-4) يبين نتائج فحص حيود الاشعة السينية (XRD) متراکب الذهب - النحاس النانوية.



الشكل (4-3): انماط حيود الاشعة السينية (XRD) مترافق ذهب- النحاس النانوية (K1, K2, K3, and K4) المحضرة بتقنية الاستصال بالليزر (K3, K4).

جدول (4-4): نتائج حيود الاشعة السينية مترافق الذهب - النحاس .

Cod Sample	Sample	2Θ (deg)	FWHM(deg)	Crystallite size(nm)
K1	50%Au-50%Cu	38.54	1.46	5.77
		41.54	0.94	8.99
K2	65%Au-35%Cu	38.68	0.68	11.51
		41.36	0.40	19.12
K3	75%Au-25%Cu	38.59	0.22	35.23
		40.20	0.26	29.26
		46.75	0.39	19.42
K4	85%Au-15%Cu	38.77	1.56	4.98
		44.04	1.86	4.12
		66.10	0.96	7.24

(3-4) نتائج المجهر الإلكتروني الماسح (FE-SEM)

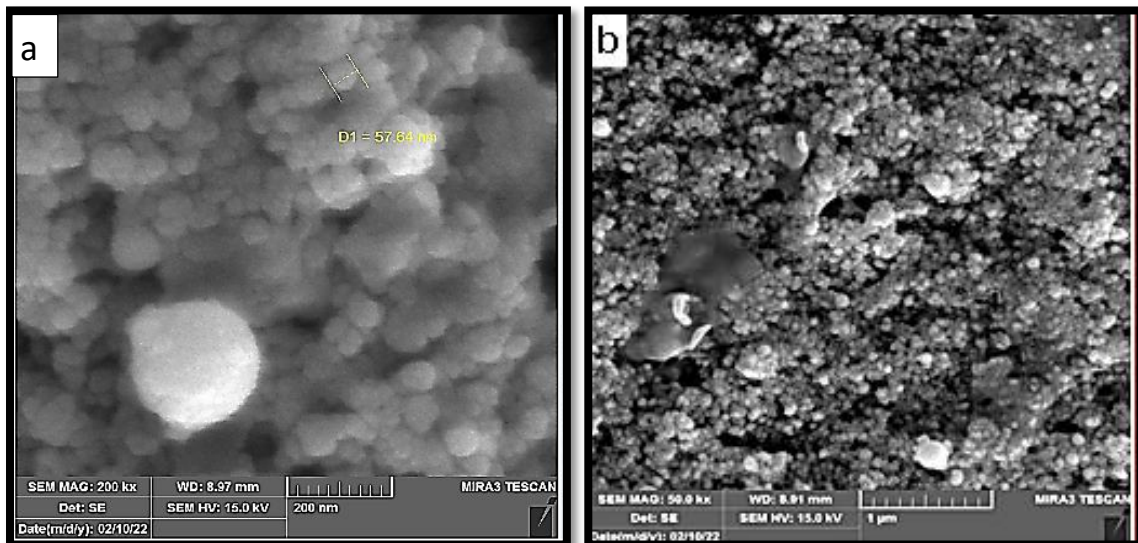
1-1-3-4) نتائج فحص المجهر الإلكتروني الماسح لجسيمات محليل المترافق الذهب - النحاس النانوية

يوضح الشكل (4-4-4) صور FE-SEM لجسيمات الذهب النقية والنحاس النقي مترافق الذهب والنحاس النانوية المحضرة بطريقة الاستصال بالليزر في الماء المقطر و عند الطاقة (660mJ) و عدد نبضات (1000) للعينات (A1, A2, A3, A4, A5 and B)

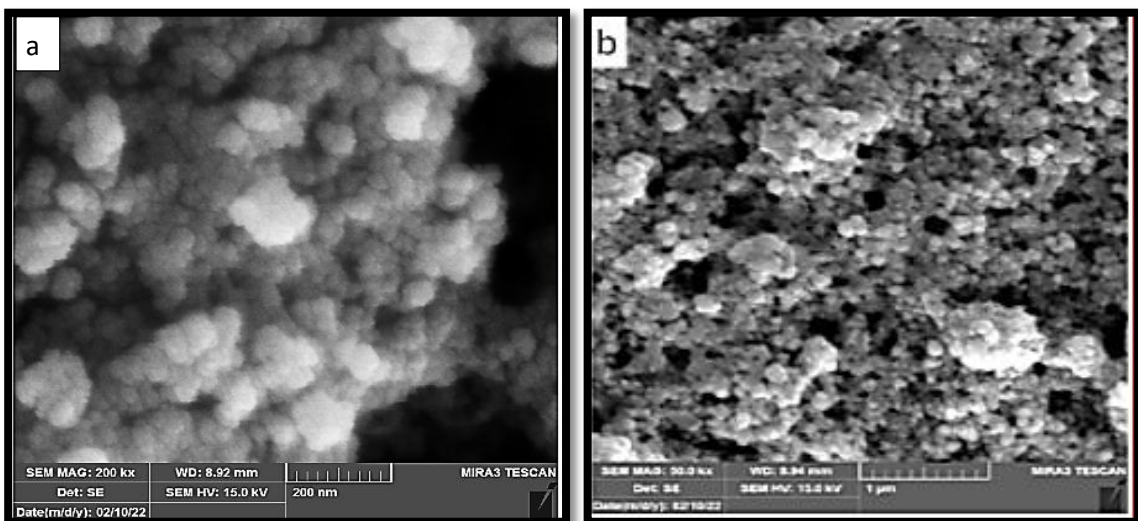
الفصل الرابع

النتائج والمناقشة

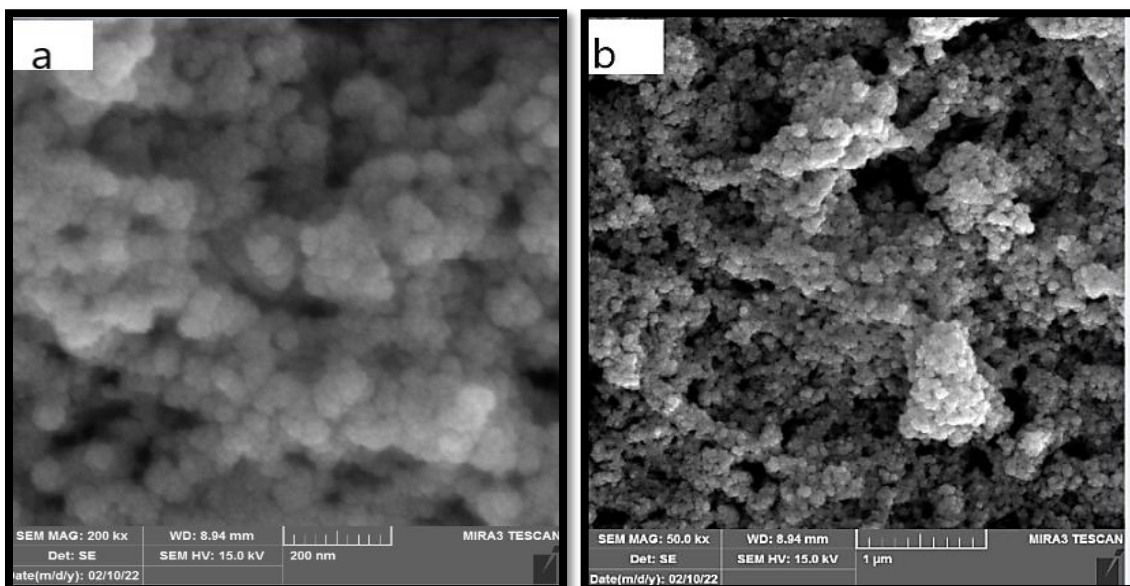
الموجي (1064nm) و(532nm) إذ يتضح من صور FE-SEM أن الجسيمات كانت ذات أشكال كروية أو شبة كروية يمثل الشكل (4-4) (a) صورة للمجهر بتكبير (200kx) للعينة (A1).



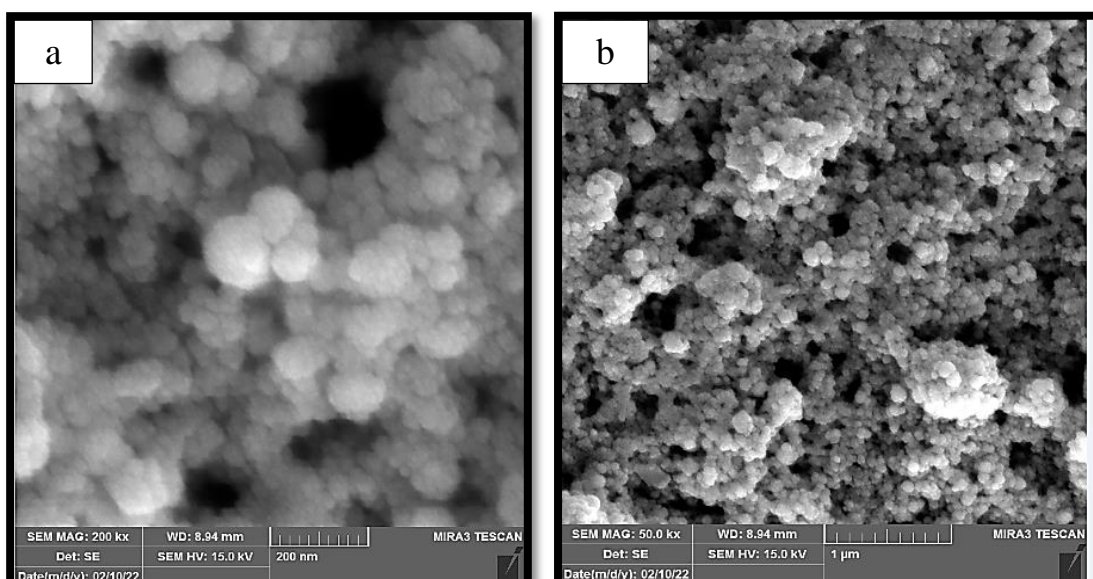
الشكل (4a-4): صور المجهر الماسح الالكتروني لجسيمات الذهب (A1) النانوية عند الطول الموجي 1064nm (a) صورة للمجهر بتكبير (200kx) و(b) صورة بتكبير(50kx) .



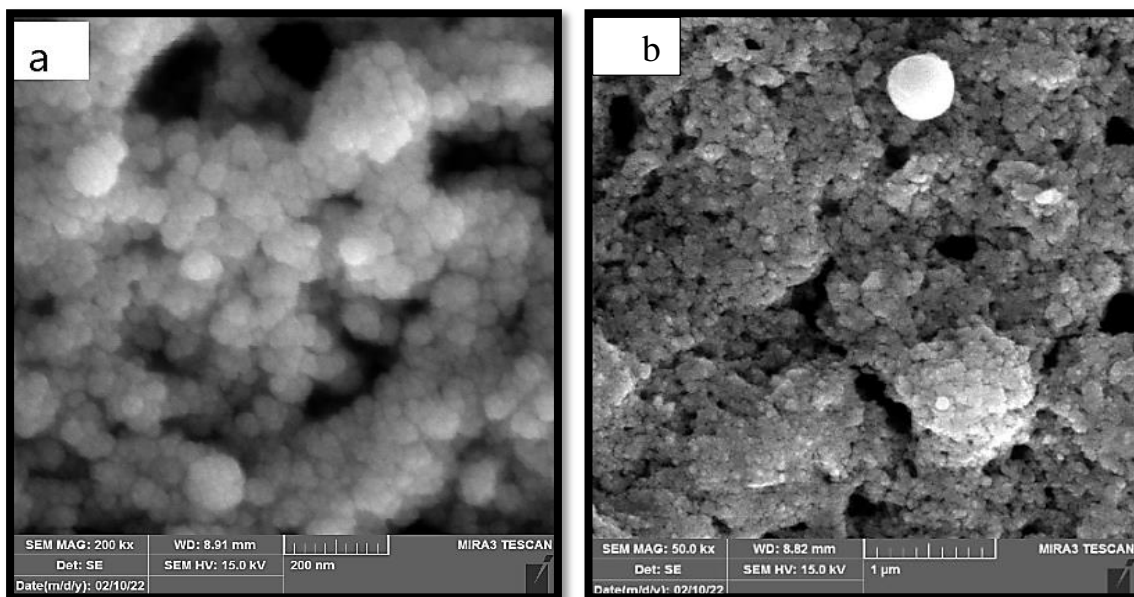
الشكل (4b-4): صور المجهر الالكتروني الماسح للمجال لجسيمات مترافق الذهب والنحاس (A2) النانوية عند طول موجي 1064nm (a) صورة للمجهر بتكبير (200kx) (b) صورة للمجهر بتكبير (50kx).



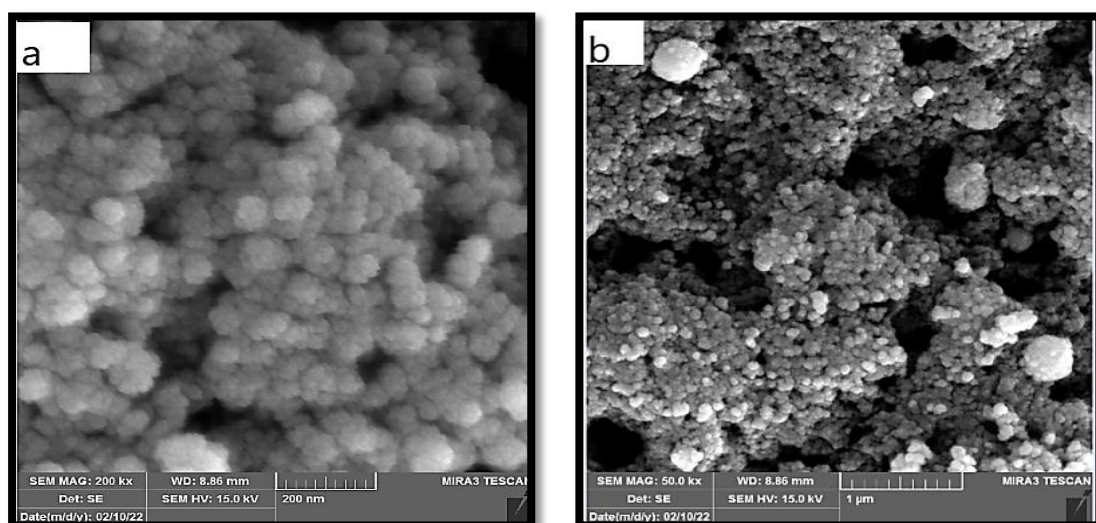
الشكل (4c-4): صور المجهر الماسح الإلكتروني متراكب الذهب النحاس (A3) النانوية عند طول موجي طول موجي 1064nm (a) صورة للمجهر بتكبير 200kx والجزء (b) يمثل صورة للمجهر بتكبير 50kx.



الشكل (4d-4): صور المجهر الإلكتروني الماسح للمجال لجسيمات متراكب الذهب والنحاس (A4) النانوية عند طول موجي 1064nm (a) صورة للمجهر بتكبير 200kx والجزء (b) يمثل صورة للمجهر بتكبير 50kx.

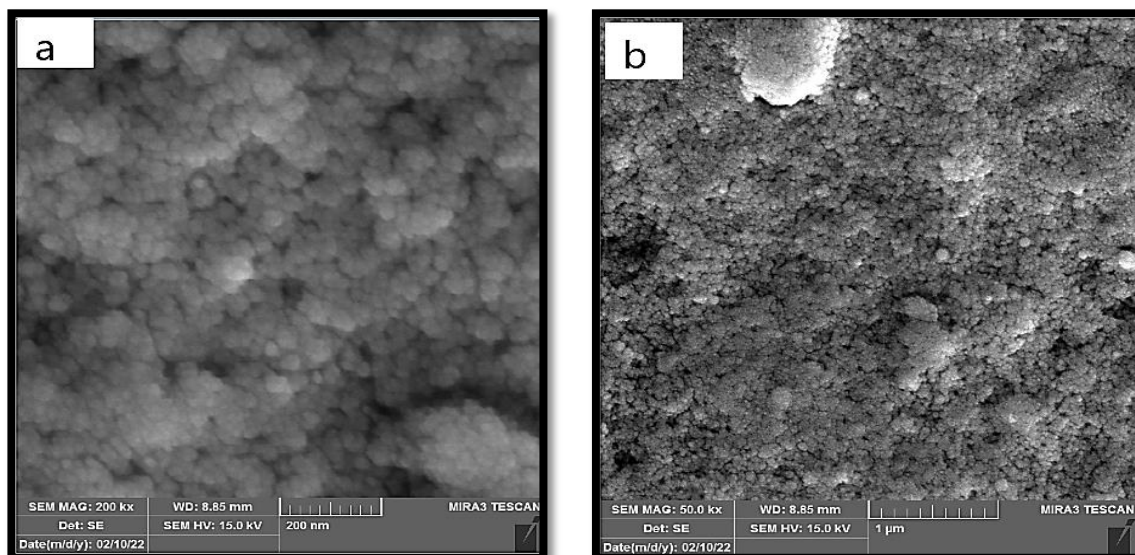


الشكل (4e-4): صور المجهر الإلكتروني الماسح لجسيمات متراكم الذهب والنحاس (A5) النانوية عند طول موجي 1064nm (a) صورة للمجهر بتکبیر (200kx) والجزء (b) يمثل صورة للمجهر بتکبیر (50kx).

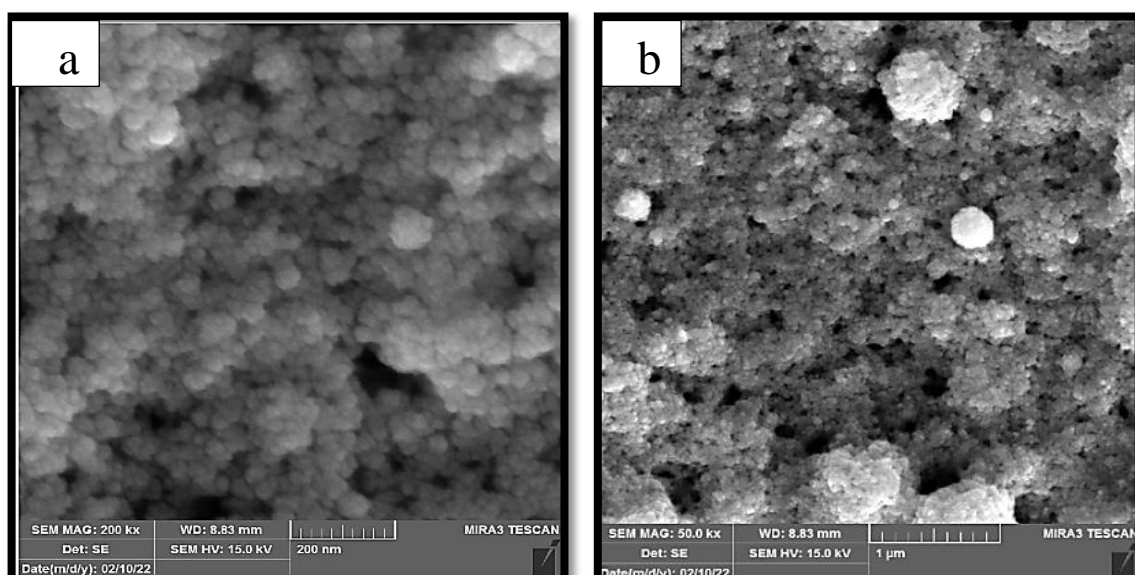


الشكل (4f-4): قياس (FE-SEM) لجسيمات أكسيد النحاس النانوية للطول الموجي 1064nm. (a) صورة للمجهر بتکبیر (200 kx) والجزء (b) يمثل صورة للمجهر بتکبیر (50 kx).

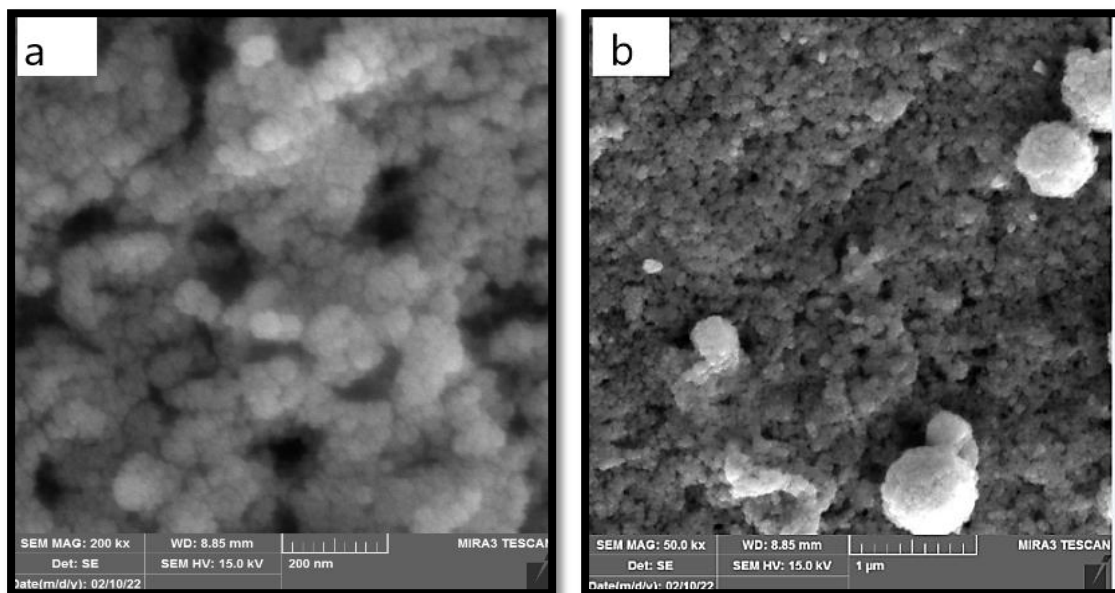
من الشكل (5a-4) إلى (5f-4) يبين صورة (FE-SEM) لجسيمات متراكم الذهب وأوكسيد النحاس النانوية (A1, A2, A3, A4, A5 and B) عند الطاقة (660mJ) وعدد نبضات 1000 لطول الموجي (532nm) وكانت ايضا جميع العينات ذات اشكال كروية او شبة كروية.



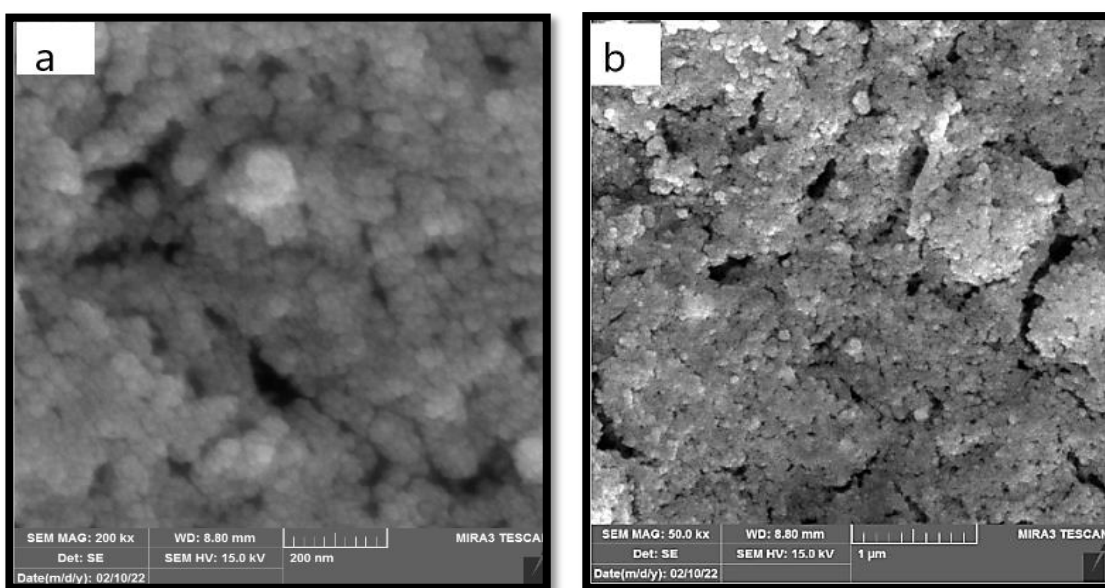
الشكل (5a-4): صور المجهر الإلكتروني الماسح للمجال لجسيمات مترافق الذهب والنحاس (A1) النانوية عند طول موجي 532nm (a) صورة للمجهر بتكبير (200kx) والجزء (b) صورة للمجهر بتكبير (50kx)



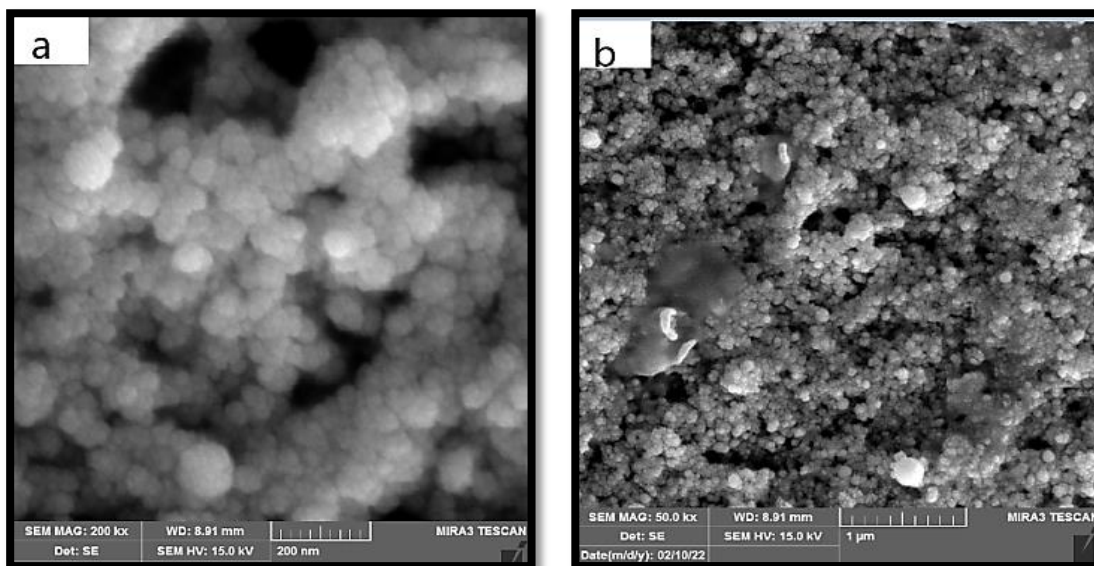
الشكل (5b-4) : صور المجهر الماسح الإلكتروني لجسيمات مترافق الذهب والنحاس(A2) النانوية عند طول موجي 532nm (a) صورة للمجهر بتكبير (200kx) والجزء (b) يمثل صورة للمجهر بتكبير (50kx).



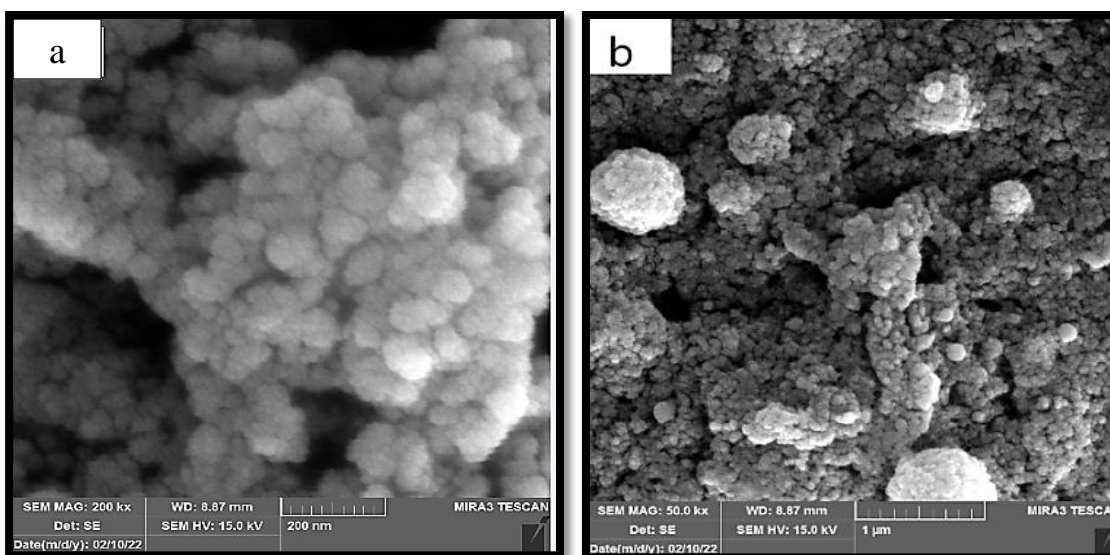
الشكل (5c-4) : صور المجهر الماسح الالكتروني لجسيمات متراکب الذهب والنحاس (A3) النانوية عند طول موجي 532nm (a) صورة للمجهر بتکبير 200kx والجزء (b) يمثل صورة للمجهر بتکبير 50kx .



الشكل (5d-4): صور المجهر الماسح الالكتروني لجسيمات متراکب الذهب والنحاس (A4) النانوية عند طول موجي 532nm (a) صورة للمجهر بتکبير 200kx والجزء (b) يمثل صورة للمجهر بتکبير 50kx .



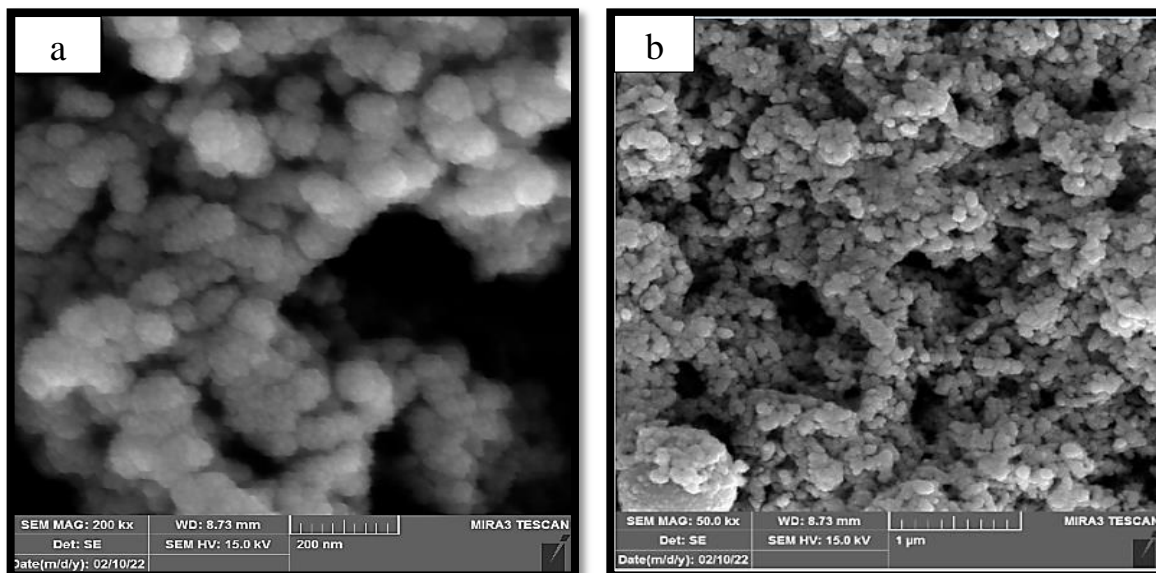
الشكل (4-5e-4): صور المجهر الإلكتروني متراكم الذهب والنحاس (A5) النانوية عند طول موجي 532nm (a) صورة للمجهر بتكبير (200kx) والجزء (b) يمثل صورة للمجهر بتكبير (50kx).



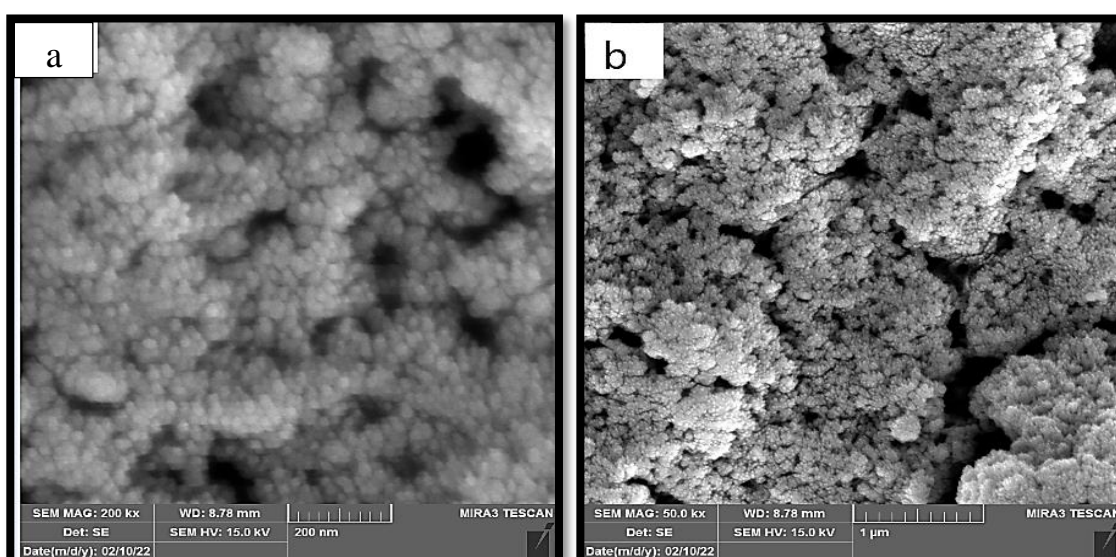
الشكل (4-5f-4) : فحص (FE-SEM) لجسيمات أكسيد النحاس النانوية للطول الموجي 532 nm (a) صورة للمجهر بتكبير (200kx) والجزء (b) يمثل صورة للمجهر بتكبير (50kx) .

2-3-4) فحوصات المجهر الإلكتروني الماسح لجسيمات متراكم الذهب - النحاس النانوي

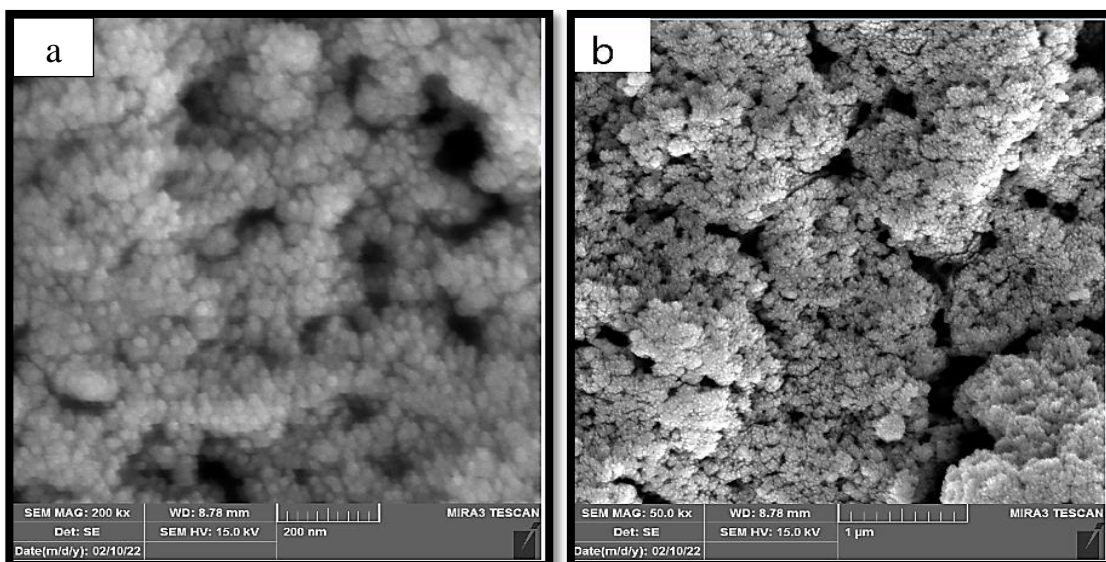
من الشكل (4-6d) إلى (4-6a) صور (FE-SEM) لـ (a) الجسيمات النانوية متراكم ذهب - نحاس النانوي عند الطاقة (660mJ) للطول الموجي (1064nm) وبعد 3000pulse و يلاحظ من الصور ان شكل الجسيمات النانوية يكون كروية او شبة كروية.



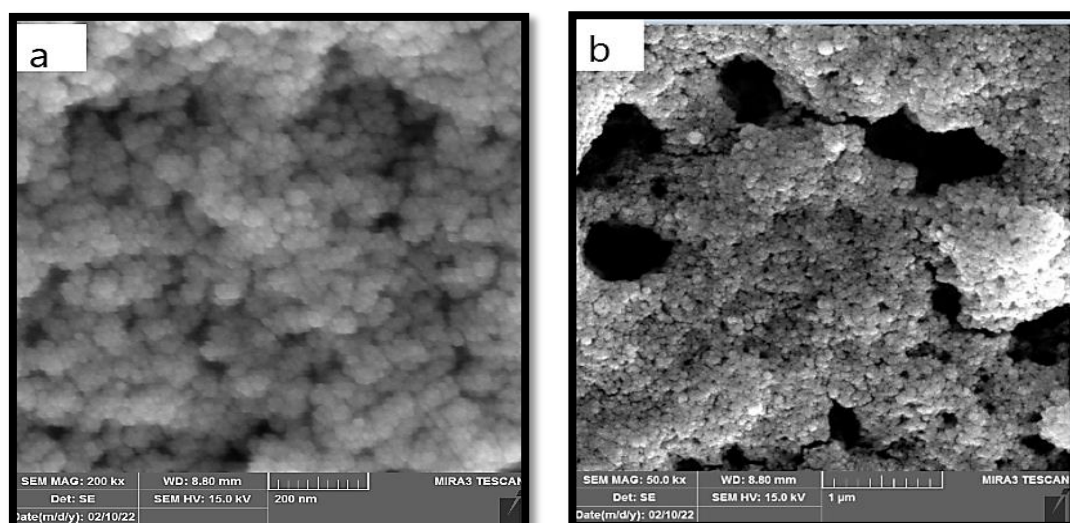
الشكل (6a-4) نتائج قياس (FE-SEM) مترابك (k1) النانوية (a) صورة للمجهر بتكبير (200kx) والجزء (b) يمثل صورة للمجهر بتكبير (50kx).



الشكل (6b-4): نتائج (FESEM) مترابك (k2) النانوية (a) صورة للمجهر بتكبير (200kx) والجزء (b) يمثل صورة للمجهر بتكبير (50kx)



الشكل (6c-4) : نتائج قياس (FESEM) متراكم (k3) (a) صورة للمجهر بتكبير (200kx) والجزء (b) يمثل صورة للمجهر بتكبير (50kx).

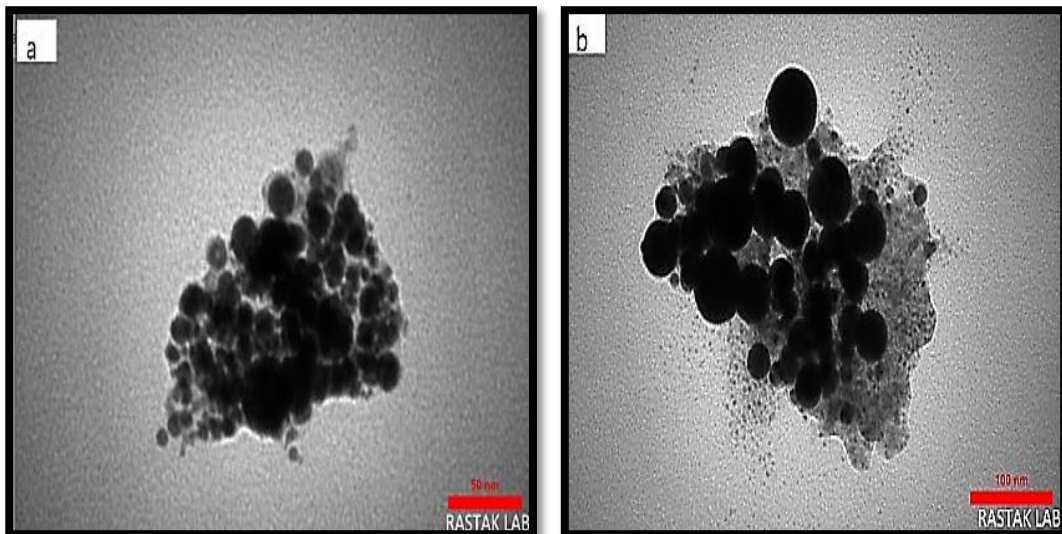


الشكل (6d-4): نتائج قياس (FESEM) متراكم (k4) (a) صورة للمجهر بتكبير (200kx) والجزء (b) يمثل صورة للمجهر بتكبير (50kx).

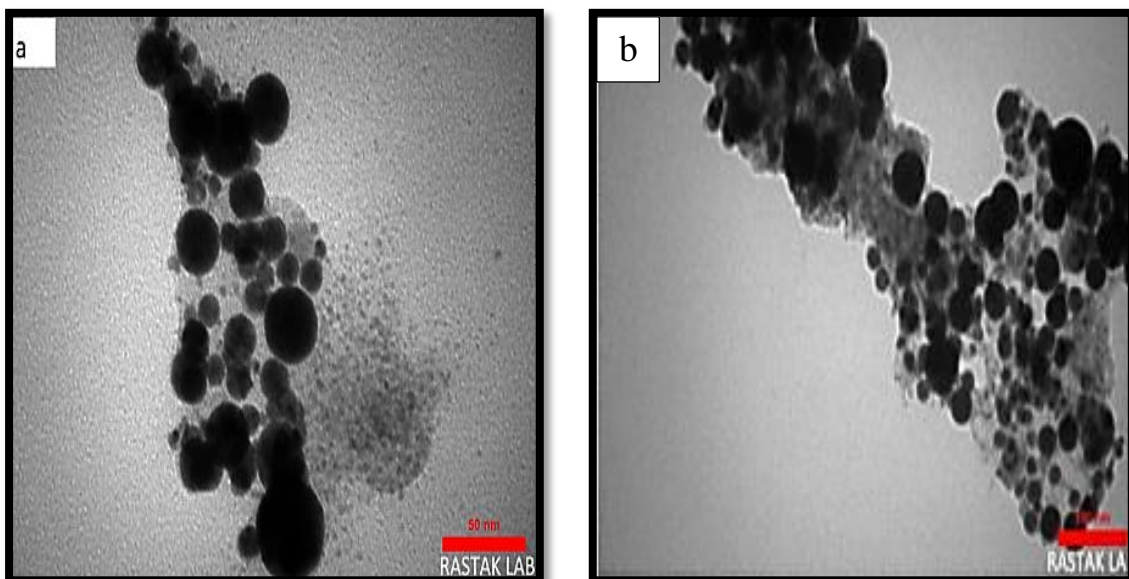
من خلال ملاحظة النتائج تبين ان التغيير في النسبة الحجمية للمتراكم (Au-Cu) لا يؤثر على الحجم الحبيبي للجسيمات النانوية في المتراكم وهذا يختلف عما كان قبل الخلط وسبب ذلك هو الاستئصال مرة اخرى بالليزر بعد الخلط وزيادة عدد النبضات الى 3000pules ادى الى تصغير حجم الجسيمات النانوية لمتراكم (Au-Cu) المحضرة بطريقة الاستئصال [119].

(4-4) نتائج قياسات المجهر الإلكتروني النافذ (TEM)

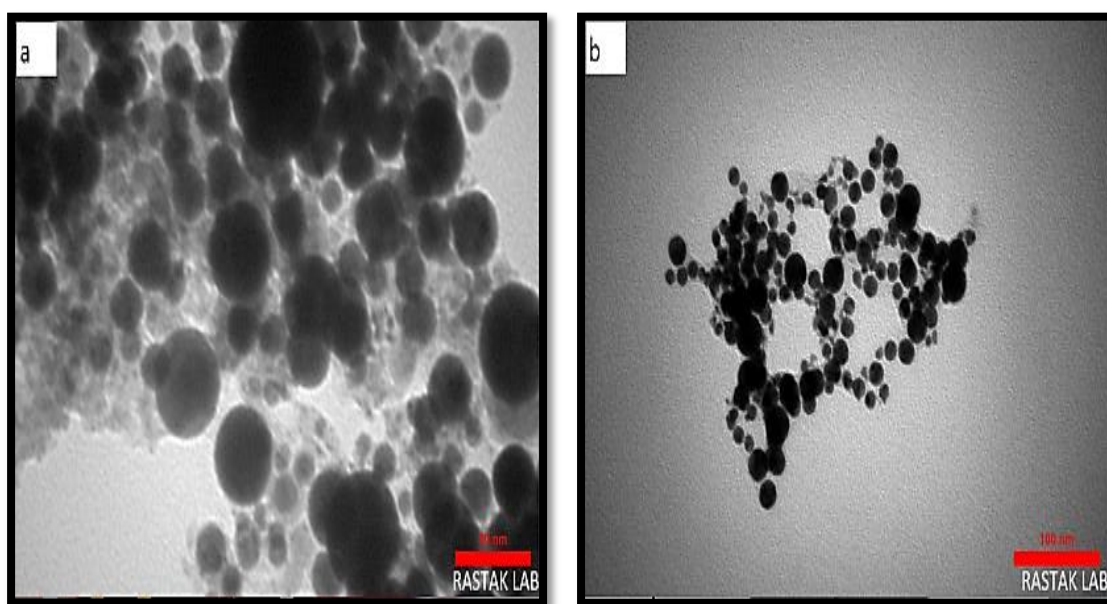
صور TEM لجزيئات مترافق الذهب -نحاس النانوية للعينات (A1, A2, A3, A4, A5 and B) المحضرة بطريقة الاستئصال بالليزر النبضي في الماء المقطر وبعد نبضات (1000 pulse) وبطاقة (660mJ) للطول الموجي (1064nm) كما في الشكل من (7f-4) الى (7a) اذ تؤكد الصور المجهرية تكوين الجسيمات النانوية الكروية بما ان عملية الاستئصال تمت في وسط حرمن دون أي عامل تغطية (Capping) فقد كانت بعض الجزيئات متداخلة فيما بينها كما لوحظ ان بعض الجسيمات النانوية الكروية تظهر بحجم كبير يرجع هذا الى ظاهرة التجمع او التكتل للعينات (A1, A2, A3, A4,A5 and B) على التوالي.



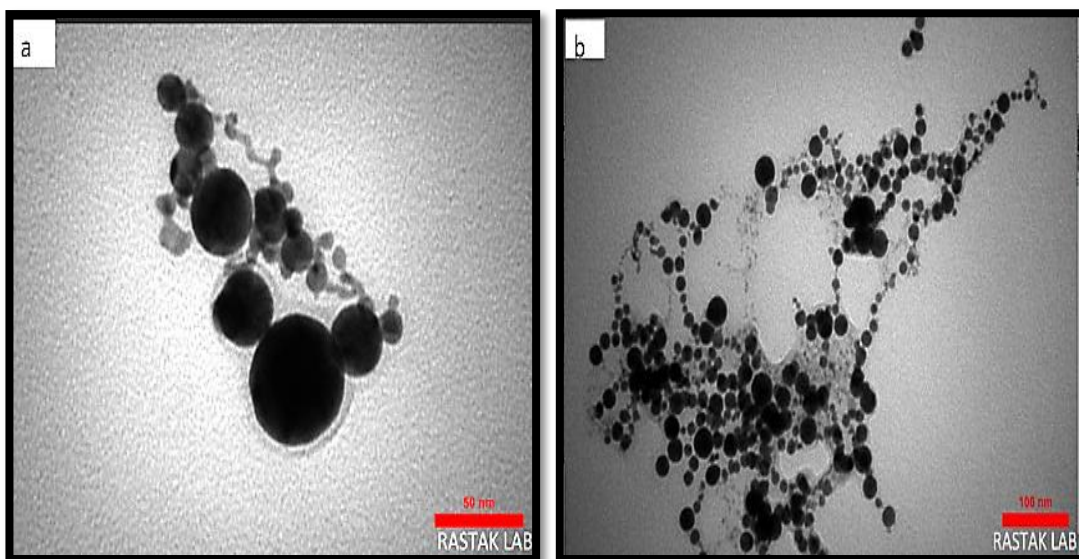
الشكل (7a-4): صورة (TEM) لجزيئات الذهب (A1) (a) صورة للمجهر وبمقاييس (50nm) والجزء (b) يمثل صورة للمجهر بمقاييس (100nm)



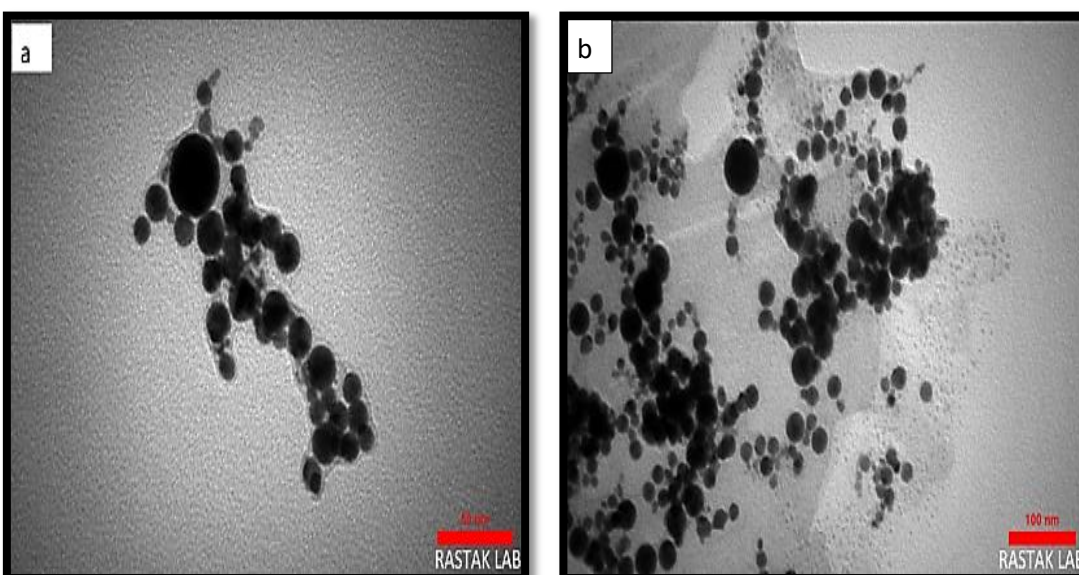
الشكل (7b-4): صورة (TEM) لجسيمات متراب (A2) صورة للمجهر وبمقاييس(50nm) والجزء (b) صورة للمجهر بمقاييس (100nm)



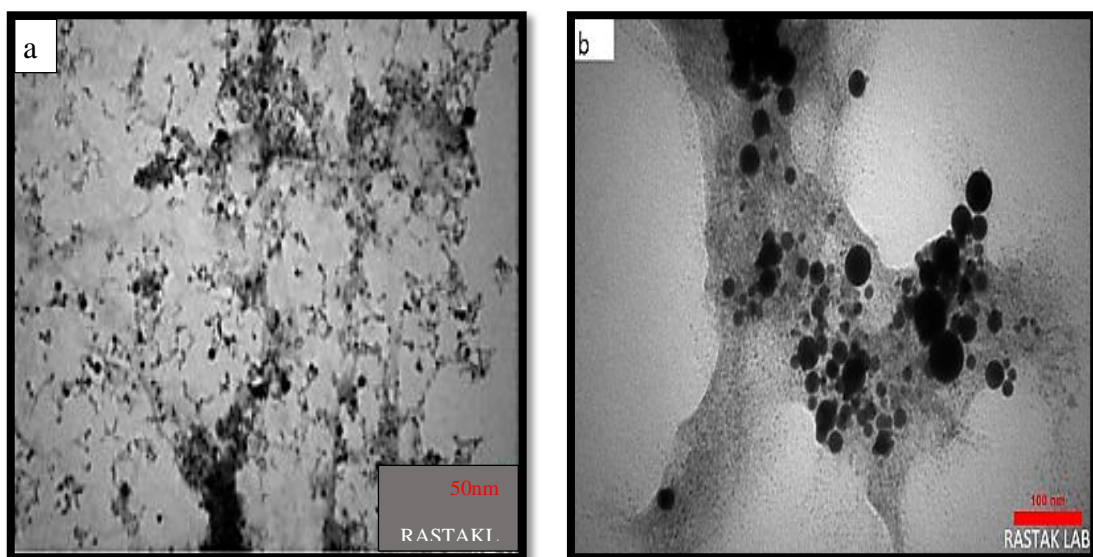
الشكل (7c-4) : صورة (TEM) لجسيمات متراب (A3) صورة للمجهر وبمقاييس(50nm) والجزء (b) يمثل صورة للمجهر بمقاييس (100nm)



الشكل (7d-4): صورة (TEM) لجسيمات مترابك (A4) صورة للمجهر وبمقاييس(50nm) والجزء (b) يمثل صورة للمجهر بمقاييس (100nm).

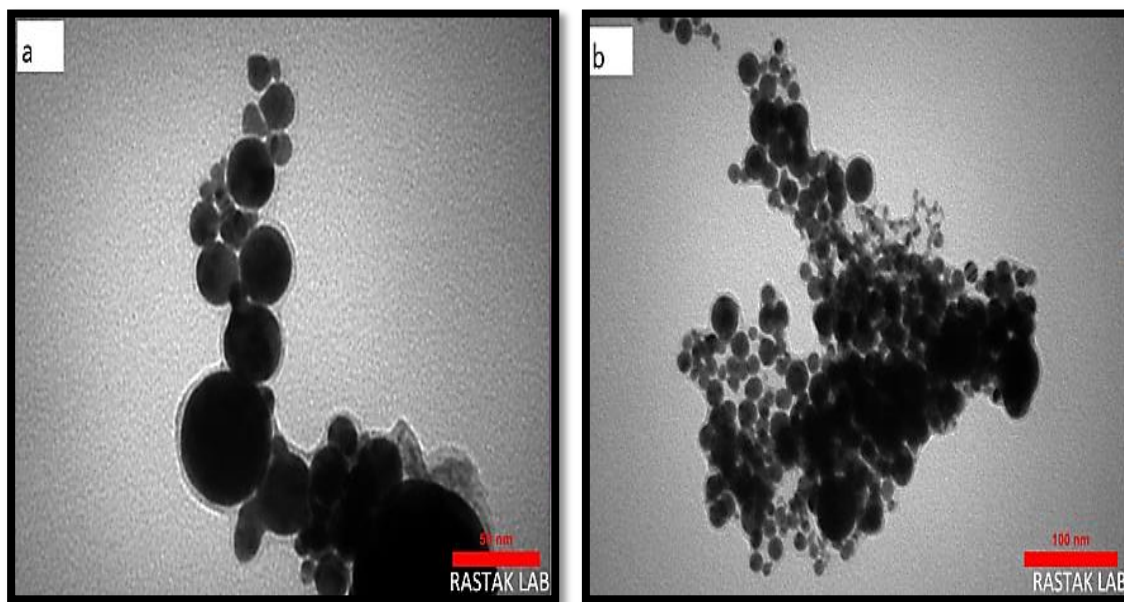


الشكل (7e-4): صورة (TEM) لجسيمات مترابك (A5) (a) صورة للمجهر وبمقاييس(50nm) والجزء (b) يمثل صورة للمجهر بمقاييس (100nm).

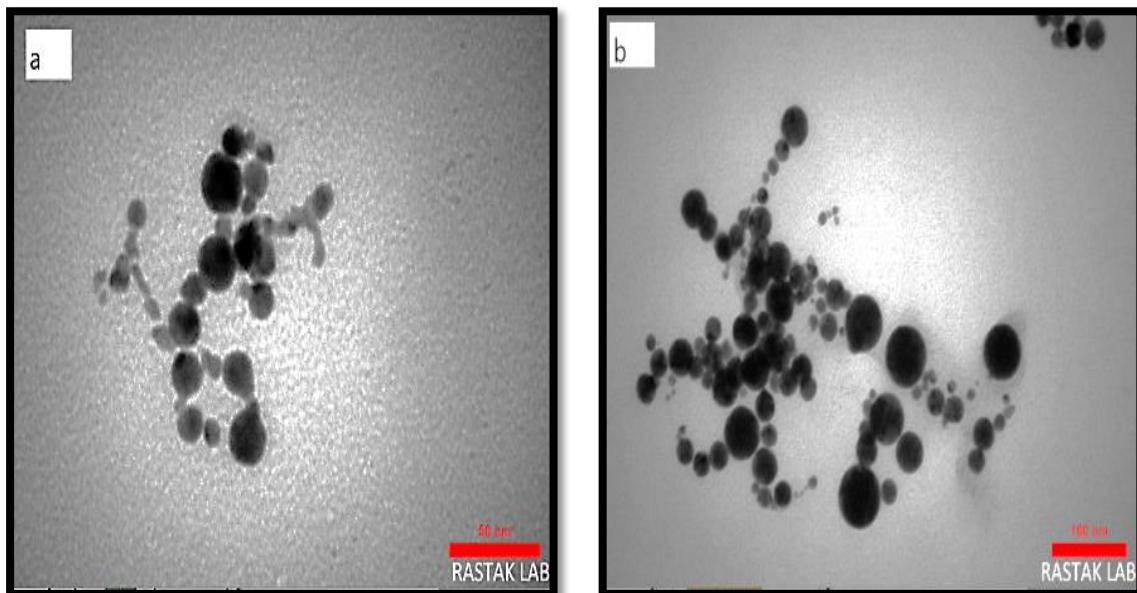


الشكل (7f-4): نتائج فحص (TEM) لجسيمات أكسيد النحاس النانوي(a) صورة للمجهر بمقاييس (50nm) و(b) يمثل صورة بمقاييس (100nm).

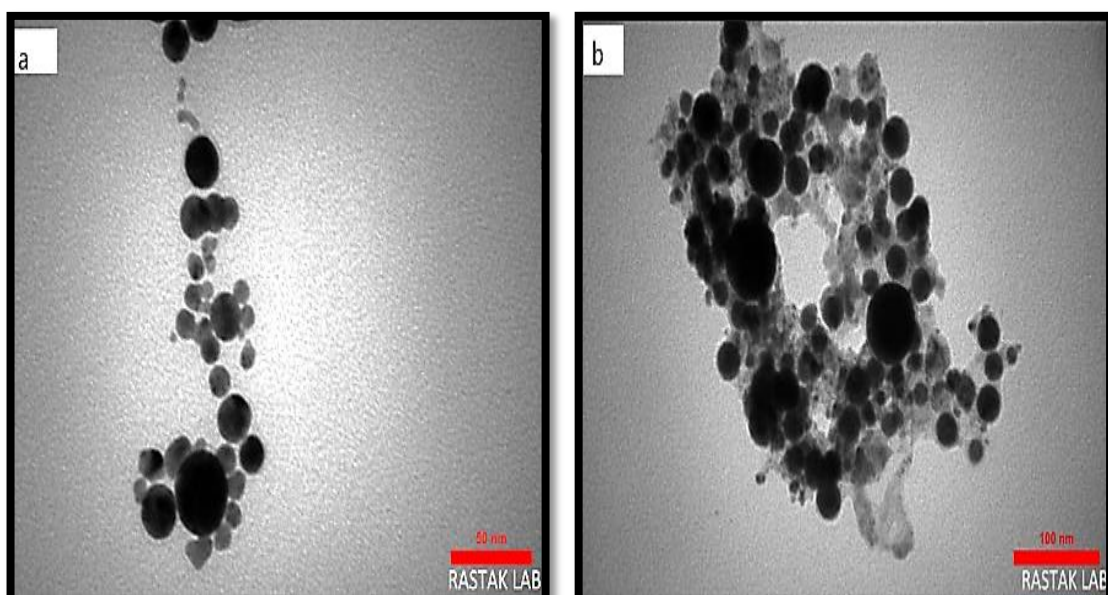
اما جسيمات متراكم الذهب- النحاس المحضرة بطريقة الاستئصال بالليزر النبضي عند (3000pulse) وبطاقة (J 660 m) تمتاز كل المتراكمات بشكل كروية ومن خلال الصور التي حصلنا عليها لاحظنا تواجد جسيمات نانوية على شكل (قشرة الـ (b)). كما في الشكل (8a-4). الى (8d-4)



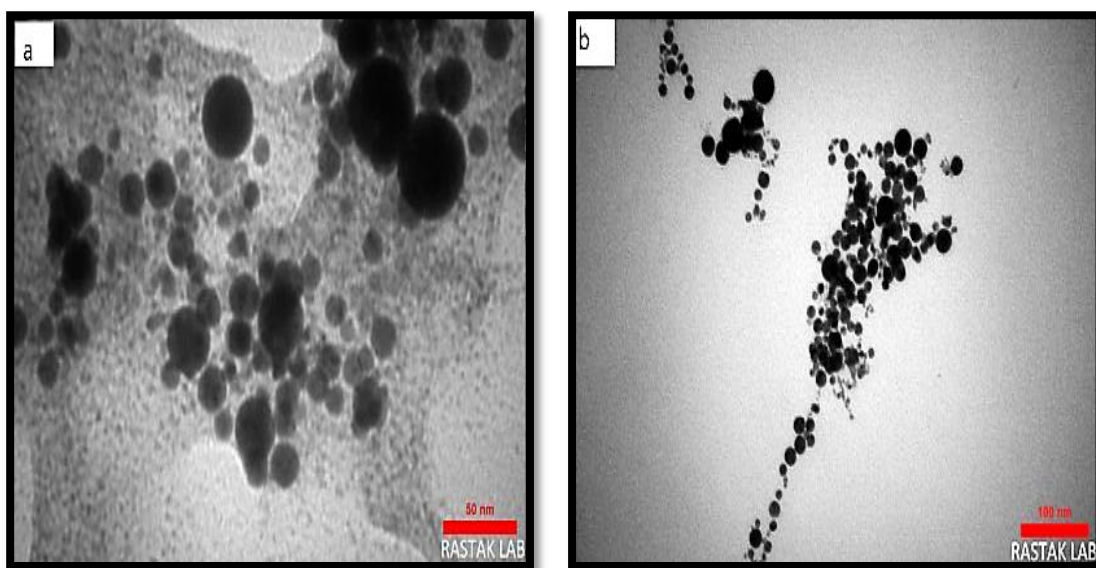
الشكل (8a-4): نتائج قياس (TEM) للمحلول الغروي لمتراكم جسيمات ذهب – النحاس النانوي (a) K1 صورة للمجهر بتكبير (50nm) ،(b) صورة للمجهر بتكبير(100nm).



الشكل (4b-4): نتائج قياس (TEM) للمحلول الغروي لمتراس ذهب –النحاس النانوي (K2) (a) صورة للمجهر بتكبير (50nm) ، (b) صورة للمجهر بتكبير(100nm) .



الشكل (4c-4): نتائج قياس (TEM) للمحلول الغروي لمتراس الذهب -النحاس النانوي (K3) (a) صورة للمجهر بتكبير (50nm) ، (b) صورة للمجهر بتكبير(100nm)

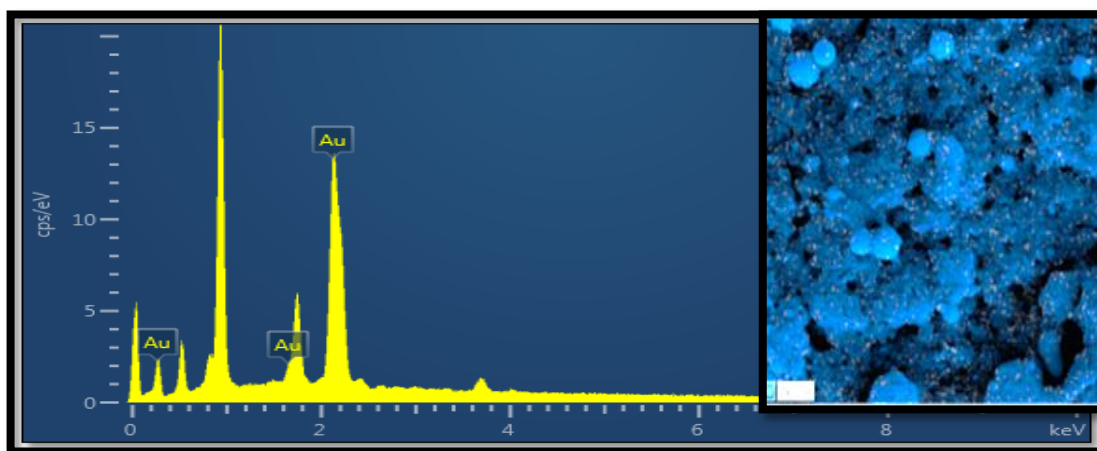


الشكل (8d-4): نتائج قياس (TEM) محلول الغروي لمتراكب جسيمات ذهب - النحاس النانوي (K4) (a) صورة للمجهر بتكبير (50nm) ، (b) صورة للمجهر بتكبير(100nm).

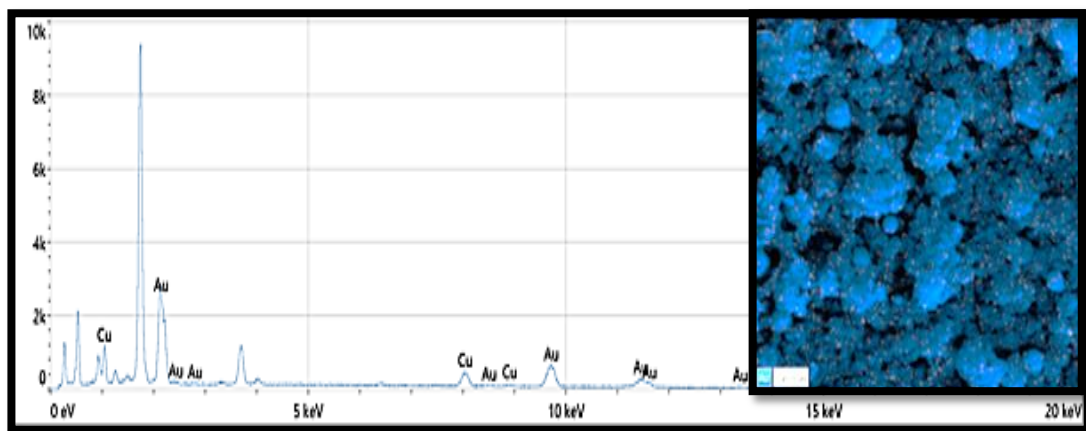
5-4) نتائج مطيافية تشتت الطاقة بالأشعة متراكب الذهب- النحاس النانوي

X-ray energy dispersal spectroscopy (EDS) of Au and CuO CompositeResults

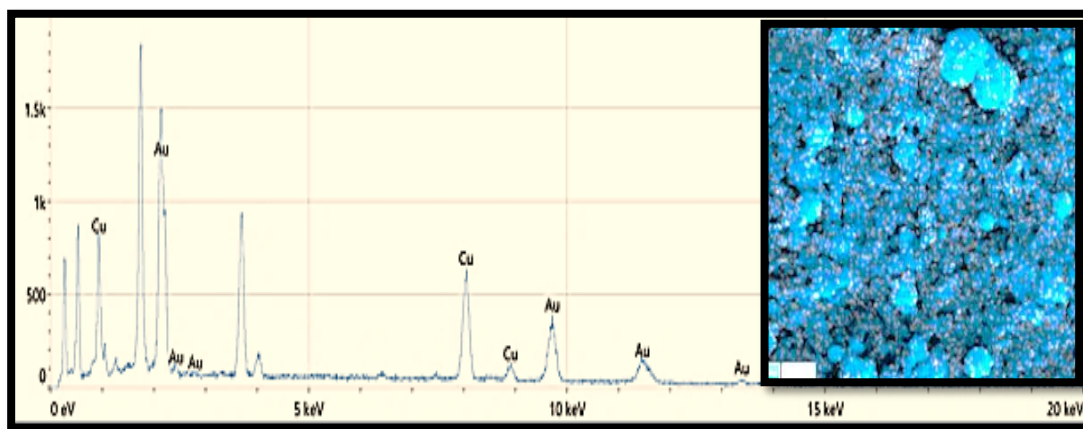
الشكل (9-4)(f-a) يوضح مطيافية تشتت الطاقة بالأشعة (EDS) للأغشية متراكب الذهب و النحاس النانوي المحضرة بتقنية الليزر النبضي في الماء المقطر للعينات (A1, A2, A3, A4, A5, and B) وكلما الطولين الموجيين (532nm,1064nm) أكّدت (EDX) وجود جسيمات الذهب النانوية في العينة التي تم تحليلها وبالنسبة المبنية في الجدول (6-4) .



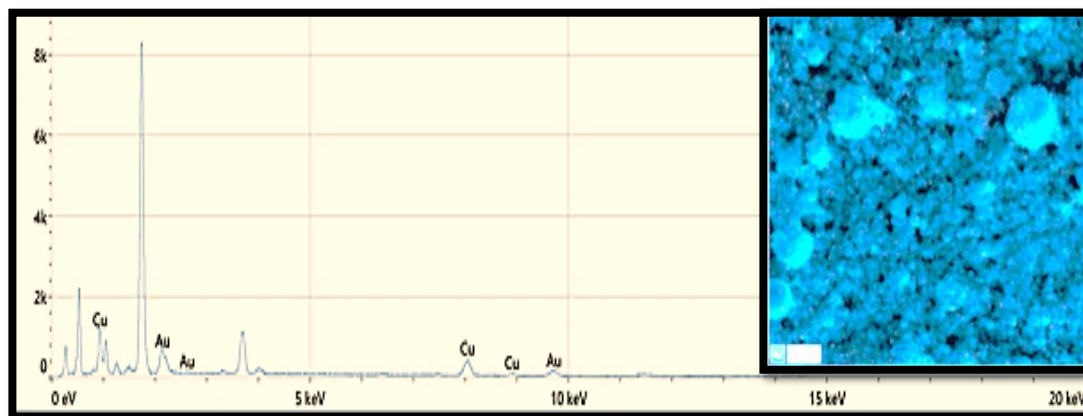
الشكل (9a-4): مطيافية تشتت الطاقة لجسيمات الذهب (A1) عند الطول الموجي 1064nm .



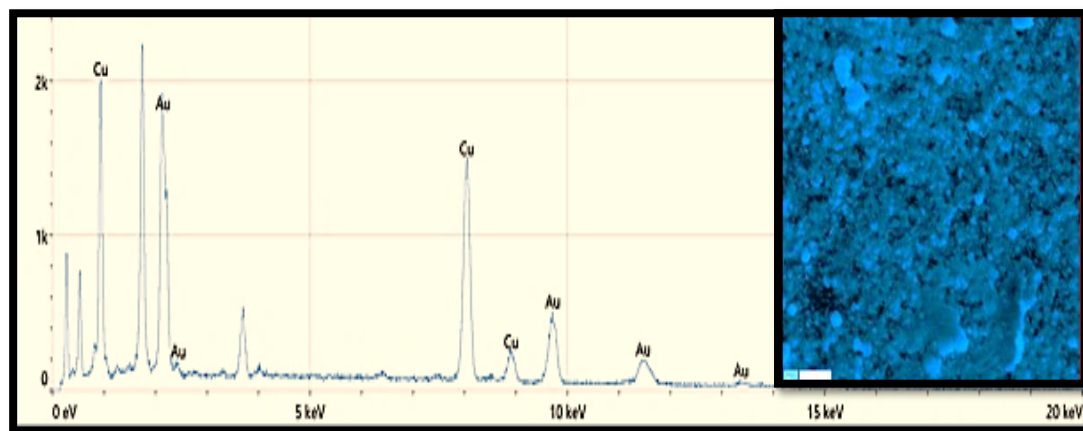
. الشكل (9b-4): مطيافية تشتت الطاقة متراكب الذهب و النحاس(A2) عند الطول الموجي 1064nm .



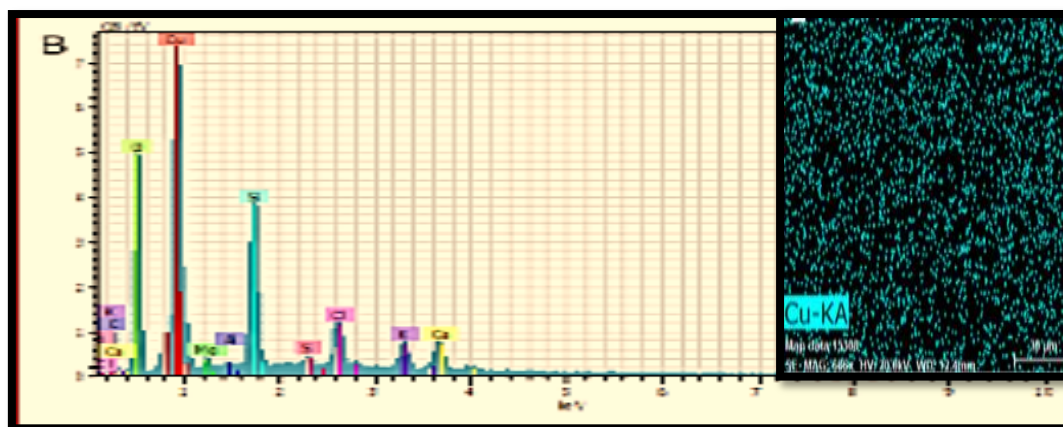
. الشكل (9c-4): مطيافية تشتت الطاقة متراكب الذهب و النحاس (A3) عند الطول الموجي 1064nm .



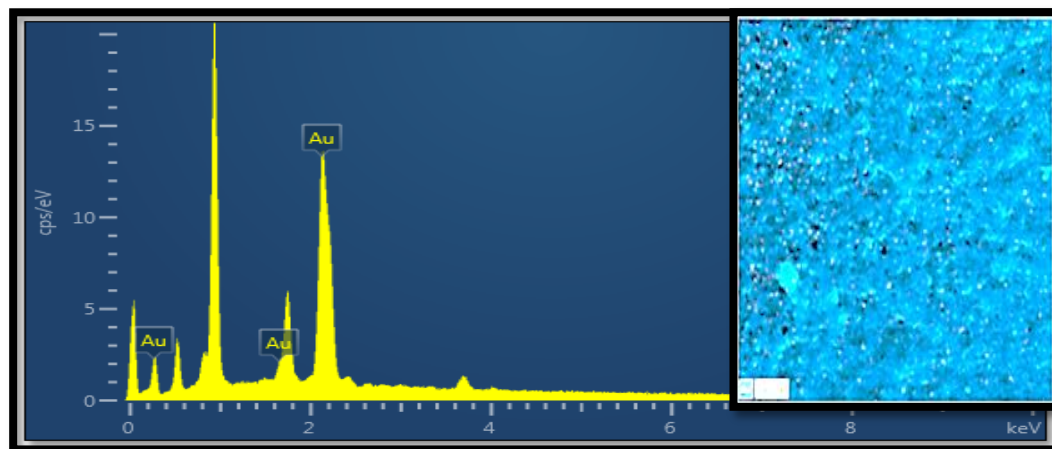
. الشكل (9d-4): مطيافية تشتت الطاقة متراكب الذهب و النحاس (A4) عند الطول الموجي 1064nm .



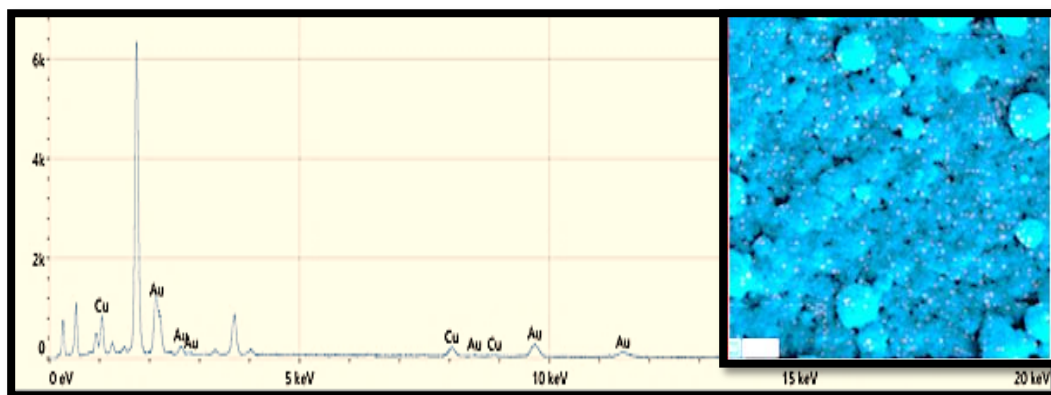
الشكل (9e-4): مطيافية تشتت الطاقة متراكب الذهب والنحاس (A5) عند الطول الموجي 1064nm .



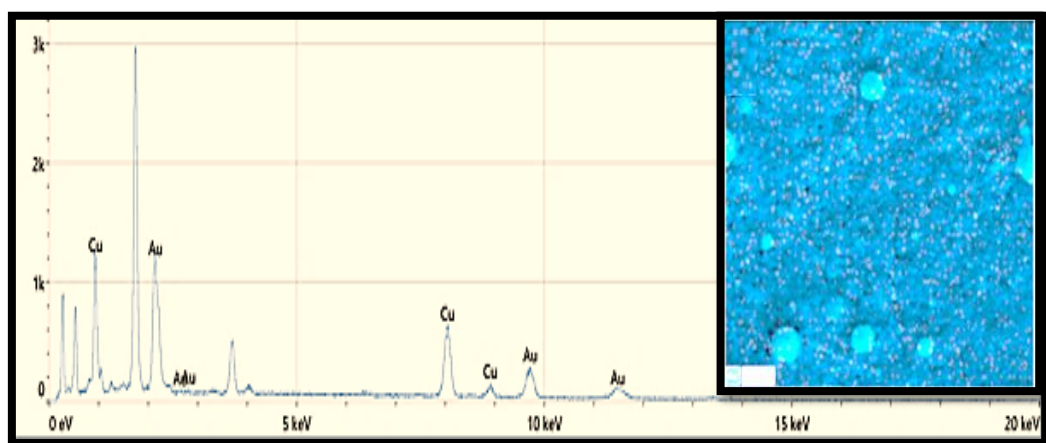
الشكل (9f-4): مطيافية تشتت الطاقة بالأشعة السينية لمادة هدف النحاس النانوي عند الطول الموجي 1064nm



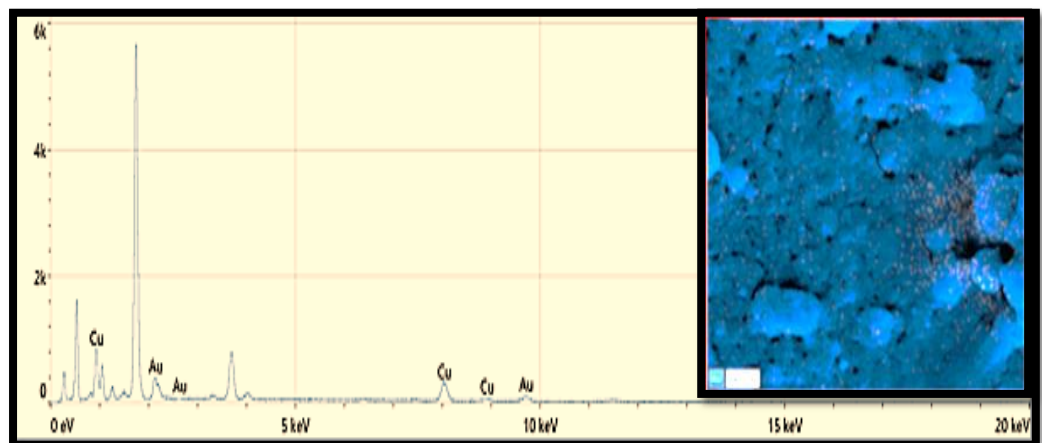
الشكل (10a-4): مطيافية تشتت الطاقة الذهب النقي (A1) عند الطول الموجي 532nm



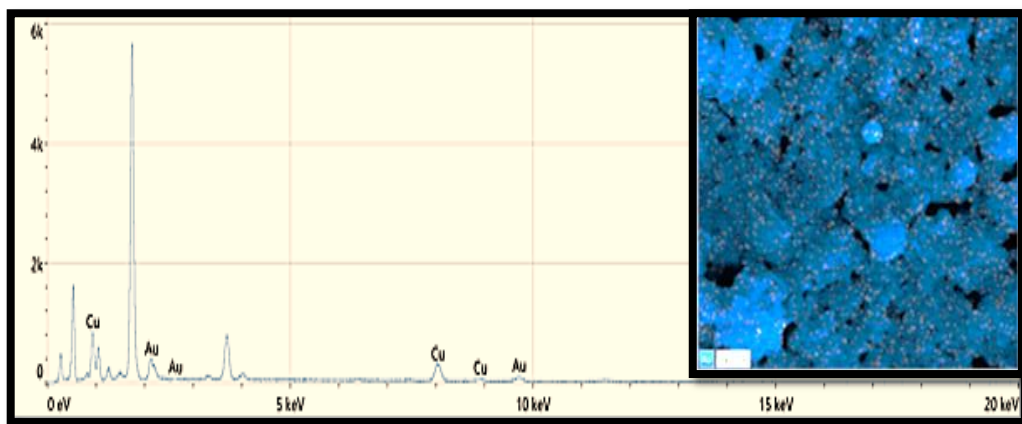
الشكل (10b-4) : مطيافية تشتت الطاقة متراكب الذهب والنحاس (A2) عند الطول الموجي 532nm



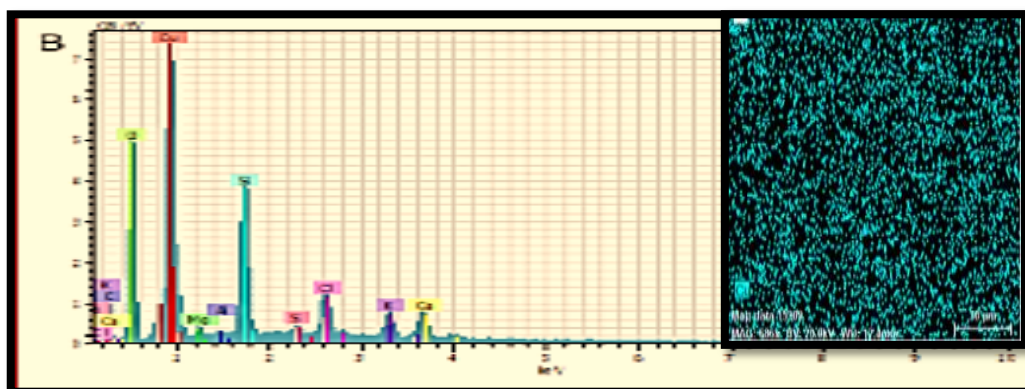
الشكل (10c-4) : مطيافية تشتت الطاقة متراكب الذهب والنحاس (A3) عند الطول الموجي 532nm



الشكل (10d-4) : مطيافية تشتت الطاقة متراكب الذهب والنحاس (A4) عند الطول الموجي 532nm



الشكل (10e-4): مطيافية تشتت الطاقة لمتراس الذهب والنحاس (A5) عند الطول الموجي 532nm



الشكل (10f-4): مطيافية تشتت الطاقة لأوكسيد النحاس النانوي (B) عند الطول الموجي 532nm

الجدول (4-5): النسبة المئوية لمتراس الذهب والنحاس عند الطول الموجي 1064nm

رمز العينة	Element	Wt%	Atomic%
A1	Au	100	100
A2	Au	86.2	66.9
	Cu	13.8	33.1
A3	Au	69.9	42.9
	Cu	30.1	57.1
A4	Au	55.9	29
	Cu	44.1	71
A5	Au	55.9	29
	Cu	44.1	71

الجدول (6-4): النسبة المئوية لمترافق الذهب والنحاس للطول الموجي 532nm

رمز العينة	Element	Wt%	Atomic%
A1	Au	100	100
A2	Au	86	66.5
	Cu	14	33.5
A3	Au	76.5	51.2
	Cu	23.5	48.8
A4	Au	63.2	35.7
	Cu	36.8	64.3
A5	Au	48.6	23.4
	Cu	51.4	76.6

الشكل (4) و (9f-4) و (10f-4) يوضح مطيافية تشتت الطاقة بالأشعة (EDS) للهدف النحاس نلاحظ وجود عناصر اخرى في العينة و هي من مكونات الزجاج الذي تم الترسيب عليها محلول أكسيد النحاس مثل الكاربون والالمنيوم والسلیکون والمغنيسيوم والكلور والكبريت كما موضح في الجدول (7-4) و (8-4).

الجدول (7-4): النسبة المئوية للعناصر الموجودة في مادة هدف النحاس النانوي عند الطول الموجي 1064nm

Element	wt%	Atomic%
Cu	65.3	65.3
O	25.33	6.82
C	6.36	16.41
Si	2.14	3.57
Ca	0.13	1.59
CL	0.12	1.68
K	0.22	1.28
Mg	0.20	1.51
S	0.08	1.69
Al	0.12	0.15
	100	100

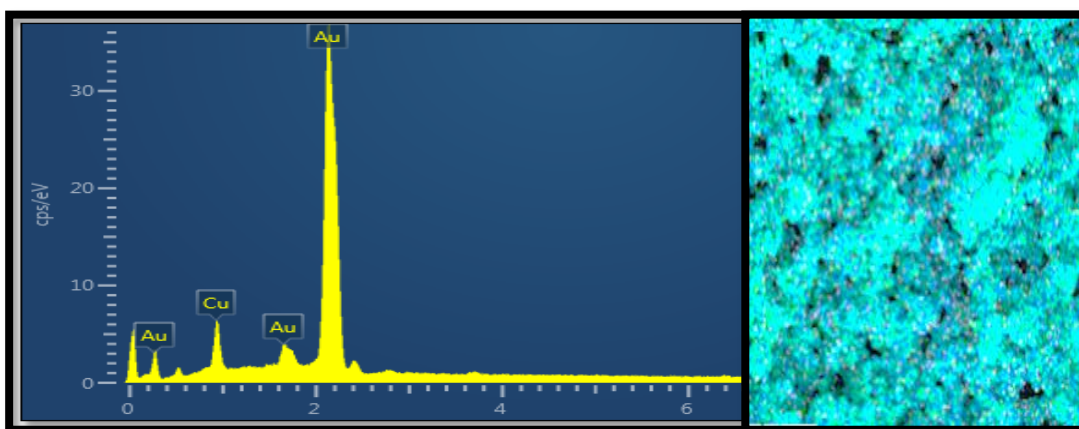
الفصل الرابع

النتائج والمناقشة

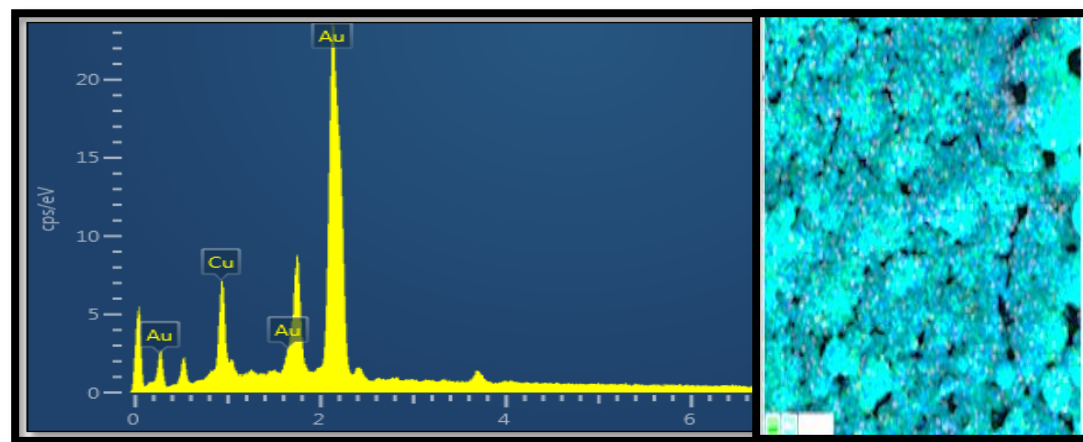
جدول (4-8): النسبة المئوية للعناصر الموجودة في مادة الهدف النحاس النانوي عند الطول الموجي 532nm

Element	wt%	Atomic%
Cu	65.74	45.71
O	24.60	20.32
C	7.89	21.82
SI	6.71	9.16
Ca	3.01	1.99
S	0.50	0.42
Mg	0.48	0.53
Al	1.07	0.06
	100	100

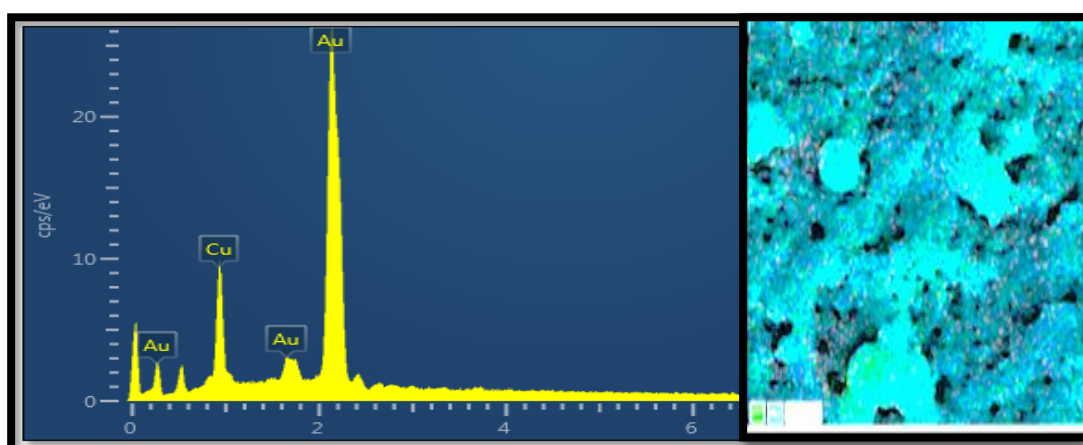
الشكل (d-a-11-4) يعرض اطيف EDX للجسيمات النانوية من المتراكب (Au-Cu) عند الطول الموجي (1064nm) وعدد نبضات (3000p) عند الطاقة (660mJ) بالنسبة الحجمية (Au50%-Cu50%),(Au65%-Cu35%),(Au75%-Cu25%),(Au85%-Cu15%) حيث بيّنت (EDS) وجود جسيمات نانوية من الذهب والنحاس في كل عينة على طول القمم التي تؤكّد تكوين الجسيمات النانوية المصنوعة من متراكبات الذهب والنحاس والجدول (4-4) يوضح النتائج.



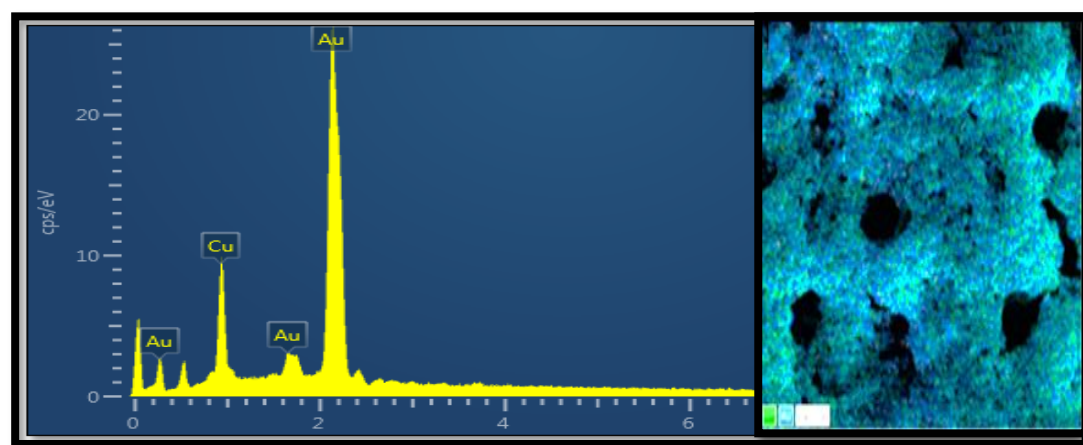
الشكل(11a-4): مطيافية تشتت الطاقة بالأشعة السينية لمتراكب K1 للطول الموجي . 1064nm



الشكل (11b-4): مطيافية تشتت الطاقة بالأشعة السينية لمترافق K2 للطول الموجي (1064nm).



الشكل (11c-4): مطيافية تشتت الطاقة بالأشعة السينية لمترافق K3 للطول الموجي (1064nm).



الشكل (11d-4): مطيافية تشتت الطاقة بالأشعة السينية للمترافق K4 للطول الموجي .1064nm

الفصل الرابع

النتائج والمناقشة

الجدول (9-4): النسبة المئوية لمتراتب الذهب وأوكسيد النحاس النانوية للطول الموجي 1064nm

رمز العينة	المادة	wt%	Atomic%
K1	50% Au-50% Cu	74.73	48.83
		25.27	51.17
K2	65% Au- 35% Cu	81.06	57.99
		18.94	42.01
K3	75% Au- 25% Cu	84.21	63.24
		15.79	36.76
K4	85% Au- Cu35%	90.35	75.13
		9.65	24.87

Optical Properties

6-4) الخواص البصرية

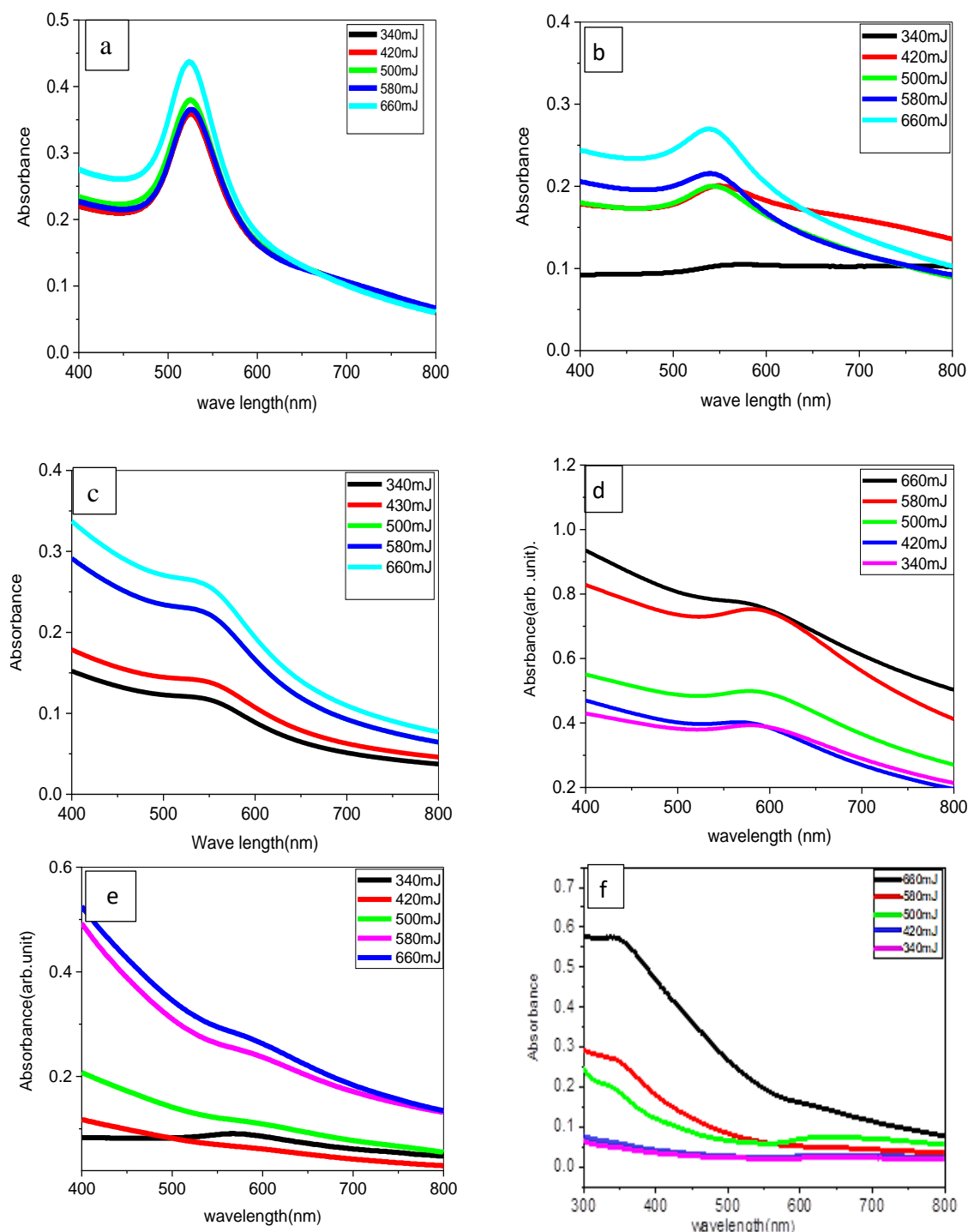
تم قياس التراكيز بواسطة جهاز مطيافية الامتصاص الذري للنحاس و الذهب ومتراتب الذهب - النحاس للعينات (A1, A2, A3, A4,A5 and B) المحضرة عند الطاقة (340 mJ) وبتردد (1Hz) وعدد نبضات (1000 pulse) المحضرة ب (3ml) من الماء المقطر حيث اظهرت النتائج أن جسيمات النانوية كانت ذات تركيز أعلى عند الطاقة (660mJ) من الطاقة (340 mJ) كما في الجدول (10-4) ونلاحظ هناك تقارب بين تركيز الذهب (A2, A3) وكذلك بين تراكيز (A5, A4)

الجدول (10-4) نتائج فحص AAS الجسيمات النانوية للذهب والنحاس ومتراتب الذهب والنحاس

رمز العينة	عدد النبضات	الطاقة(mJ)	التركيز (mg/ml)
A1	1000	660	171.87
		340	51.6
A2	1000	660	59.25
		340	26.81
A3	1000	660	56.37
		340	25.81
A4	1000	660	31.43
		340	26.06
A5	1000	660	31.06
		340	22.81
B	1000	660	4.14
		340	3.93

Absorbance spectrum Results**1-6-4) نتائج طيف الامتصاصية**

ان لدراسة طيف الامتصاصية فائدة مهمة في تحديد التطبيق العلمي الذي يمكن استخدام المادة فيه لقد أجريت قياسات طيف الامتصاصية للمواد المحضرة كافة يوضح الشكل (a,b,c,d,e,f-12-4) على التوالي طيف الامتصاصية لجسيمات مترافق الذهب والنحاس النانوية للعينات المحضرة (A1, A2, A3, A4,A5 and B) على التوالي كدالة للطول الموجي ضمن المدى (400-800nm) نلاحظ من الشكل ان الامتصاصية تقل مع زيادة الطول الموجي لتكون مادة ذات نفاذية عالية في المنطقة المرئية، طيف الامتصاصية يزداد بزيادة طاقة الاستئصال كذلك بزيادة وزن الذهب حيث تم الحصول على اقل امتصاصية عند عينات مترافق (A4, A5) لقلة نسبة الذهب فيها وبسب وجود معادن اخرى داخلة في تركيب الذهب مثل النikel والنحاس والفضة واعلى امتصاصية عند عينات الذهب (A1) عند الطاقة (660mJ) وبعد نبضات (600 pulse) وتعزى الزيادة في الامتصاص الى زيادة في تركيز الجسيمات النانوية (NPs) الجدول (11-4) يوضح نتائج طيف الامتصاصية عند الطول الموجي (1064nm).



(A1, A2, .600pulse) على التوالي بطاقات مختلفة وعند الطول الموجي (1064nm) (A3, A4, A5 and B) الشكل (4-12): طيف الامتصاصية كدالة للطول الموجي لجسيمات الذهب النانوية واوكسيد النحاس للعينات

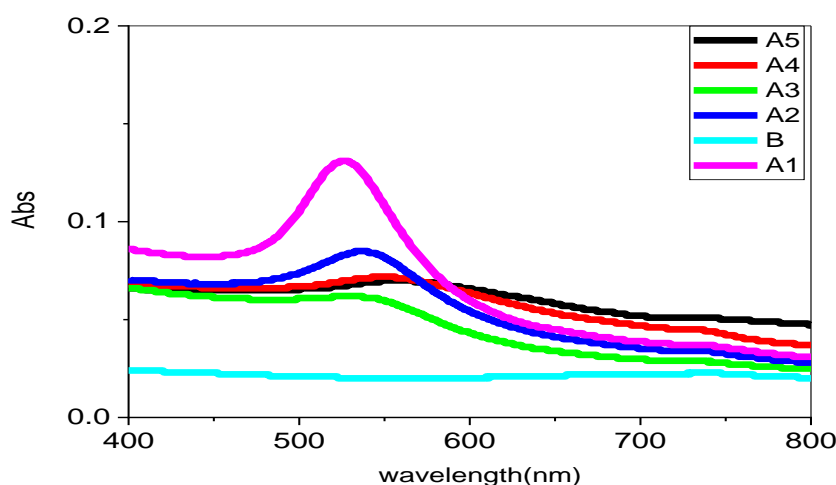
لاحظنا من الاشكال وجود قمة رنين البلازمون السطحي (SPR) لجسيمات الذهب النانوية عند الطول الموجي (1064nm) هذا يدل على تشكيل الجسيمات النانوية حيث نلاحظ ان عرض قم الامتصاص يقل وارتفاع القم يزداد بزيادة تراكيز الجسيمات النانوية للمترافقين (Au-Cu) اذ ان أعلى قمة امتصاص عند الطاقة (660mJ) كما يظهر انزياح قليل في عرض القمة أن سبب

الفصل الرابع

النتائج والمناقشة

ظهور القم يعتمد على صغر معدل حجم الجسيمات الناتجة مع زيادة طاقة الليزر المستخدمة في عملية الاستئصال وذلك بسبب زيادة تكوين الجسيمات النانوية وهذا يتفق مع الباحث [114]. ويوضح الجزء (f) من الشكل (12-4) طيف الامتصاصية لجسيمات أوكسيد النحاس النانوية المحضرة يقل مع زيادة الطول الموجي حيث تزداد النفاذية عند الطول الموجي اكبر من (400 nm) كما نلاحظ انه بزيادة عدد النبضات تظهر قم الامتصاص في المنطقة فوق البنفسجية من الطيف عند عدد النبضات (600Pulse) وعندها يكون تردد الالكترون مساوي لتردد الاشعة الكهرومغناطيسية للضوء الساقط وهذا يتفق مع الباحث [13].

أما الشكل (13-4) فيوضح اطيف الامتصاص البصري لجسيمات الذهب- النحاس النانوية المترابطة للعينات (B) عند الطول الموجي (532nm) وعند الطاقة 660mJ وعدد نبضات 1000pulse وبمدى من (400-800nm) اذ يلاحظ من الشكل الامتصاصية تقل مع زيادة الطول الموجي أيضا لتكون مادة ذات نفاذية عالية عند الطول الموجي من 600nm الى 800nm ان قم الامتصاص منخفضة عند انخفاض تركيز جسيمات الذهب مما يؤدي الى اتساع في عرض القمة ومن خلال النتائج التي حصلنا عليها ان قم الامتصاصية ورنين البلازمون عند الطول الموجي (1064nm) افضل من الطول الموجي (532nm) وسبب ذلك صغر حجم الجسيمات النانوية عند الطول الموجي (1064nm). والجدول (13-4) يوضح نتائج طيف الامتصاصية عند الطول الموجي (532 nm).



الشكل (13-4): طيف الامتصاصية كدالة للطول الموجي لجسيمات الذهب ومتراكب (Au-Cu) النانوية واوكسيد النحاس النانوي للعينات (A1, A2, A3, A4,A5, and B) على التوالي عند الطاقة (J 660mJ وعند الطول الموجي (532nm) وعدد نبضات (1000pulse).

الفصل الرابع

النتائج والمناقشة

الجدول (11-4): نتائج فحص طيف الامتصاصية لجسيمات مترافق الذهب -أوكسيد النحاس والنحاس و الذهب الناتوية عند طول موجي (1064nm) عند الطاقات المختلفة عند (600pulse).

رمز العينة	الطاقة	قمة رنين البلازمون	الامتصاصية
A1	340	525	0.35
	420	525	0.35
	500	525	0.35
	580	525	0.38
	660	519	0.43
A2	340	550	0.10
	420	545	0.20
	500	548	0.19
	580	543	0.21
	660	535	0.27
A3	340	525	0.26
	420	523	0.21
	500	599	0.19
	580	531	0.19
	660	549	0.10
A4	340	575	0.39
	420	575	0.41
	500	584	0.49
	580	588	0.74
	660	588	0.77
A5	340	582	0.06
	420	579	0.04
	500	575	0.11
	580	582	0.24
	660	586	0.27
B	340	346	0.56
	420	348	0.26
	500	345	0.19
	580	312	0.06
	660	312	0.06

الفصل الرابع

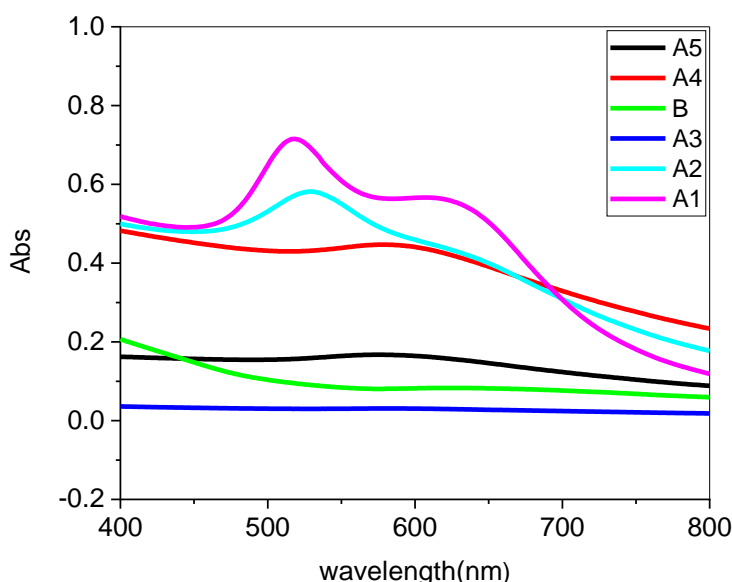
النتائج والمناقشة

الجدول (12-4): نتائج فحص طيف الامتصاصية لجسيمات النحاس و الذهب ومترافق الذهب والنحاس

الثانوية عند طول موجي 532nm وعدد نبضات 1000Pulse

رمز العينة	الطاقة (mJ)	قمة رنين البلازمون (nm)	الامتصاصية
A1	660	519	0.12
A2	660	525	0.08
A3	660	555	0.079
A4	660	518	0.061
A5	660	562	0.075
B	660	331	0.57

والشكل (14-4) يوضح طيف الامتصاصية كدالة للطول الموجي بدءاً من 400nm إلى 800nm (عدد نبضات 1000 Pulse) حيث نلاحظ أن طيف الامتصاصية يزداد مع زيادة عدد نبضات الليزر ونسبة الذهب وظهور قمة البلازمون الرنين بشكل واضح وهذا يدل على تكوين الجسيمات الثانوية بترافق أعلى.



الشكل (14-4): الامتصاصية لجسيمات مترافق الذهب- النحاس الثانوية للعينات (A1, A2, A3, A4, A5, and B) عند الطاقة J 660m 1000pulse و الطول الموجي 1064nm

من خلال الشكل (14-4) طيف الامتصاصية لجسيمات أوكسيد النحاس عند الطول الموجي (1064nm) حيث نلاحظ تناقص سريع في طيف الامتصاص و عدم ظهور قمة البلازمون

الفصل الرابع

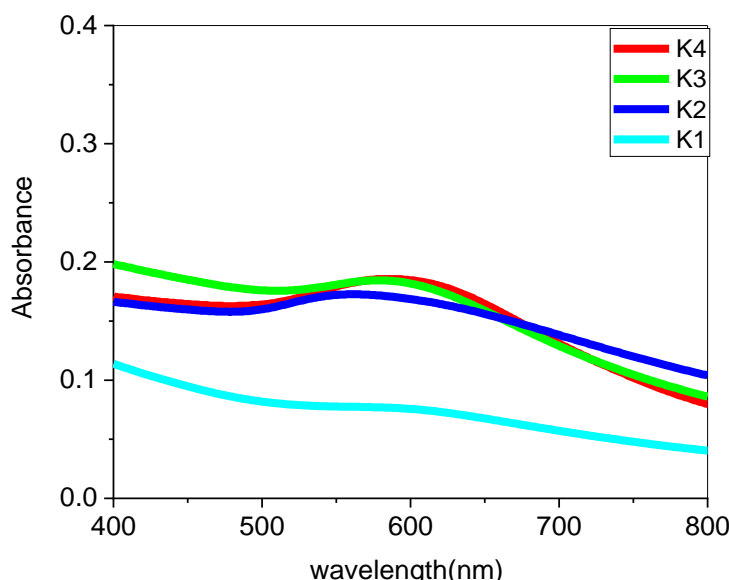
النتائج والمناقشة

الرنين. بسبب حدوث تكثيل للجسيمات النانوية وبذلك يزداد حجم الجسيمات النانوية وتستقر المادة في القاع نتيجة للتكدس مما يؤدي إلى انخفاض الامتصاصية و بسبب زيادة النبضات الى (1000pulse) تتشكل كمية كبيرة من الجسيمات النانوية في المحلول لكن نلاحظ انخفاض شدة الامتصاصية للجسيمات المحضرة عند (1000) نبضة عن العينة المحضرة عند (600) نبضة مما يشير الى سرعة تأكسد جسيمات النحاس النانوية الناتجة بسبب استمرار تفاعل مع الاوكسجين المذاب في الماء كما يرجع توسيع ذروة الامتصاص لرنين البلازمون الى تكثيل الجسيمات النانوية نظراً لعدم استخدام اي عامل تغطية [116]، الجدول (13-4) يوضح نتائج الامتصاصية عند طاقة (J 660mJ) و عدد نبضات (1000) نبضة.

الجدول (13-4): نتائج الامتصاصية ورنين البلازمون (SPR) عند J 660mJ و عدد نبضات 1000Pulse لجسيمات الذهب و مترافق الذهب و النحاس و اكسيد النحاس عند الطول الموجي 1064nm

رمز العينة	قمة رنين البلازمون SPR(nm)	الامتصاصية
A1	518	0.72
	619	0.58
A2	525	0.58
A3	573	0.45
A4	598	0.09
A5	571	0.18
B	326	0.27

والشكل (15-4) يوضح طيف الامتصاصية لمترافق الذهب - النحاس النانوي المحضرة بطريقة الاستئصال بالليزر عند طول موجي (nm 1064) وبطاقة (660mJ) و عدد نبضات (3000pulse) نلاحظ اتساع في عرض قمة الامتصاصية لمترافق الذهب و النحاس مقارنة بالمادة الاصلية قبل الخلط ، ان عدم ثبات اللون بعد الخلط واثناء تعرضها للليزر(3000) نبضة يدل على أن هناك تغيراً في حجم الجسيمات النانوية وكذلك بسبب سرعة تأكسد النحاس وتفاعلاته مع الاوكسجين المذاب في الماء المقطر وهذا يتفق مع [116].والجدول (14-4) يوضح نتائج الامتصاصية عند الطاقة(J 660mJ) و عدد نبضات (3000pulse)



الشكل (15-4) طيف الامتصاصية كدالة للطول الموجي لمتراكب الذهب و النحاس المحضرة بطريقه الليزر النبضي للطول الموجي 1064nm و الطاقة 660mJ عدد نبضات 3000 نبضة.

الجدول (14-4): النتائج التجريبية لامتصاصية ورنين البلازمون (SPR) لمتراكب الذهب - النحاس عند 3000Pulse 660mJ عدد نبضات

رمز العينة	قمة رنين البلازمون SPR(nm)	الامتصاصية
K1	598	0.07
K2	594	0.16
K3	594	0.18
K4	589	0.18

(7-4) نتائج قياس جهد زيتا

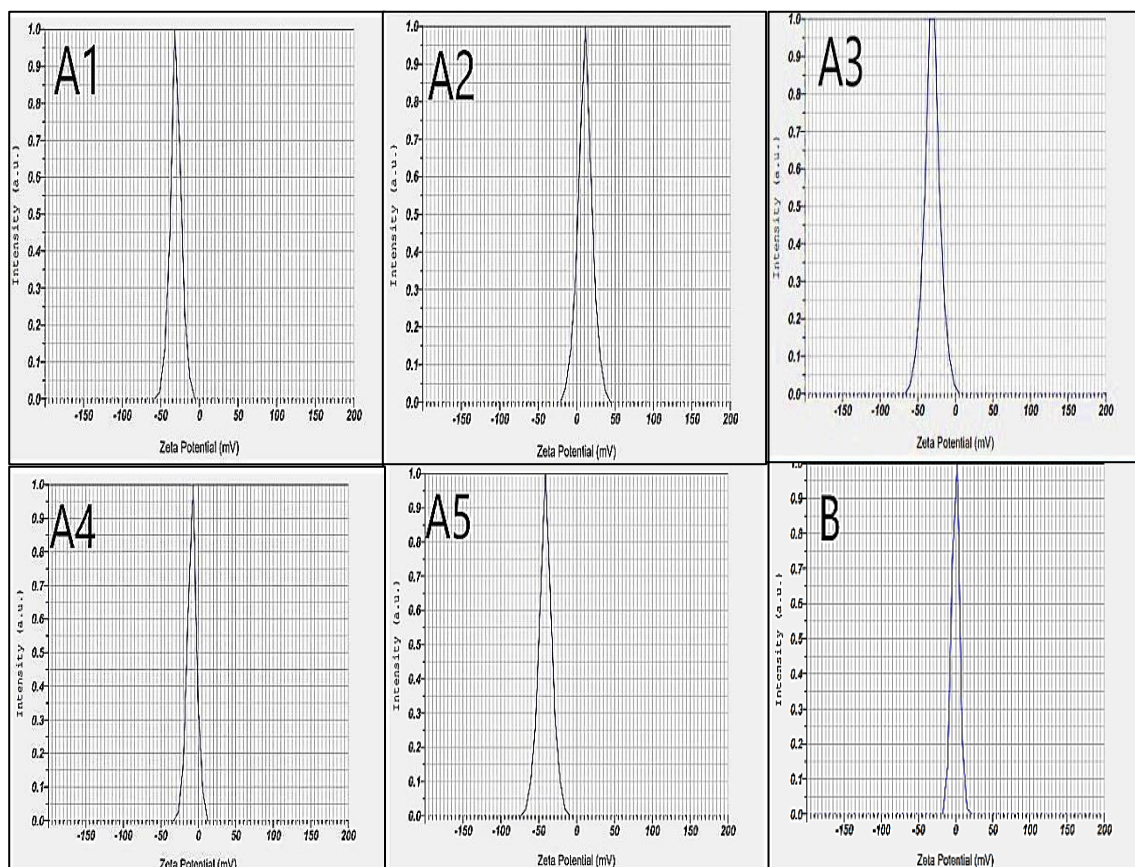
Zeta Potential measurement Results (Z-Potential)

الشكل (16-4) يوضح نتائج فحص جهد زيتا لجسيمات الذهب النقى و النحاس النقى ومتراكب الذهب - النحاس النانوية المحضرة بطريقه الاستصال بالليزر النبضي في الماء المقطر ويمكن من خلاله معرفة التجمعات والتكتلات التي تتوارد في المحاليل اذ تعد امكانات زيتا مؤشرا مهما على استقرار التشتت كما يشير حجم جهد زيتا الى درجة التنافر الكهروستاتيكية بين الجسيمات المجاورة المشحونة بنفس الشحنة، و نلاحظ من خلال الشكل (16-4) أن قيم جهد زيتا المحتملة تشير الى الشحنة السطحية للجسيمات النانوية والتي أظهرت شحنة سالبة والاقل من (-30) وهذا يعطينا فكرة عن استقراريه جسيمات متراكب الذهب و النحاس عند الطول الموجي (1064nm) بينما جسيمات النحاس غير مستقرة في الماء المقطر وحصلت تكتلات وتجمعات لمادة النحاس المحضرة بطريقه الاستصال بالليزر

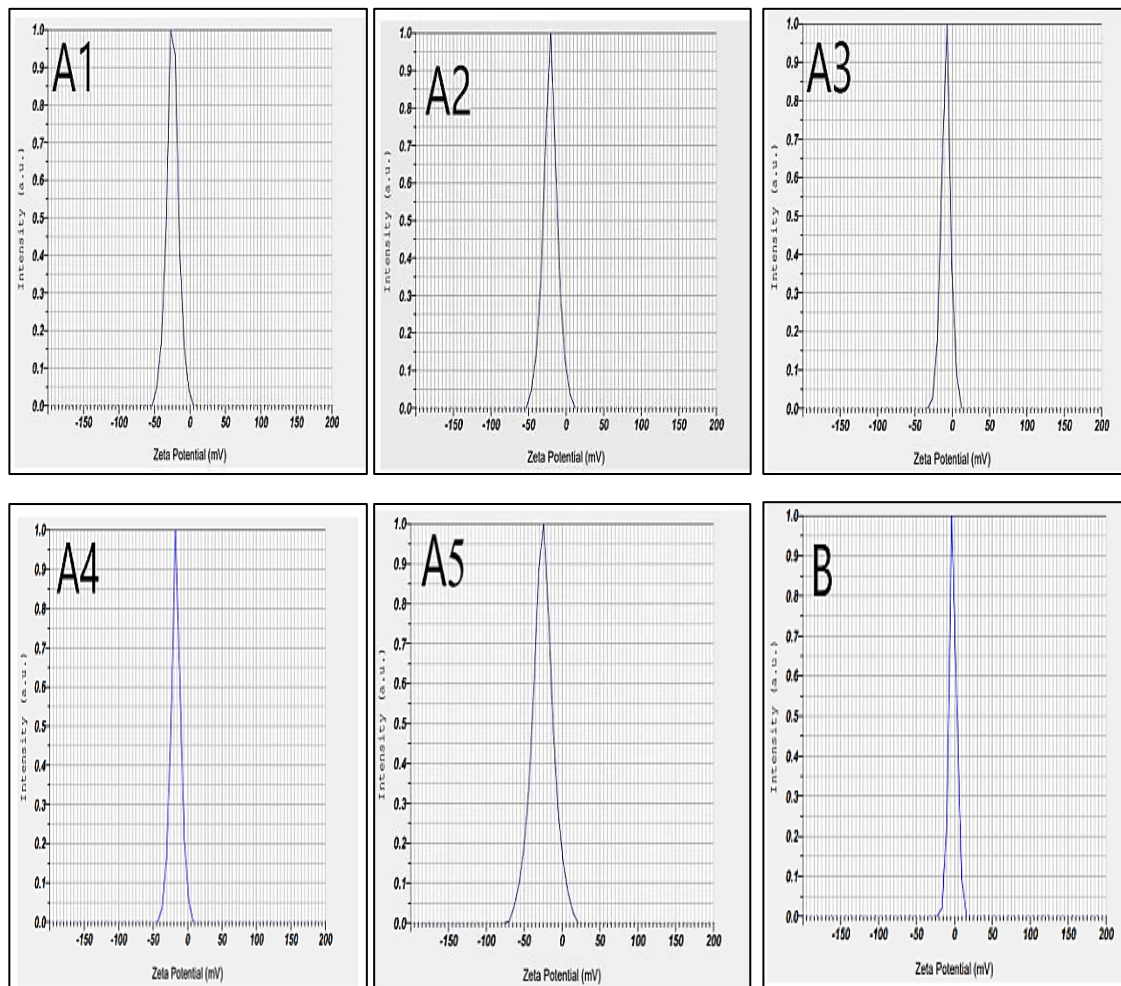
الفصل الرابع

النتائج والمناقشة

النبضي في الماء المقطر بينما عند الطول الموجي (532nm) تعتبر متراکبات مستقرة ولكن المتراكب (A3, A4) غير مستقرة السبب في ذلك انه عند زيادة عدد النبضات الى (1000 pulse) ادى الى حصول تكتلات بين الجسيمات وتجمعها والجدول (16-4) بين تأثير عدد نبضات الليزر على القيم التي حصلنا عليها لجهد زيتا حيث بزيادة عدد النبضات تقل استقراريه مادة متراكب الذهب والنحاس في الماء المقطر وتزيد من تكتلها ونتيجة عدم فحص العينات مباشرة لتأخر وصولها الى جامعة طهران .



الشكل (16-4): جهد زيتا لمحاليل الغروية لمتراكب (Au-Cu) والذهب النقي والنحاس عند الطول الموجي (1064nm) وبطاقة (660mJ) وعدد نبضات (1000pulse).



الشكل (17-4) جهد زيتا لمحاليل مترابك الذهب و النحاس المحضرة بطريقة الاستصال بالليزر النبضي في الماء المقطر عند الطول الموجي (532nm).

جدول (15-4): نتائج قيم زيتا لمحاليل الذهب و النحاس المحضرة في الماء المقطر عند الطول الموجي (1000 pulse) عند عدد نبضات (1064nm, 532nm)

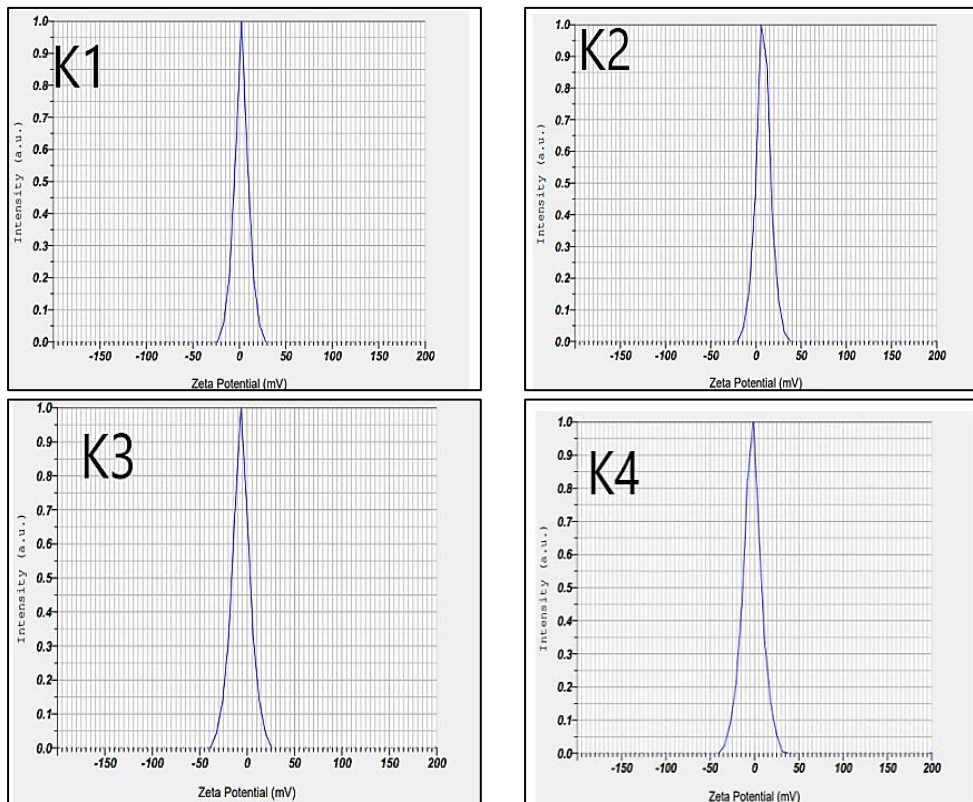
رمز العينة	جهد زيتا (mV) عند الطول الموجي 1064nm	جهد زيتا (mV) عند الطول الموجي 532nm
A1	--24.3mv	-25.8mv
A2	-18.6mv	-11.8mv
A3	-34mv	-10.2mv
A4	-21mv	-27.3mv
A5	-30.6mv	-25.5mv
B	-1.8mv	-33.4mv

الفصل الرابع

النتائج والمناقشة

الشكل (4-18) يوضح نتائج فحص جهد زيتا للمحلول الغروي لجسيمات مترافق الذهب

- النحاس المحضرة بطريقة الاستصال بالليزر النبضي في الماء المقطر من خلال النتائج التي حصلنا عليها تبين ان المحاليل الغروانية للمترافق المحضرة غير مستقرة كما في جدول (4-16)



الشكل (4-18): جهد زيتا لمحاليل المترافقات الذهب - النحاس المحضرة عند (3000pulse) عند الطول

الموجي (1064nm) وطاقة الليزر (660mJ).

الجدول (4-16): نتائج قيم جهد زيتا لمحاليل مترافق الذهب - النحاس النانوية عند الطول الموجي (1064nm)

وعدد نبضات 3000pulse

رمز العينة	Z-Potential(mV)
K1	-12mv
K2	-2.6mv
K3	-6.5mv
K4	8.1mv

(8-4) نتائج قياس تشتت الضوء الديناميكي للجسيمات النانوية طبقاً للحجم

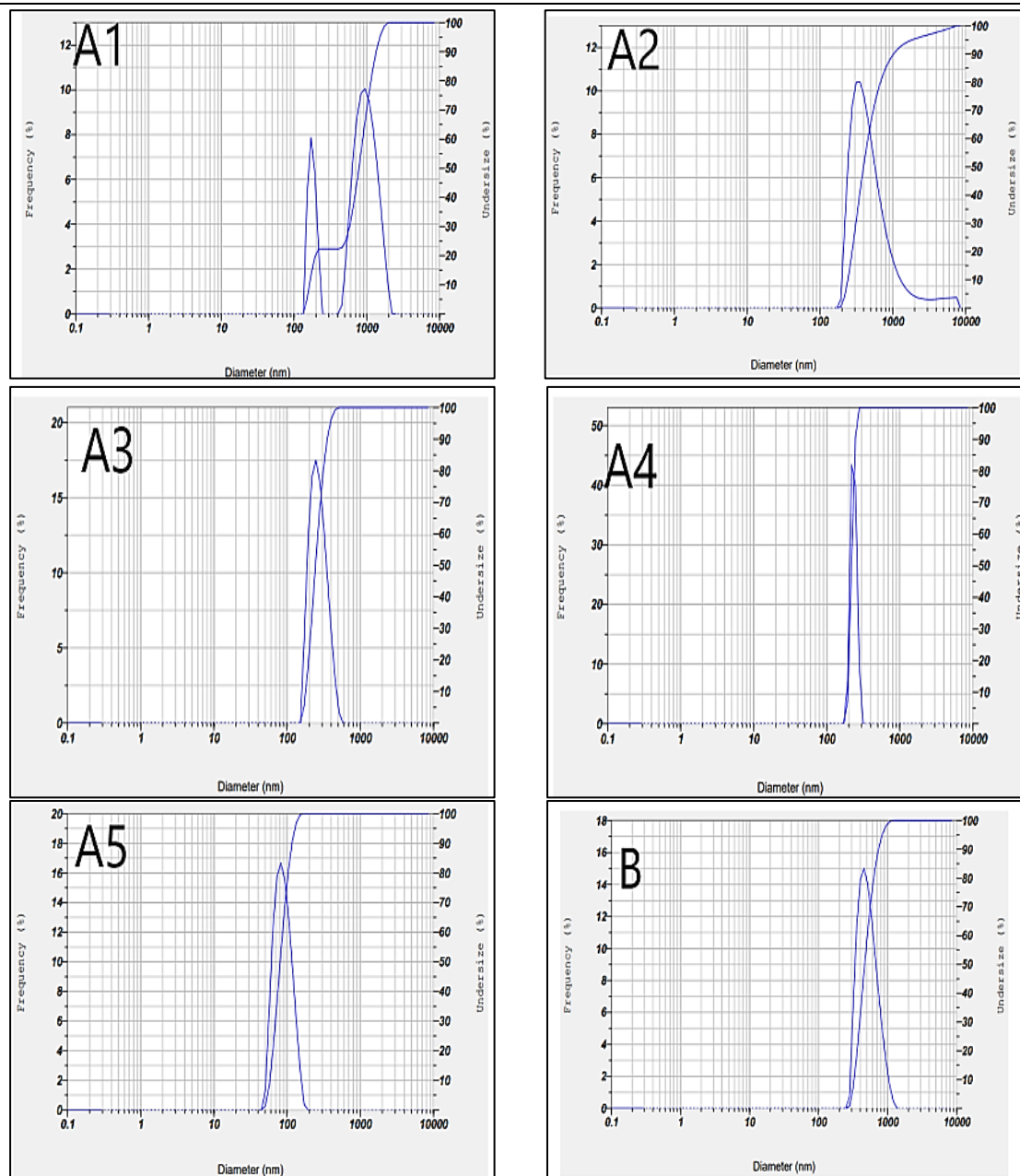
Dynamic Light scattering Measurement Results of Nanoparticles by Size

تشتت الضوء الديناميكي (DLS) هي تقنية قياس ثابتة ودقيقة لوصف أحجام الجسيمات في المعلقات والمستحلبات. يعتمد على الحركة العشوائية (الحركة البراونية) للجسيمات، وهذا ينص على أن الجسيمات الأصغر تتحرك بشكل أسرع، بينما تتحرك الجسيمات الأكبر بشكل أبطأ في السائل. يحتوي الضوء المنتشر بواسطة الجسيمات على معلومات حول سرعة الانتشار وبالتالي عن توزيع الحجم ، يتبع تشتت الضوء الديناميكي تحليل الجسيمات في نطاق حجم من (0.3nm إلى 10000 nm). بينما يصل انحراف الليزر غالباً إلى حدوده للجسيمات الأصغر من (100 nm) بسبب الإشارة الضعيفة والتباين الزاوي المنخفض في إشارة التشتت، فإن هذا هو المكان الذي تكمن فيه قوة تشتت الضوء الديناميكي. [117] إن تقنية مناسبة لتحليل ووصف الجسيمات النانوية. تشمل المزايا الأخرى قياسات كل من العينات شديدة التركيز والمخففة للغاية ، والقدرة على تحديد Zeta المحتملة والوزن الجزيئي والتركيز ، والتي تم تضمينها في العديد من أجهزة التحليل. لجسيمات على معلومات حول سرعة الانتشار وبالتالي عن توزيع الحجم وبعد اجراء فحوصات تشتت الضوء الديناميكي لجسيمات النحاس النقي والذهب النقي و مترابكات الذهب - أوكسيد النحاس للعينات (A1, A2, A3, A4, A5, and B) المحضرة عند الطاقة (660mJ) وبمعدل تكرار (1Hz) وعدد نبضات (1000 pulse) للطول الموجي (532nm, 1064nm) المغمورة بالماء المقطر تم قياس تشتت الضوء الديناميكي (DLS) القطر الهيدروديناميكي للجسيمات النانوية (Nps) باستخدام طريقة تحليل توزيع الارقام ثم قياس تشتت الضوء لتحديد قطر الجسيمات النانوية ان تقنية DLS واحدة من بين التقنيات الاكثر فائدة لتقدير حجم الجزء الجزيئي وتوزيع حجم أي مادة نانوية وأن هذه التقنية تستخدم لتقدير مدى سمية المادة بعد ملاحظة وجود أو عدم وجود تغيرات في التكتل [118] وكذلك حجم الجسيمات وتحديد الحركة البراونية للجسيمات المشتتة الكروية وربط ذلك بالطول الهيدروديناميكي للجسيمات داخل محلول المشتت من خلال الاختلافات الديناميكية لشدة الضوء المتناثرة لهذا الضوء المتأثر وتوزيع الحجم ومورفولوجيا الجسيمات وتكوينها وكيمياء السطح عادة ما يكون حجم الجسيمات التي يتم الحصول عليها باستخدام قياس (DLS) أكبر من تلك التي يتم الحصول عليها من (FE-SEM) لأن المجهر الإلكتروني الماسح يوفر تقديرات للجسيمات في الحالة الجافة (dry state) ان ظهور قمتين في (DLS) يدل على ان جسيمات الذهب و مترابك الذهب - نحاس وكذلك المترابكات المحضرة من الذهب والنحاس غير متجانسة في محلول مع حصول تكتل نتيجة لظروف التخزين وتأخر وصول

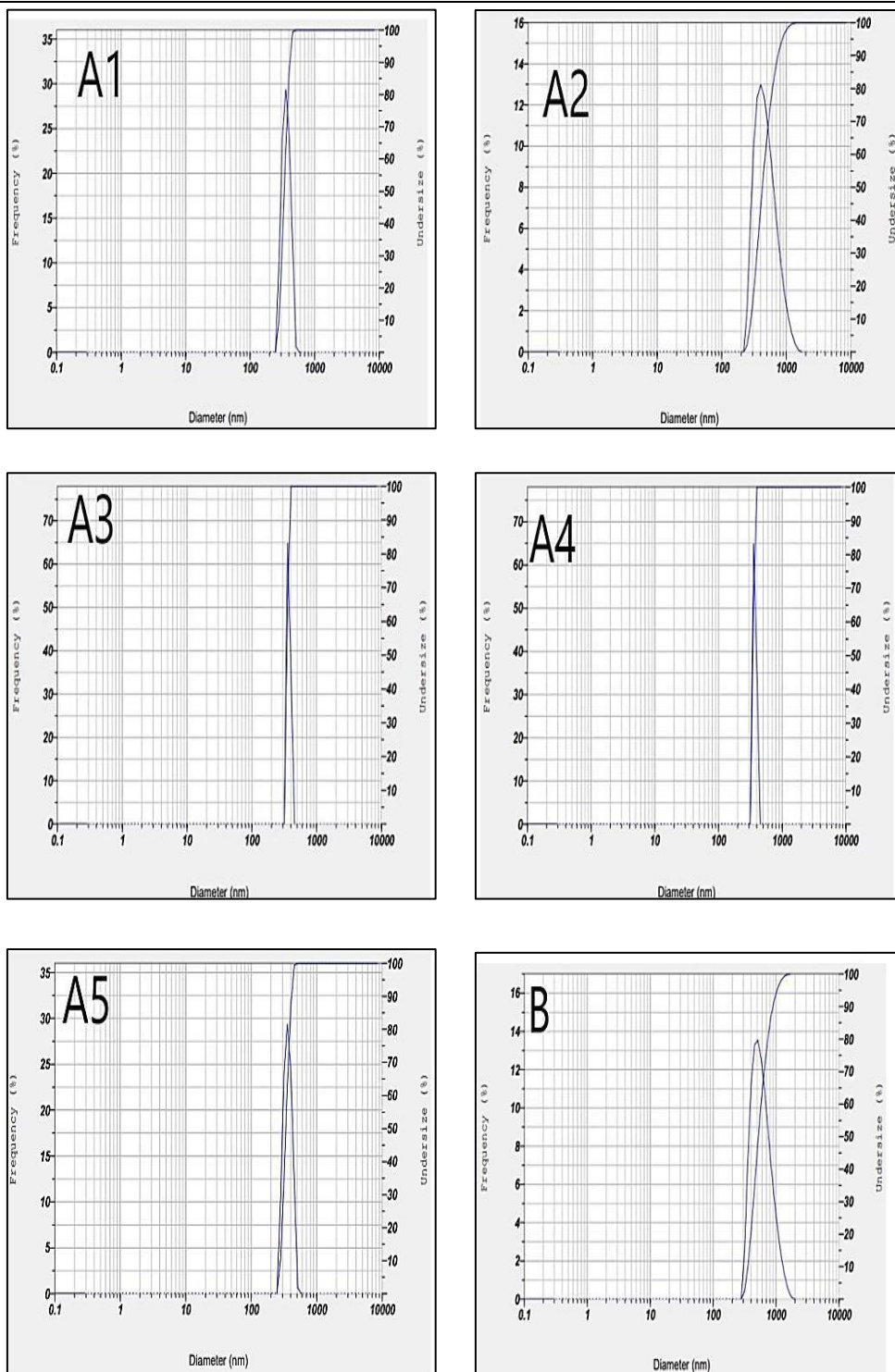
الفصل الرابع

النتائج والمناقشة

العينات الى مركز الفحص في جامعة طهران وبسبب الزوجة العالية في المحلول ادى الى تباطؤ في حركة الجسيمات وتكلتها.الشكل (19-4) يبين توزيع الحجم لجسيمات متراکب الذهب والنحاس النانوية (A1, A2, A3, A4, A5 and B) المحضرة عند الطاقة (660mJ) وبعد نبضات (1000pulse) للطول الموجي (1064nm,532nm) على التوالي وبتردد (1Hz) والجدول (17-4) و(18-4) يبيّن نتائج التوزيع الحجمي للجسيمات المحضرة والمقدمة ب(DLS) حيث كشف نمط (DLS) ان جسيمات الذهب غير متجانسة مع وجود تكتلات بنسب اكبر عند العينة (A5) حيث بلغ (497nm) بينما في النحاس تظهر قمة واحدة يدل على أن جسيمات النحاس أحادية التشتت في المحلول عند الطول الموجي (1064nm) وعند الطول الموجي (532nm) كشف نمط (DLS) ان جسيمات متراکب الذهب -نحاس في العينة (A5) أكثر تكتلاً وأكبر حجماً وجسيمات النحاس كانت أحادية التشتت وبمقدار (217nm) هذا يدل على أن تغيير الطول الموجي ليس له تأثير على التوزيع الحجمي للجسيمات النانوية للذهب والنحاس، عند درجة حرارة (25°C) وان مقدار الزوجة (0.892mpa.s) وقد بلغ مقدار Z-Average (80.3nm) للذهب للعينة (A1) ا ما جسيمات متراکب الذهب والنحاس للعينة (A2) عند درجة الحرارة (25°C) وبمقدار الزوجة (0.891mpa.s) فقد بلغ مقدار Z-Average (428nm) اظهرت جسيمات متراکب الذهب والنحاس للعينة (A3) عند درجة الحرارة نفسها وبمقدار لزوجة (0.892mpa.s) وان (274.9nm)Z-Average كما اظهرت جسيمات متراکب الذهب والنحاس للعينة (A4) ان جسيمات متراکب الذهب والنحاس للعينة (A5) كانت بمقدار لزوجة (0.893mpa.s) وان (497nm)وان جسيمات النحاس النانوي للعينة (B) عند درجة الحرارة (25°C) وبمقدار لزوجة (532nm) فكانت جسيمات الذهب (A1) عند درجة حرارة (25°C) وبمقدار عند الطول الموجي (1064nm) وان (591.6nm) Z-Average (0.892mpa.s) اما زوجة (0.893mpa.s) وان (50.7nm) Z-Average وجسيمات المتراکب (A2) عند درجة حرارة (25.2°C) وبمقدار لزوجة (0.893mpa.s) وان (178nm)Z-Average و جسيمات المتراکب (A3) عند نفس درجة الحرارة وبمقدار لزوجة بلغ (0.890mpa.s) وان Z-Average (107nm) وان جسيمات المتراکب (A4) بلغ مقدار الزوجة (0.893mpa.s) وكانت Z-Average (606.1nm) بلغ مقدار الزوجة (0.894mpa.s) وان Z-Average (973.7nm) كما بلغ مقدار لزوجة (0.890mpas) لمتراکب (A5) بلغت (217nm) ونفس مقدار الزوجة (0.890mpas).



الشكل (4-19): تحليل توزيع الحجم عن طريق تشتت الضوء الديناميكي (DLS) لجسيمات مترابكات الذهب والنحاس (A1, A2, A3, A4, A5, and B) عند الطول الموجي 1064nmn



الشكل (20-4): تحليل توزيع الحجم عن طريق تشتت الضوء الديناميكي (DLS) لجسيمات مترابقات الذهب والنحاس وأكسيد النحاس للعينات (A1, A2, A3, A4, A5, and B)

الفصل الرابع

النتائج والمناقشة

الجدول (17-4) : نتائج التوزيع الحجمي للجسيمات النانوية عند الطول الموجي 1064nm وعدد نبضات 1000 pulse

رمز العينة	متوسط الحجم (nm)	الانحراف المعياري (nm)
A1	80.3nm	27.8
A2	428.5nm	20.6
A3	274.9nm	17.7
A4	445.0nm	11.0
A5	497nm	10.3
B	591.6nm	16.49

الجدول (18-4) : نتائج التوزيع الحجمي للجسيمات متراكم الذهب والنحاس النانوية عند الطول الموجي 532nm وعدد نبضات 1000 pulse

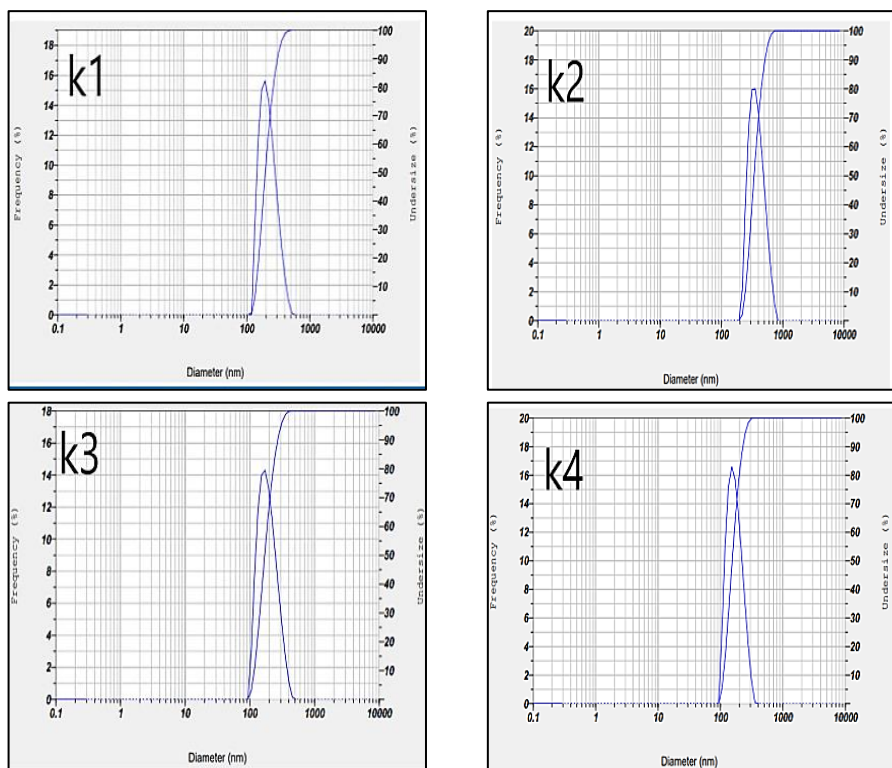
رمز العينة	متوسط الحجم (nm)	الانحراف المعياري (nm)
A1	50.7nm	49.7
A2	178nm	19.9
A3	107.2nm	20.8
A4	606.2nm	18.40
A5	973.7nm	12.5
B	217.5nm	11.33

و يبين الشكل (21-4) فحص (DLS) للمحلول الغروي لجسيمات المتراكم (Au-cu) للعينة (K4) عند درجة حرارة (25.1°C) وبمقدار لزوجة (0.892mpa.s) وأن Z-Average بلغ (172.5nm) وأظهرت جسيمات المتراكم (Au-Cu) للعينة (K3) عند نفس الدرجة بلغ (175.5nm) وبمقدار لزوجة (0.890mpa.s) وان Z-Average بلغ (175.5nm) اما متراكم الحرارية في العينة (K2) عند درجة الحرارة نفسها وبمقدار لزوجة (0.892mpa.s) وان Z-Average بلغ (429.8nm) و المتراكم (Au-Cu) في العينة (K1) عند درجة الحرارة (25°C) وبمقدار لزوجة (0.893mpa.s) وان Z-Average بلغ (260.8nm) حيث كشف نمط

الفصل الرابع

النتائج والمناقشة

(DLS) ان جسيمات المترابكات المكونة من الذهب – النحاس للعينة (K3) غير متجانسة في المحلول مع وجود تكتلات مما ادى الى كبر حجم الجسيمات النانوية بسبب ظروف التخزين .



الشكل (21-4): تحليل توزيع الحجم عن طريق شتت الضوء الديناميكي (DLS) لجسيمات مترابك الذهب- النحاس المحضرة عند الطول الموجي 1064nm

الجدول (19-4): نتائج التوزيع الحجمي لجسيمات مترابك (Au-Cu) النانوية المحضرة بطريقة الاستنصال بالليزر النبضي في الماء المقطر وبعد نبضات 3000pulse

رمز العينة	متوسط الحجم (nm)	الانحراف المعياري (nm)
K1	253.8nm	24.1
K2	429.8nm	39.2
K3	175.5nm	58.1
K4	172.5nm	69.7

Conclusions

(9-4) الاستنتاجات

أن الجسيمات النانوية المحضرة بطريقة الاستئصال بالليزر النبضي في الماء المقطر لها الكثير من المميزات التي تختلف بها عن الطرق الأخرى ويمكن ان نستنتج ما يلي

- ناجح طريقة الاستئصال بالليزر النبضي في الماء المقطر كوسط سائل للاستئصال اذ يعد تحول لون هذه المحاليل مؤشرا على تكوين محاليل غروية تحتوي على جسيمات نانوية لهذه المعادن
- يمكن التحكم في حجم الجسيمات وحجم توزيعها من خلال معلمات الليزر (عدد النبضات وطاقة الليزر والطول الموجي) ومن خلال الوسط السائل الذي يتم فيه الاستئصال
- يمكن تحديد كفاءة الاستئصال من خلال موقع وشدة رنين البلازمون السطحي فكلما زاد التركيز للمحلول الغرواني زادت شدة الامتصاصية وأن المحاليل الغروية المحضرة عند الطول الموجي 1064nm اكثراً كفاءة في الامتصاص من المحاليل الغروية المحضرة عند الطول الموجي 532nm
- تبين أن المحاليل الغروية لمعادن الذهب النقي والنحاس النقي ومتراكبات الذهب – النحاس من خلال فحص (DLS,Zeta potential) أنها مستقرة عند الطول الموجي 1064nm بينما هي غير مستقرة عند الطول الموجي 532 nm وبالنسبة للمحلول الغروي للنحاس يعد غير مستقر وكلا الطولين الموجيين وأن محاليل المتراكبات المحضرة غير مستقرة أيضاً بنسبة كبيرة

Recommendations

4-10) التوصيات

- ١- دراسة معلمات أخرى لليزر مثل الطول الموجي (355nm) والتتردد وارتفاع السائل فوق المادة الهدف .
- ٢- تحضير متراكبات نانوية لمعادن مختلفة ودراسة تأثير معلمات الليزر على المتراكبات الناتجة وثبتت أحدى النسب الحجمية كاختيار أنواع ذهب مختلفة وثبتت نسبة النحاس المضافة أو على عكس ذلك .
- ٣- دراسة الاستئصال باستخدام سوائل أخرى مثل الاسيتون والإيثانول.
- ٤- استخدام ليزر nanosecond بدلا عن pico second .
- ٥- استخدام مواد مثبتة لمنع تكثيل الجسيمات النانوية الناتجة في محلول
- ٦- تطبق هذه المواد كمستشعرات غازية
- ٧- تطبق هذه المواد في المجال الطبي
- ٨- يمكن تطبيقها ك photo detceter
- ٩- يمكن تطبيقها Solar Cell

-
- [1]. R. F.Mahfouz, C. Aires , S. A .B. Jacquier,. and J. C. Bertolini, "Synthesis and physico-chemical characteristics of nanosized particles produced by laser ablation of a nickel target in water". *Applied Surface Science*, vol 254, No.16 ,pp .5181-5190 (2008).
- [2]. M. M. S, Khorsheed and M A. Al-Fawzan., "Fostering university–industry collaboration in Saudi Arabia through technology innovation centers." *Innovation* ,vol.16 , N0.2,pp 224-237. (2014).
- [3]. C. A .Milea, and , C .A . Bogatu," The influence of parameters in silica sol-gel process." *Bulletin of the Transilvania University of Brasov. Engineering Sciences. Series I* vol 4, No.1 ,pp. 59. (2011) .
- [4]. A. M. Andre, and, M. Mennig,. "Sol-gel technologies for glass producers and users. Eds,*Springer Science and Business Media* (2013).
- [5]. T. Pradeep. *Nano:" The Essentials: Understanding Nanoscience and Nanotechnology.*"^{1st}, McGraw-Hill E (2007).
- [6]. P Charles, .Jr. .Poole, and, F .J .Owens, ,"*Introduction to nanotechnology* . (2003).
- [7]. M. J . Rosemary, and T. Pradeep,." Solvothermal synthesis of silver nanoparticles from thiolates." *Journal of colloid and interface science*,Vol.268 ,No.1, pp. 81-84. (2003).
- [8]. P. Y. Liu, R. Lim, S. She , P. L. Hung, C. F, and, H. C. Shih, "Synthesis of Ag nanospheres particles in ethylene glycol by electrochemical-assisted polyol process". *Chemical physics letters*,vol 420, No.4-6, pp. 304-308 ,(2006).
- [9]. E. A. Hammed, J. M. Mansoor, and A. A. Habeeb, "Preparation and study of the effect of the properties of silver nanoparticles" on MCF-7 cancer cells *Journal of Educational and Scientific Studies - Iraqi University Issue Sixteen – Vol 4, No.1,- Physics Sciences - July M.S.38-43-(2020)*

Refreances

-
- [10]. H. Jia , Zeng, J. Song, W. An, J. and B. Zhao, "Preparation of silver nanoparticles by photo-reduction for surface-enhanced Raman scattering.", *Thin Solid Films*, Vol. 496, pp.281-287 (2006).
 - [11]. K. Ibrahim, K .Saeed, and I. Khan,. "Nanoparticles: Properties, applications and toxicities." *Arabian journal of chemistry* ,vol.12, No.7,pp.908-931. (2019) .
 - [12]. J. Y. Son, and, M. N Kang, "Eicosane-Fe₃O₄@ SiO₂@ Cu microcapsule phase change material and its improved thermal conductivity and heat transfer performance". *Materials and Design*, ,vol.198, pp.109357. (2021) .
 - [13]. K. O. Siegel, J. Hnatowicz, , V .Švorčík, ."Noble metal nanostructures influence of structure and environment on their optical properties"., *Journal of Nanomaterials*, (2013) .
 - [14]. B .Al-Qaisi, A .Ahmed, "Treatment and Conservation of Antiquities: A Field Study," Baghdad: The General Organization for Antiquities and Heritage,AD, (1981).
 - [15]. C . Jones, M. Maoret.,F.G. Massa, and,S. Svejenova,. "Rebels with a cause: Formation, contestation, and expansion of the de novo category" modern architecture, 1870–1975. *Organization Science*, vol.23,No.7,pp.1523-1545, (2012).
 - [16]. R. L. Powell., and.A. A. Aboud,." Electrical Contact Resistance of Copper-Copper Junctions at Low Temperatures." *Review of Scientific Instruments*, vol .29,No3,pp.248-249 (1958).
 - [17]. A. Kuzma., J. Chovan, F. Uherek,. And, M. Weis,." Surface plasmon resonance of gold and silver nanoparticle monolayers: effect of coupling and surface oxides". In *Photonics North 2013* vol. 8915, pp. 493-498. *SPIE*. (2013).

Refreances

-
- [18]. V. Kattumuri,. "Gold nanoparticles for biomedical applications: Synthesis, characterization, in vitro and in vivo studies". Ph D University of Missounri- Columbia ,(2006).
 - [19]. A. Rahman, and ,J. Uddin, "Terahertz multispectral imaging for the analysis of gold nanoparticles' size and the number of unit cells in comparison with other techniques." *Int J Biosen Bioelectron*, vol.4, No.3, p.159-164 ,(2018).
 - [20]. L. H, Abdul , H . Al Amleh., and S. Fakhouri,." Cambridge IGCSE® Arabic as a First Language Coursebook", *Cambridge University Press* . (2017).
 - [21]. A. K. Khan, and ,R.M.Rashid, "Gold nanoparticles: synthesis and applications in drug delivery." *Tropical journal of pharmaceutical research*, vol.13,No.7,pp.1169-1177 (2014).
 - [22]. A. H. H. Minervino, F. A. M. L, Araújo,R. A. Barret,C. A. S. C,Sousa, and,E. L. Ortolani,." Dietary zinc supplementation to prevent chronic copper poisoning in sheep". *Animals*,vol 8 No.12 ,pp.227. (2018).
 - [23]. K .F. Miyajima, and,F. Mafuné,. "Breakdown of the Hume– Rothery Rules in Sub-Nanometer-Sized Ta-Containing Bimetallic Small Clusters".*The Journal of Physical Chemistry A*, vol.113, No.48,pp.13448-13450. (2009).
 - [24]. J .R. Heath, , "Nanoscale materials. Accounts of Chemical Research", vol.32, No.5,pp.388-388. (1999) .
 - [25]. J .Singh, G .Kaur ,M.Rawat.," Brief Review on , "Synthesis and characterization of copper oxide Nanoparticles and its Application " *Journal of Bioelectronics and Nanotechnology*, vol.1,No.9, pp.1-9.(2016) .
 - [26]. K. J. Klabunde., and .R. M. Richards, *Nanoscale materials in chemistry*. (Eds.). John Wiley and Sons (2009).

Refreances

- [27]. Y.A-R. Al-Jawish and A. Rahman. , "Gold and silver in the inscriptions and monuments of ancient Yemen.", *Journal of the General Union of Arab Archaeologists, vol.23,pp.83-124.*, (2022).
- [28]. G .Guisbiers, S.Mejia-Rosales, S.Khanal, F.Ruiz-Zepeda, R. L. Whetten, and. M. José-Yacaman,"Gold–copper nano-alloy,“tumbaga”, in the era of nano: phase diagram and segregation", *. Nano Letters, vol 14,No.11,pp. 6718-6726* (2014).
- [29]. K. Miyajima, H., Himeno, A. Yamada, H. Yamamoto., and F. Mafuné, , "Nanoalloy formation of Ta-containing trimetallic small clusters",. *The Journal of Physical Chemistry A,vol.115,No.9, pp.1516-1520.* (2011).
- [30]. D.E., Laughlin, and, T. B. Massalski,, , "Construction of equilibrium phase diagrams: Some errors to be avoided. Progress in Materials" *Science, vol,120, pp, 100715* (2021) .
- [31]. , A. K.halaf, and Ali, , "Preparation of Ag and Au Nanoparticles by Pulsed Laser Ablation in liquid.", *the School of Applied Sciences, University of Technology, Iraq, Baghdad.* (2010).
- [32]. H. A. Mohammed ,," Production of colloidalgoldnanoparticles using laser ablation",*MS. dissertation ,Engineering of Alnahrain University (2013) .*
- [33] A .H .Khalid, and R. M. S.AL-haddad," Structural and Optical Properties of Copper Nanoparticles Synthesized by Laser Ablation", *MS . dissertation, Sciences at the., University of Baghdad,(2014) .*
- [34] M. A. Al-Alousi , I. M. Ibrahim, and N.I.Fawz, "Effect of laser energy and pulses on size and concentration of gold nanoparticles in DDDW by LALP method," *Iraqi Journal of Physics Vol.14,No.30, PP.112-119,* (2016).

-
- [35] S. C. Thota, and, Z. J. Shutang;,". An unconventional mechanism of hollow nanorod formation: asymmetric Cu diffusion in Au–Cu alloy nanorods during galvanic replacement reaction". *Chemical Communications*, vol, 52.,No.32,pp, 5593-5596 .(2016) .
- [36] I. M. Ibrhim, , "Synthesis and Characteristics of Ag, Cu/Au Core/Shell Nanoparticles Produced by Pulse Laser Ablation.",*Iraqi Journal of Science*, pp,1651-1659,. (2017).
- [37]. S. W. Thota, and J.Zhao, "Colloidal Au–Cu alloy nanoparticles: synthesis, optical properties and applications",*Materials Chemistry Frontiers*,vol,2, No.6,pp,1074-1089 ,. (2018).
- [38]. H. Bakhtiar, W. Norsyuhada,, M. Shukri, S. Islam, and N. Bidin,, "Synthesis and characterization of gold-silver nanoparticles in deionized water by pulsed laser ablation (PLAL) technique at different laser parameter," *International Journal of Nanoscience*, Vol. 17,No.1, PP. 1850015, (2019).
- [39]. H .A. Qayyum, R. A. Rehman, A. H. Dogar, A. Shah, and A. Qayyum., "Synthesis of silver and gold nanoparticles by pulsed laser ablation for nanoparticle enhanced laser-induced breakdown spectroscopy", *Journal of Laser Applications* Vol. 31,No.2, PP., 022014,(2019).
- [40] .C. M. Satriyani, and, A. Khumaeni, , "Synthesis of colloidal copper nanoparticles using pulse laser ablation method",. In *Journal of Physics: Conference Series*,vol. 1217, No.1, pp. 01. IOP Publishing. . (2019).
- [41]. M. A. Abed, and F. A-H. Mutlak , " Synthesis and characterization of Ag|Au Core|shell Nanoparticles by Laser – Ablation and Seed –Growthfor Biomedical Application " *Bagdad univercty* (2020).

Refreances

-
- [42] M. Nasrollahzadeh, N. Shafiei, M. Eslamipanah, P. Fakhri, B.Jaleh, Y.Orooji, & R. S.Varma, " Preparation of Au nanoparticles by Q switched laser ablation and their application in 4-nitrophenol reduction" *Clean Technologies and Environmental Policy*, No.22 vol. 8, pp1715-1724(2022).
- [43]. T. M. Rashid, M. S. Jabir,"Synthesis of Au\Zno nanocomposite and Au:Zno core:shell via laser ablation for of photo-catalytic applications ",*Materials Technology*,2022,1-8.(2022).
- [44] E. Mzwd, N. M. Ahmed, N. Suradi, S. K. Alsaee, A. S. Altowyan, M. A. Almessiere, & A. F. Omar, " Green synthesis of gold nanoparticles in Gum Arabic using pulsed laser ablation for CT imaging. *Scientific reports*,No. 12 ,Vol 1, pp.1-11.(2022).
- [45] K. A. Elsayed, M. Alomari, Q. A. Drmosh, A. A. Manda, S. A. Haladu, I . O. Alade, " Anticancer activity of TiO2/Au nanocomposite prepared by laser ablation technique on breast and cervical cancers", *Optics & Laser Technology*,No. 149, pp 107828.(2022).
- [46] J. C. Miller, "Laser ablation principles and applications", Springer, Verlag, Berlin, (1994) .
- [47]. P. P. Patil, D. M. Phase, S. A. Kulkarni, S. V. Ghaisas, S. K. Kulkarni, S. M. Kanetkar, S. B. Ogale, and V. G. Bhide "Pulsedlaser- induced reactive quenching at a liquid-solid interface: aqueous oxidation of Iron", *Physical Review Letters*, Vol. 58, No.3,PP. 238–241. (1987) .
- [48]. J. Lam. , "Pulsed Laser Ablation in Liquid: towards the comprehension of the growth processes",*PhD ,Université Claude Bernard-Lyon I)*. (2015).

Refreances

-
- [49]. H. K. Makarov, V. I. Weiner, and G. Morell , "Fabrication of nanomaterials by pulsed laser synthesis," *Manufacturing nanostructures*, vol.10, pp. 263-292 (2014).
- [50]. C. Wu, X. Qiao, J. Chen, H. Wang, F. Tan, and S. Li , "A novel chemical route to prepare ZnO nanoparticles," *Materials Letters* vol.60, No.15, p.1828–1832.,(2006).
- [51]. T. D. Nguyen, Q. D. Nguyen, and T. T. Nguyen, "Preparation of platinum nanoparticles in liquids by laser ablation method," *Advances in Natural Sciences: Nano science and Nanotechnology*, Vol.5, No.3 ,035011, (2014).
- [52]. Li. Dongqing , "Encyclopedia of microfluidics and nanofluidics", Springer Science and Business Media, (ed.). (2008).
- [53]. H. A. Barcikowski, and B. N. Chichkov. "Influences on nanoparticle production during pulsed laser ablation.", *Pulse* vol.40. (2008) .
- [54]. J. Zhang, J, and C. Q. Lan," Nickel and cobalt nanoparticles produced by laser ablation of solids in organic solution",, *Materials Letters*, vol. 62, No.10-11, pp.1521-1524 (2008).
- [55]. S. Zeng, K. Yong, I. Roy, X. Q. Dinh, X. Yu, and f. Luan, "Areview on functionalized gold nanoparticles for biosensing applications", *Plasmonics*, Vol. 6, No 3 , pp. 491-506, (2011).
- [56] J. Chen, M. Badioli, P. Alonso-Gonzalez, S.Thongrattanasiri, F. Huth, J. Osmond, and A.Z.Elorza, "Optical Nano-imaging of gate-tunable graphene plasmons, " *Nature*, Vol. 487, pp. 77-8(2012).
- [57] J. J. Norman , and T. A. Desai, "Methods for fabrication of nanoscale topography for tissue engineering scaffolds," *Annals of biomedical engineering*, Vol.34, No 1 , pp.89-101,(2006) ,

Refreances

- [58] J. K. Edwards, B. Solsona , A. F. Carley, A. Herzing, M. Watanabe, and G. J. Hutchings, " Direct synthesis of hydrogen peroxide from H₂ and O₂ using Au–Pd/Fe₂O₃ catalysts.", *Journal of materials chemistry*, vol.15, No.43, pp.4595-4600 (2005).
- [59] M. B. Gawande, A. Goswami, F. X. Felpin, T. Asefa, X. Huang, and R. S. Varma, "Cu and Cu-based nanoparticles synthesis and applications in catalysis ", *Chemical reviews* vol.116, No.6, pp.3722-3811 (2016).
- [60] M. B. Gawande, A. A. T. Goswami, H. Guo, A.V.Biradar, D.L. Peng, and R.S. Varma, "Core–shell nanoparticles: synthesis and applications in catalysis and electrocatalysis.", *Chemical Society Reviews*, vol.44, No.21, pp.7540-7590(2015).
- [61]. Y. Du. Yan, J S. Gilroy, and .H. Zhang, ,"Intermetallic nanocrystals:Syntheses and catalytic applications", *Advanced Materials*, vol.29, No.14, pp.1605997.(2017) .
- [62]. Y. Xia, Gilroy, K. D. H. C. Peng, and . X . Xia, "Seed-Mediated Growth of Colloidal Metal Nanocrystals", *Angewandte Chemie International Edition*, vol.56, No.1, pp. 60-95. (2017).
- [63] N. E. Ewusi-Annan, and R. E. Schaak , "Au– Cu alloy nanoparticles with tunable compositions and plasmonic properties: experimental determination of composition and correlation with theory.", *The Journal of Physical Chemistry C*, vol.114, No.45, pp. 19263-19269 (2010) .
- [64] C. M. Cobley, and Y. Xia," Engineering the properties of metal nanostructures via galvanic replacement reactions.", *Materials*

Refreances

-
- Science and Engineering: R: Reports, vol. 70, No.3-6, pp. 44-62. (2010).*
- [65]. K. D. Gilroy, P. Farzinpour, A. Sundar, R. A. Hughes, and S. Neretina, "Sacrificial templates for galvanic replacement reactions: design criteria for the synthesis of pure Pt nanoshells with a smooth surface morphology.", *Chemistry of Materials, vol.26, No.10, pp.3340-3347(2014).*
- [66]. W. Chen, and Y. Li, "A seed-based diffusion route to monodisperse intermetallic CuAu nanocrystals.", *Angewandte Chemie International Edition, vol.49, No.16, pp.2917-2921. (2010) .*
- [67]. J. Fan, A , Shimojima, and .T. Okubo, "Microwave-induced synthesis of highly dispersed gold nanoparticles within the pore channels of mesoporous silica.", *Journal of Solid State Chemistry, vol.181, No.4, pp. 957-963(2008).*
- [68]. H. M. U. G. Bandara, , "The Synthesis, Characterizations and Application of One-Dimensional Nanostructured Fluorine Doped Tin Oxide Thin Films"*PhD Thesis, . (2017).*
- [69] K. L. Mc . Gilvray, M. R. Decan, D. Wang, and J. C. Scaiano, "Facile photochemical synthesis of unprotected aqueous gold nanoparticles.", *Journal of the American Chemical Society, vol.128, No 50 , pp.15980-15981 (2006).*
- [70].M. Duocastella, J. Fernández-Pradas, M. J. D omínguez, P. Serra, and J. L. Morenza, , "Printing biological solutions through laser-induced forward transfer.", *Applied Physics A, vol. 93, No.4, pp.941-945. (2008).*

Refreances

-
- [71].S. Y. Yang, and S. G. Kim, "Characterization of silver and silver/nickel composite particles prepared by spray pyrolysis.", *Powder Technology*, vol,146. No.3, pp,185-192. (2004).
- [72]. L. V. Zhigilei, Z. Lin and D. S. Ivanov , "Atomistic Modeling of Short Pulse Laser Ablation of Metals: Connections between Melting, Spallation, and Phase Explosion", *J.Phys. Chem. Vol. 113, No.27, pp.11892–11906.*(2009).
- [73] H. M. Abdul-Alameer, "Synthesized and characterization of CdTe nanostructure by laser ablation in liquids environment", *Master Thesis Al - Mustansiriyah University*, (2016).
- [74]. S. D. Blázquez , "The surface plasmon resonance of supported noble metal nanoparticles: characterization, laser tailoring, and SERS application",*(Ph D)*. (2007).
- [75].K. Zimmer,". Analytical solution of the laser-induced temperature distribution across internal material interfaces.",*International journal of heat and mass transfer*,vol.52,No 1-2, pp.497-503 (2009).
- [76] .C.A. Liu, , "study of particle generation during laser ablation with applications. ", *University of California, Berkeley*. (2005).
- [77]. V. P. Carey," Liquid –vapor phase- change phenomena : an introduction to thermophysics of vaporization and condensation processes in heat transfer equipment",. *CRC PRESS* . (2020).
- [78]. S. Barcikowski, and G. Compagnini, , "Advanced nanoparticle generation and excitation by lasers in liquids.", *Physical Chemistry Chemical physics*, vol.15, No.9, pp.3022-3026. (2013) .

-
- [79]. D. Bauerle, "Laser processing and chemistry", *Springer Science and Business Media*, (2013) .
- [80]. M. E. PovarnitsynItina, T. E. Itina, K. V. Khishchenko, and P.r Levashov, "Suppression of ablation in Femto second double-pulse experiments" ,*physical review letters*, (2009).
- [81]. B. J. Demaske, V. V. Zhakhovsky, N. A. Inogamov, and I. I. Oleynikl, "Ablation and spallation of gold films irradiatiated by ultra short laser pulses", *physical Review*, Vol. B82,No.6, PP. 064113-064118, (2010).
- [82]. G. Bajaj and R. K. Soni , "Effect of liquid medium on size and shape of nanoparticles prepared by pulsed laser ablation of tin", *Appl Phys Avol. 97*,No.2, pp.481–487.(2009).
- [83] J. Chen, X. Li , Yu. Gu, H. Wang, X. Song, H. Zeng," Probing Mesoscopic Process of Laser Ablation in Liquid by Integrated Method of Optical Beam Deflection and Time-Resolved Shadowgraphy ", *Journal of Colloid and Interface Science*,vol.489. pp 38–46. (.2017).
- [84] H. Zeng, W. Cai, Y. Li, J. Hu and P. Liu , "Composition/Structural Evolution and Optical Properties of ZnO/Zn Nanoparticles by Laser Ablation in Liquid Media", *J.Phys. Chem.vol. 109*,No.39 ,pp.18260-18266.(2005).
- [85]. M. Kim, S. Osone, T. Kim, H. Higashiand T. Seto, "Synthesis of Nano-particles bylaser ablation:A review", *KONA Powder andparticle Journal*,vol. 34, PP. 80-90, (2017) .
- [86].A. Axelevitch, B. Gorenstein, and G. Golan, , "Application of gold nano-particles for silicon solar cells efficiency increase.", *Applied surface science*,vol.315,pp. 523-526 (2014) .

Refreances

-
- [87] J. Fishburn, M. Withford, D. Coutts and J. Piper , "Study of the fluence dependent interplay between laser induced material removal mechanisms in metals: Vaporization, melt displacement and melt ejection", *Applied Surface Science* vol.252, No 14, pp. 5182–5188.(2006).
- [88] L. C. Courrol, F. R. Silva and L. Gomesc , "A simple method to synthesize silver nanoparticles byphoto-reduction Colloids and Surfaces ",*A: Physicochem. Eng. Aspects* vol. 305, No.1-3, pp. 54–57.(2007).
- [89]. A. V. Kabashin, and M. Meunier, , "Synthesis of colloidal nanoparticles during femtosecond laser ablation of gold in water.", *Journal of Applied Physics*, vol. 94, No12, pp.7941-7943(2003).
- [90]. X. Huang, and M. A. El-sayed, "Gold nanoparticles optical properties and implementations in cancer diagnosis and photo thermal therapy, "*Journal of advanced research*, vol 1, No1, pp. 13-28, (2010).
- [91]. C. L. Sajti, R. Sattari, B. N. Chichkov, and S. Barcikowski, "Gram scale synthesis of pure ceramic Nano-particles by laser ablation in liquid," *The Journal of Physical Chemistry*, Vol. 114, No. 6, PP. 2421-2427,(2010).
- [92]. I. Khan , K. Saeed , "Nanoparticles: Properties, applications and toxicities," *Arabian Journal of Chemistry*(2017) .
- [93] J. Chen, M. Badioli, p. Alonso-Gonzalez, S. Thongrattanasiri, F. Huth, J. Osmond, and A.Z. Elorza,"Optical Nano-imaging of gate-tunable graphene plasmons," *Nature*, vol.487, pp77-8 (2012).

Refreances

-
- [94] J.J.Norman, and T.A.Desai, "Methods for fabrication of nanoscale topography for tissue engineering scaffolds,"*Annals of biomedical engineering, vol.34, No 1, pp.89-101, (2006)*.
- [95]. A. J. Haes, "Localiaed surface plasmon resonance spectroscopy for fundamental studies of nano-particle optics and applications tobiosensors", *Ph. D. Dissertation. Northwestern uUniversity, Vol. 4, No.4, pp. 1029-1034, (2004)*.
- [96]. T. Tsuji, K. Iryo,Y. Nishimura, and M. Tsuji, "Preparation of metal colloids by a laser ablation technique in solution: influence of laser wavelength on the ablation efficiency (II)",*Journal of Photochemistry and Photobiology A: Chemistry, vol.145, No 3, pp. 201-207 (2001) .*
- [97]. D. B. Sanchez, "The surface plasmon resonance of supported noble metal nano- particles: characterization, laser tailoring, and SERS application," *ph. D. Dissertation, Madrid University, (2007)*.
- [98] L. C. Courrol, F. R. Silva and L. Gomesc , "A simple method to synthesize silver nanoparticles byphoto-reduction Colloids and Surfaces ",*A: Physicochem. Eng. Aspects vol. 305, No.1-3, pp. 54–57.(2007)*.
- [99] T. Nishi, A. Takeichi, H. Azuma, N. Suzuki, T. Hioki, and T. Motohiro," Fabrication of palladium nanoparticles by laser ablation in liquid", *Journal of Laser Micro/Nano-engineering, Vol. 5, No. 3, (2010)*.
- [100]. W. T. Nichols, T. Sasaki, and N. Koshizaki, "Laser ablation of a platinum target in water. II. Ablation rate and Nano-particle size distributions", *Journal of Applied Physics, Vol. 100, No. 1, pp. 114912-114918, (2006)*.

Refreances

-
- [101]. D. Faivre , and M. Bennet, "Materials science: Magnetic nanoparticles line up", *Nature*, Vol. 535, No. 7611 ,PP. 235-236 , (2016).
- [102]. T. Turkki , " Studies on preparation and properties of Nano phase metal oxides", Ph.D .dissertation Material vetenskap, 1999.
- [103]. K. K. Singh, " Field Emission Scanning Electron Microscopy (FESEM)", Inc , The Materials Characterization Lab, (2012).
- [104] R. Sandhu, N. Singh, J. Dhankhar, K. Gandhi, and. R. Sharma, "Dynamic light scattering (DLS) technique, principle, theoretical considerations and applications," *Cover Page Designed by*, PP. 135, (2019).
- [105]. R. García and A. P. Báez, "Atomic absorption spectrometry (AAS)," *Atomic absorption spectroscopy*, Vol. 1, No.1, PP. 1-13, (2012).
- [106]. A.V.Malm, and J. C. Carbett, ,". Improved dynamic light scattering using an adaptive and statistically driven time resolved treatment of correlation data", *Scientific reports*, vol.9, No.1, pp.1-11,(2019).
- [107] T. Ren, E. J. Roberge, J. R. Csoros, W. R. Seitz, E. R. M. Balog, and J. M. Halpern, "Application of voltage in dynamic light scattering particle size analysis", *JoVE Journal of Visualized Experiments*, Vol. 155, (2020).
- [108] J. Callister, D. William, and D. G. Rethwisch, "Callister's materials science and engineering,"^{4th} Eds, New York, *John Wiley & Sons*, (1997) .

Refreances

-
- [109]. A. S Dukhina, and R. Xub, "Zeta-potential measurements. characterization of nanoparticles: measurement processes for nanoparticles", V. 213, (2019).
- [110]. A. Li.,L. Hamad, and Z. Liu, , "Comparison of characteristics of selected metallic and metal oxide nanoparticles produced by picosecond laser ablation at 532 and 1064 nm wavelengths.", *Applied Physics A*, vol.122, No. 10, pp.1-15.(2016).
- [111]. R. R. Letfullin, C. Joenathan, T. F.George, and V. P. Zharov," Laser-induced explosion of gold nanoparticles: potential role for nanophotothermolysis of cancer", (2006).
- [112]. A. Nath, A Khare, *Journal of Applied Physics*, Vol.110, pp.043111-043111-6, (2011).
- [113]. R. M. Tilaki, A.I. Zad, and S. M. Mahdavi, , " Applied physics.", A, *Materials science and processing*, Vol. 88, , PP. 415-419, (2007).
- [114] Yen-Hsun, "Surface plasmon resonance of Au-Cu bimetallicnanoparticles predicted by a quasi-chemicalmodel" vol 408, (2013).
- [115] F. M. Aldosari, , "Characterization of Labeled Gold Nanoparticles for Surface-Enhanced Raman Scattering.",*Molecules*,vol.27, No.3,pp.892.(2022).
- [116] A. Schwamberger, De. Roo, B, Jacob, D, Dillemans, L. Bruegemann, L. J. W. , Seo, and J. P. Locquet,". Combining SAXS and DLS for simultaneous measurements and time-resolved monitoring of nanoparticle synthesis.",*Nuclear Instruments and Methods in Physics Research Section B: Beam Interactions with Materials and Atoms*,vol. 343, pp. 116-122. (2015).

Refreances

-
- [117] J. H. Phreys, B. Y.U niv, U. T. Prove, *USA,ICDD. Grant. In. Aid*, (1983) .
- [118] S. A. Mohammed, K.S. Khashan, M. S. Jabir, F. A. Abdulameer, G. M. Sulaiman, M. S. Al-Omar, &R. A. Khan,". Copper Oxide Nanoparticle-Decorated Carbon Nanoparticle Composite Colloidal Preparation through Laser Ablation for Antimicrobial and Antiproliferative Actions against Breast Cancer Cell Line, MCF-7". *BioMed Research International*, (2022.)
- [119] T.S.Natl, Stand ,Us.Cire 539, 1, 15, (1953).

Abstract

The study examined the effect of changing the laser parameters (wavelength and number of laser pulses) on the structural, morphological, and optical properties of copper and gold nanoparticles and gold-copper nanoparticles, which were prepared using the Nd-Yak pulsed laser method with a wavelength of (1064nm, 532nm) for targets. Of the noble elements (gold, pure impurity, and the gold-copper compound) immersed in distilled water, a number of constant (600 pulse) laser pulses and different excision energies (340, 420, 500, 580, and 660 mJ) were used to prepare the colloidal solutions of the gold-copper compound. And copper has a wavelength of (1064 nm), where it was found that the best energy is (660 mJ). Then the number of pulses was changed to (1000 pulses) and the energy (660 mJ) was used to prepare colloidal solutions of a compound of gold-copper and copper for both wavelengths.

X-ray diffraction assays of the prepared nanoparticles at an ablation energy of (660mJ) and a number of (1000 pulses) showed that the synthesized nanoparticles prepared by weight ratios with wavelengths of (532nm, 1064nm) for each (87%Au-13%Cu), (75%Au)-25% Cu), (65% Au-35% Cu), and (50% Au-50%Cu) contain a cubic crystal structure. As for the composite particles (Au-Cu) at energy (660mJ) and number of pulses (3000Pulse), and prepared by volumetric ratios (85%Au-15%Cu), (75%Au-25%Cu), (65%Au-35%Cu) , (50%Au-50%Cu), it contains a cubic crystal phase and the dominant orientation is (111)

. The (FE-SEM) assays for nanoparticles prepared at the wavelength (1064 nm, 532 nm) also showed that all the nanoparticles prepared by weight ratios and also prepared by volume ratios were of spherical or semi-spherical shapes, as it showed that the results of the wavelength (1064 nm) are the best.

It was also clear from the TEM images that the shapes of the nanoparticles of the samples prepared by weight ratio and prepared by volume ratio were spherical in shape or quasi-spherical as the TEM results showed that the particles had a crust/core.

Abstracte

The results of the EDS confirmed the samples prepared from the complex of gold and copper were prepared by weight ratios at the number of pulses. (1000 pulses) at the wavelength (1064nm–532nm) of the presence of gold and copper in the prepared compound. As well as the compound prepared by volumetric ratios.

The behavior of the UV-visible absorption spectra of gold-copper composite particles was studied at the wavelength (1064nm), the number of pulses (600 pulses) and at energies (660, 580, 500, 420, 340 mJ) that have their own surface plasmon resonance for pure gold at (519 nm and 523 nm) and for weight ratios (87%Au-13% Cu), (535 nm), (75%Au-25% Cu),(549 nm), (65 %Au-35% Cu), (588 nm), and(586 nm) (50% Au-50%Cu), while at (1000 pulse) and wavelength (532 nm), the highest peak of the plasmon resonance was at (518 nm), and this indicates the generation of gold nanoparticles at (564nm) (518 nm), (518 nm), (518 nm), (525, 555, 518, and 562, respectively, but at the wavelength (1064nm) nm), but at the wavelength (1064nm). The results of the optical absorption spectrum also showed a widening at the peak of the plasmon resonance of the prepared composites by volume ratios, and this indicates a change in the size of nanoparticles.

The results of the DLS showed that the particles of the gold-copper oxide complex prepared by weight ratios as well as prepared by volume ratios are not homogeneous due to the occurrence of some agglomerations in the colloidal solution due to storage and the delay in their arrival at the examination center.

The results of the zeta potential also showed that the colloidal solution of pure gold particles is stable, while the colloidal solution of the particles of the gold-copper complex prepared by weight and prepared by volumetric ratios is unstable.